

**NGU Rapport 94.076**  
**Smørepreparatanalyse**  
**av sedimentene i**  
**nordøstre del av**  
**Skagerrak.**

|   |                                   |                                |
|---|-----------------------------------|--------------------------------|
| Rapport nr. 94.076  | ISSN 0800-3416                    | Gradering: Åpen                |
| <b>Tittel:</b><br>Smørepreparatanalyse av sedimenter i nordøstre del av Skagerrak.  |                                   |                                |
| Forfatter:<br><b>Kari Grøsfjeld</b>   | Oppdragsgiver:<br><b>NGU</b>      |                                |
| Fylke:  | Kommune:                          |                                |
| Kartbladnavn (M=1:250.000)  | Kartbladnr. og -navn (M=1:50.000) |                                |
| Forekomstens navn og koordinater:   | Sidetall: 64<br><br>Kartbilag:    | Pris: 84                       |
| Feltarbeid utført:<br><br>1992, 1993  | Rapportdato:<br><br>1. des. 1994  | Prosjektnr.:<br><br>66.2301.22 |
| <b>Sammendrag:</b><br><br>Smørepreparat fra sedimentene i den nordøstre delen av Skagerrak er analysert. De innsamlede kjernene er opp til 70 cm lange, og det er laget preparater av både topsedimentet og sedimentet videre nedover i kjernen. Analysen viser at sedimentene generelt har et høyt innhold av finkornet materiale. Innholdet av sand i den uorganiske fraksjonen er vanligvis opp til 2%. Det finkornete materiale er rikt på innhold av coccolitter som antas å representere den viktigste karbonatkilden for sedimentene. Coccolittene er antagelig et erosjonsprodukt av den danske kritt-kalken. De identifiserte komponentene er plottet mot vanndyp. Høyt innhold av FeMn-oksyd og pellets er begrenset til områder med store vanndyp, mens de høyeste verdiene av kvarts og feltspat finnes innenfor relativt grunne havområder. Det er stort sett overflatesedimentene som er rike på pellets og FeMn-oksyd. Begge disse komponentene antas å være autigent dannet. Det høye innholdet antas hovedsakelig å være et resultat av den lave sedimentasjonsraten i avsetningsområdet. En høytliggende redoksgrense i sedimentene i avsetningsområdet er antagelig også ansvarlig for det høye innholdet av FeMn-oksyd. |                                   |                                |
| Emneord: Maringeologi   | Sedimentologi                     | Mineralogi                     |
| KjerneOverflatesediment   | Marin avleiring                   | Prøvetaking                    |
| Fagrappport   |                                   |                                |

## INNHOLD

|       |   |    |
|-------|---|----|
| 1     | INNLEDNING .....                            | 5  |
| 2     | SMØREPARETANALYSE SOM METODE                |    |
| 2.1   | Formålet med metoden .....                  | 5  |
| 2.2   | Aspekter ved metoden.....                   | 7  |
| 2.3   | Komponenter i smørepreat fra Skagerrak..... | 8  |
| 2.3.1 | Minerogen fraksjon.....                     | 9  |
| 2.3.2 | Organisk fraksjon.....                      | 10 |
| 2.4   | Kornstørrelsesfordeling i smørepreat.....   | 11 |
| 3     | RESULTATER.....                             | 11 |
| 3.1   | Minerogen fraksjon.....                     | 41 |
| 3.1.1 | Kvarts og feltspat.....                     | 41 |
| 3.1.2 | Glimmer .....                               | 41 |
| 3.1.3 | Kalsitt.....                                | 41 |
| 3.1.4 | Dolomitt.....                               | 44 |
| 3.1.5 | Pyritt .....                                | 44 |
| 3.1.6 | FeMn-oksyd .....                            | 44 |
| 3.1.7 | Andre .....                                 | 44 |
| 3.2   | Uidentifisert leir og silt .....            | 45 |
| 3.3   | Pellets.....                                | 45 |
| 3.4   | Biogen fraksjon .....                       | 46 |
| 3.4.1 | Foraminiferer .....                         | 46 |
| 3.4.2 | Nannofossiler .....                         | 46 |
| 3.4.3 | Diatoméer .....                             | 46 |
| 3.4.4 | Radiolarier .....                           | 47 |
| 3.4.5 | Svampspikler .....                          | 47 |
| 3.4.6 | Silicoflagellater .....                     | 47 |
| 3.4.7 | Bioklaster .....                            | 47 |
| 3.4.8 | Fiskerester .....                           | 47 |
| 3.5   | Organisk "debris" .....                     | 47 |
| 3.6   | Innhold av sand .....                       | 48 |
| 3.7   | Innhold av silt.....                        | 48 |
| 3.8   | Innhold av leir .....                       | 48 |
| 4     | KONKLUSJON .....                            | 49 |
|       | REFERANSER .....                            | 50 |

## **FIGURER OG TABELLER**

- Figur 1. Lettseismiske data samlet inn av SKNS og NGU i perioden 1991 til 1994.
- Figur 2. Kjerner samlet inn av Universitetet i Bergen og NGU i 1992 og 1993.
- Figur 3. Eksempel på beregning av prosentandeler av komponenter(Appendix 3).
- Figur 4. Relative mengder av ulike komponenter plottet mot vanndyp.
- Figur 5. Overflateprøvetraséer.
- Figur 6. Fordeling av komponenter langs traséer og nedover i sedimentet.
- Figur 7. Vanndypskart basert på vanndyp for prøvepunktene.
- Figur 8A. Geografisk fordeling av kvarts og feltspat.
- Figur 8B. Geografisk fordeling av FeMnO.
- Figur 8C. Geografisk fordeling av pellets.
- Appendix 1. Liste over stasjoner, koordinater og kjerne-numre.
- Appendix 2. Fremstilling av smørepreparat.
- Appendix 3. Tabell over prosentandeler av komponenter.

## 1 INNLEDNING

Norges Geologiske Undersøkelse har fra 1991-1994, i samarbeid med Universitetet i Bergen og Statens Kartverk, Divisjon Norges Sjøkartverk (SKNS), samlet inn grunnseismiske data (Figur 1) og kjerneprøver i den norske delen av Skagerrak (Bøe et al. 1991, Paetzel 1992, Thorsnes et al. 1992, Thorsnes et al. 1993 og Ottesen et al. 1994). Arbeidet inngår i «Plan for: Marinegeologisk kartlegging av norske havbunnsområder (MGK)» som ledes av en styringsgruppe bestående av Havforskningsinstituttet (HI), Oljedirektoratet (OD), Norges Geologiske Undersøkelse (NGU), Norges Sjøkartverk (SKNS), Norsk Polarinstittut (NPI) og Statens Forurensingstilsyn (SFT). Innenfor dette området er det også samlet inn kjerneprøver til sedimentologiske, geotekniske og miljøgeologiske studier. Denne rapporten presenterer resultatene fra analyser av smøreparat fra sedimenter i nordøstlige deler av Skagerrak (Figur 2). Området dekker den norske delen av Skagerrak ut mot midtlinja og strekker seg fra munningen av Oslofjorden til Lillesand. Innenfor dette området ble det kjørt refleksjonsseismikk under tokt 9101 i 1991 (Bøe et al. 1991, Olsen 1992) og tokt 9204 i 1992 (Thorsnes et al. 1992). De seismiske profilene danner et rutenett. Det ble tatt kjerner med Niemistöprøvetaker i krysspunktene hvor linjeavstanden er 10 km. Kjernene ble samlet inn under tokt 9205 i 1992 (Paetzel 1992), og tokt 9307 i 1993 (Bøe 1993, 1994). Fra disse kjernene er det laget smøreparat, både av sedimentene i toppen og av kjernemateriale i ulike stratigrafiske nivå videre nedover. En listing over stasjonsnummer og kjernenummer med tilhørende koordinater er vist i Appendix 1. En grov estimering av mengdeforholdet mellom de ulike komponentene i sedimentet er utført. Både den geografiske og stratigrafiske fordelingen av komponentene i smøreparatene er undersøkt.

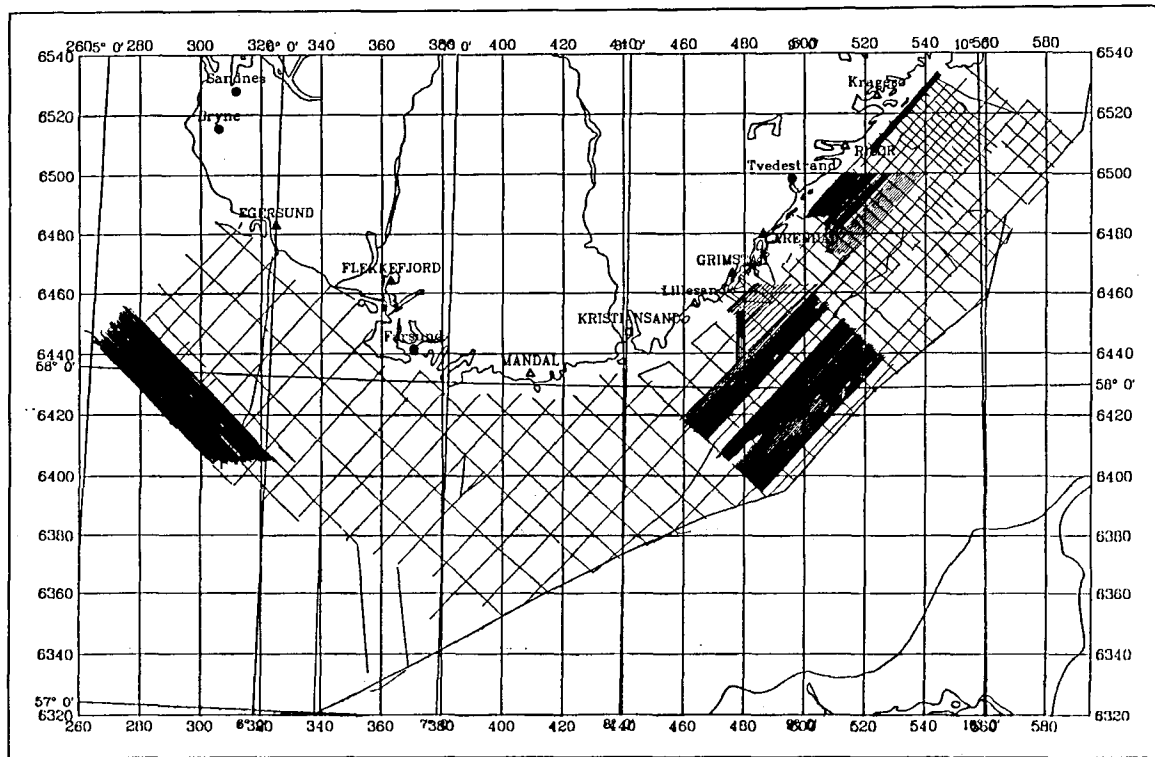
Figur 1, 7 og 8A-8C er laget av Terje Thorsnes.

## 2 SMØREPARATANALYSE SOM METODE

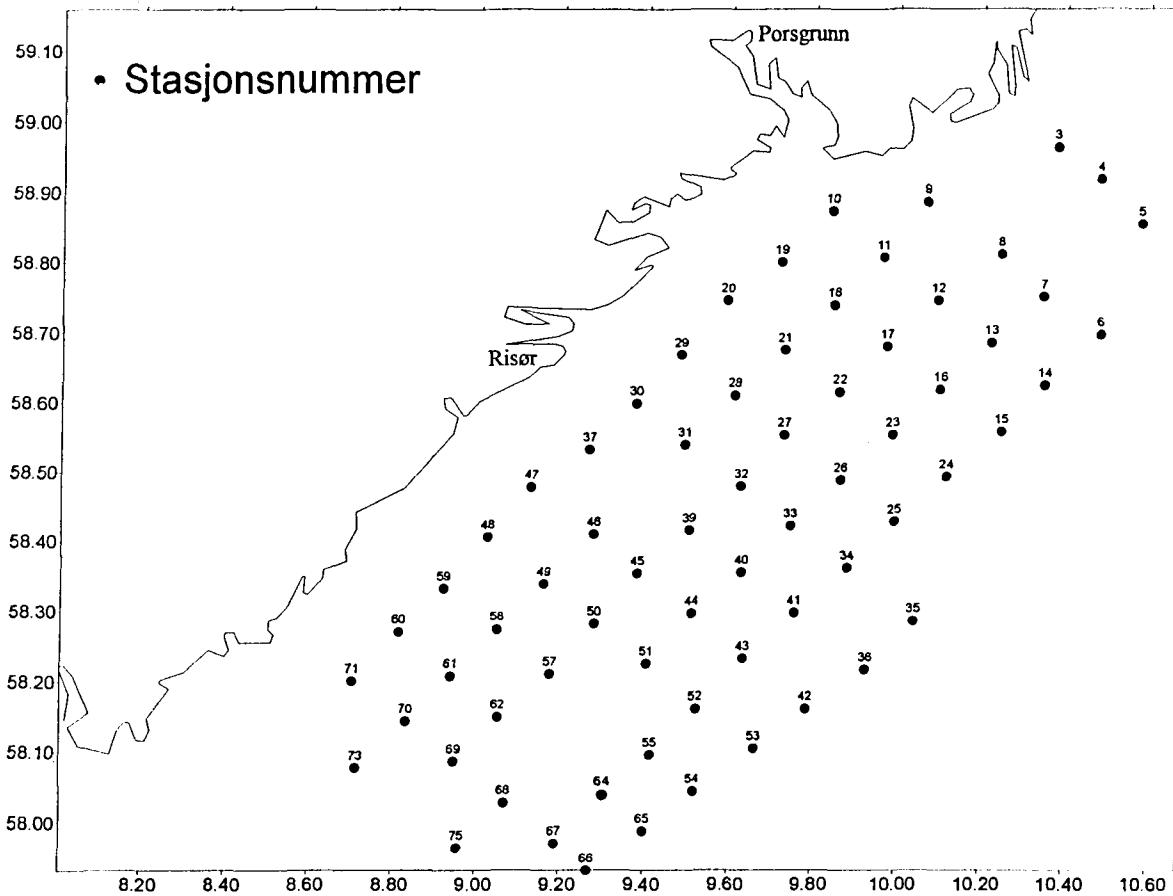
### 2.1 Formålet med metoden

Formålet med metoden er å:

- \* Beskrive sedimentene ved å identifisere og kvantifisere de ulike komponentene i smøreparatene.



Figur 1. Lettseismiske data samlet inn av SKNS og NGU i perioden 1991 til 1994.



Figur 2. Kjerner samlet inn av Universitetet i Bergen og NGU i 1992 og 1993.

- \* Kartlegge geografiske og stratigrafiske endringer i sedimentene.
- \* Finne ut om egenskaper ved sedimentene er bundet til bestemte parametre, slik som geografisk beliggenhet, vanndyp og sedimentoverleiring.

## 2.2 Aspekter ved metoden

Smøreparater blir laget ved at en representativ del av sedimentet blir smurt utover et objektglass, og støpt inn i et medium med en kjent brytningsindeks, som ligger nær den for kvarts. En detaljert beskrivelse av hvordan smøreparat lages finnes i Appendix 1.

Smøreparat ("smear slide") kan lages av den fineste fraksjonen opp til fin sand størrelse. Dersom det ønskes å lage preparater av grovere korn, må preparatene legges opp på en litt annen måte ("grain mounts"). Smøreparat blir laget rutinemessig på ODP (Ocean Drilling Program) sine tokter. Det blir da laget preparater av sedimenter fra kjerner som spenner over lange tidsrom, hvor det inntreffer markerte endringer i avsetningsmiljøet. Smøreparat vil ved slike forhold være godt egnet til å karakterisere den sedimentologiske utviklingen.

Smøreparat har også blitt laget rutinemessig av IKU Petroleumsforskning A/S, hvor hensikten har vært å identifisere stratigrafiske nivå som egner seg til utplukking av underprøver. Kjernene fra Skagerrak er korte ( $<0.7$  m) og spenner over relativt korte tidsrom på noen få hundre år, uten markerte stratigrafiske endringer i det sedimentologiske avsetningsmiljøet.

Det finnes flere "fallgruber" når det gjelder å utføre analysen. Materialet på preparatet må være jevnt fordelt over objektglasset, slik at det kan beregnes et representativt gjennomsnitt. For å få sammenlignbare resultater bør samme person utføre analysen, og det må være innarbeidet gode rutiner for å kunne angi relative mengder av komponenter.

Kornstørrelsesanalysen som gjøres på smøreparat kan ikke sammenlignes med vanlig kornfordelingsanalyse (våtsikting og analyse på sedigraf). Ved visuell bedømmelse av smøreparat blir det beregnet et areal. Det blir ikke tatt hensyn til hverken volum eller spesifikk vekt. Kornfordelingsanalyse utført ved sikting kan best sammenlignes med "den totale fraksjonen" i smøreparat, som inkluderer både det organiske og det minerogene materialet. Årsaker til at analysene blir forskjellige kan være at store partikler som pellets og organiske aggregater, vil løse seg opp ved våtsikting og registreres som leir, slik at andelen leir blir større enn i smøreparatet. I enkelte tilfeller kan det også forekomme at materiale som blir tatt ut til smøreparat ikke er helt representativt for det sedimentet det er tatt ut fra, på grunn av at eventuelle grove korn ikke er tatt med.

Analysemetoden gir store datamengder som krever grafisk fremstilling for at en skal kunne se sammenhenger. Relative verdier av komponenter er derfor vist i form av histogrammer, plott og kart. Dersom det ønskes å få mer ut av analysedataene, må verdier og parametre behandles statistisk.

## 2.3 Komponenter i smøreprepreat fra Skagerrak

Appendix 3 inneholder prosentandeler av komponenter i de analyserte preparatene. Et eksempel er vist i Figur 3. Komponentene er listet under. Ved identifisering av komponentene i smøreprepreatene er Rothwell (1989) brukt som veileder. For identifisering av tungmineraler er Mange & Maurer (1989) svært nyttig.

| Kjernenummer               | P9205164 |      |     | P9205168 |      |     | P9205173      | P9205177 | P9205182 | P9205187 | P9205193 | P9205197 | P9205201 | P9205206 |
|----------------------------|----------|------|-----|----------|------|-----|---------------|----------|----------|----------|----------|----------|----------|----------|
| Kjernedyp (cm)             | 1        | 25.5 | 48  | 1        | 18.5 | 1   | 0.5           | 1        | 0.5      | 0.5      | 0.5      | 0.5      | 0.5      | 1        |
| Vandyp (m)                 | 492      |      |     | 465      |      | 296 | 418           | 536      | 647      | 173      | 463      | 565      | 662      |          |
| MINEROGEN FRAKSJON         | %        | %    | %   | %        | %    | %   | ØDELAGT PREP. | %        | %        | %        | %        | %        | %        | %        |
| Kvarts & feltspat          | 10       | 5    | 5   | 5        | 6    | 20  |               | 10       | 5        | 3        | 12       | 4        | 3        |          |
| Glimmer                    | X        | X    | 0.5 | X        | X    | X   |               | X        | -        | -        | X        | X        | -        |          |
| Kalsitt                    | 3        | 1    | 2   | 1        | 4    | 4   |               | 1        | 0.5      | 1        | 0.5      | X        | X        |          |
| Dolomit                    | -        | -    | X   | X        | X    | 1   |               | -        | -        | X        | X        | -        | X        |          |
| Pyritt                     | X        | 3    | 3   | 1        | 1    | -   |               | X        | -        | -        | -        | -        | -        |          |
| FeMn-oksyd                 | -        | 1    | 1   | -        | 1    | -   |               | 1        | 20       | 20       | -        | 20       | 20       |          |
| Andre                      | 2        | 1    | 1   | 1        | 2    | 2   |               | 2        | 1        | 1        | 2        | 1        | 1        |          |
| Uidentifisert leir og silt | 52.5     | 75   | 74  | 58       | 70   | 46  |               | 30       | 46       | 49       | 31       | 59       | 57       |          |
| SUM                        | 67.5     | 85   | 86  | 66       | 83   | 73  |               | 44       | 27.5     | 74       | 45.5     | 84       | 81       |          |
| ORGANISK FRAKSJON          | %        | %    | %   | %        | %    | %   | %             | %        | %        | %        | %        | %        | %        | %        |
| Foraminiferer              | X        | X    | X   | X        | X    | X   |               | 0.5      | X        | X        | 0.5      | X        | X        |          |
| Nanofossiler               | 7        | 7    | 7   | 7        | 10   | 5   |               | 2        | 2        | 3        | 3        | 3        | 3        |          |
| Diatomeer                  | X        | 4    | 2   | 1        | 2    | X   |               | 0.5      | X        | 1        | 2        | 1        | X        |          |
| Radiolarier                | -        | -    | -   | -        | -    | -   |               | -        | -        | X        | -        | -        | -        |          |
| Svambspikler               | 0.5      | 1    | 1   | 1        | 1    | 1   |               | 1        | X        | X        | 1        | 1        | 1        |          |
| Silicoflagellater          | X        | X    | X   | X        | -    | -   |               | -        | -        | -        | -        | -        | -        |          |
| Organisk "debris"          | 5        | X    | X   | X        | X    | 15  |               | 11       | 5        | 7        | 6        | 7        | 8        |          |
| Pellets                    | 20       | 2    | 2   | 25       | 2    | 2   |               | 40       | 20       | 15       | 40       | 3        | 7        |          |
| Bioklaster                 | X        | 1    | 2   | X        | 2    | 4   |               | 1        | 0.5      | X        | 2        | 1        | X        |          |
| Fiskerester                | -        | -    | -   | X        | -    | -   |               | -        | -        | X        | -        | -        | X        |          |
| SUM                        | 32.5     | 15   | 14  | 34       | 17   | 27  |               | 56       | 27.5     | 26       | 54.5     | 16       | 19       | -        |
| TOTAL FRAKSJON             | %        | %    | %   | %        | %    | %   | %             | %        | %        | %        | %        | %        | %        | %        |
| Sand                       | 20       | 5    | 4   | 27       | 2    | 5   |               | 45       | 22       | 16       | 41       | 5        | 11       |          |
| Silt                       | 25       | 20   | 19  | 18       | 25   | 55  |               | 7        | 35       | 33       | 27       | 32       | 35       |          |
| Leir (< 4 my)              | 55       | 75   | 75  | 55       | 73   | 40  |               | 48       | 43       | 51       | 32       | 63       | 54       |          |
| SUM                        | 100      | 100  | 100 | 100      | 100  | 100 |               | 100      | 100      | 100      | 100      | 100      | 100      |          |
| MINEROGEN FRAKSJON         | %        | %    | %   | %        | %    | %   | %             | %        | %        | %        | %        | %        | %        | %        |
| Sand                       | -        | -    | -   | 1        | -    | 1   |               | -        | -        | 1        | 1        | -        | 1        |          |
| Silt                       | 17       | 15   | 14  | 10       | 15   | 19  |               | 20       | 30       | 24       | 19       | 35       | 30       |          |
| Leir (< 4 my)              | 83       | 85   | 86  | 89       | 85   | 80  |               | 80       | 70       | 75       | 80       | 65       | 69       |          |
| SUM                        | 100      | 100  | 100 | 100      | 100  | 100 |               | 100      | 100      | 100      | 100      | 100      | 100      |          |

Figur 3. Eksempel på beregning av prosentandeler av komponenter (Appendix 3).

### **2.3.1 Minerogen fraksjon**

Kvarts og feltspat grupperes sammen på grunn av at de svært ofte er vanskelige å skjelne. I tillegg blir mengdeforholdet mellom disse komponentene undersøkt av Aivo Lepland (Universitetet i Göteborg).

Glimmer utgjør flak med diameter på størrelse med grov silt og sand. Mindre glimmerkorn inngår i gruppen uidentifisert silt og leir.

Kalsitt Uorganisk kalsitt er et erosjonsprodukt fra bergarter, i motsetning til kalsitt dannet av karbonatutskillende organismer.

Dolomitt Romber av uorganisk dolomitt forekommer ofte i aksessoriske mengder.

Pyritt forekommer i alle morfologiske former fra velutviklet, euhedral krystallform, til irregulære masser av pyritt. Den vanligste formen i de undersøkte sedimentene er framboidal pyritt, det vil si sfæriske korn som er sammensatt av bitte små pyrittkrystaller. Disse finnes ofte som innfyllinger i skall hos mikrofossiler. Pyritt kan også fylle hulrom hos mikrofossiler og forekommer da som fossile avtrykk.

FeMn-oksyd FeMn-oksyd opptrer som små, runde, brune korn på størrelse med fin silt. Det er ikke undersøkt om kornene er aggregater av FeMn-oksyd, eller om FeMn-oksyd ligger som en hinne rundt mineralkorn.

Aksessoriske mineraler («Andre») er mineraler som forekommer i små mengder (<1%). Eksempler her er amfibol, pyrokseen, epidot, zoisitt, zirkon, glaukonitt, turmalin og rutil. Aivo Lepland (Universitetet i Göteborg) undersøker innholdet av tungmineraler i sedimentene i nordre del av Skagerrak. Tungmineraler er derfor ikke viet særlig oppmerksomhet her.

Uidentifisert silt og leir Korn på denne størrelsen som enten ikke lar seg identifisere, eller som det ikke er funnet hensiktsmessig å spesifisere. Gruppen skal teoretisk inneholde kun uorganisk materiale, men det kan være problematisk å skjelne mellom uorganisk og organisk materiale i den finkornete fraksjonen.

### **2.3.2 Organisk fraksjon**

**Foraminiferer.** Hele individer av foraminiferer hører til her. Foraminiferer er encellede, mikroskopiske, bunnlevende (bentiske) eller planktoniske organismer. Det bløte vevet hos de encellete foraminiferene er omgitt av et skall som er sammensatt av utskilt organisk materiale (tektin) og utskilte mineraler (kalsitt, aragonitt eller silika). Det finnes også agglutinerte former, som bruker forskjellige typer partikulært materiale (både mineralogent og organisk) for å bygge opp skallet. Dette blir bundet sammen med en cement som enten er organisk, kalkholdig eller som består av jernoksyd. Skallet hos foraminiferene kan bestå av et enkelt kammer, eller flere kamre. Diameteren på hvert enkelt kammer er som regel mindre enn 1 mm. Det finnes flere ulike former, hvor kamrene er orientert på forskjellige vis. I Skagerrak finnes det nesten utelukkende bentiske foraminiferer. Bare sjeldent finnes det planktoniske former som har drevet inn fra åpne havområder (Elisabeth Alve, pers. medd.).

**Nannofossiler** er fossiler mindre enn mikrofossiler. Mesteparten av nannofossilene i sedimentene i Skagerrak består av coccolitter. Coccolittene stammer fra coccolithophorer, som er encellede, planktoniske kalkalger. Skallene deres er bygget opp av 3-15 mikrometer store kalsittplater. Etter at coccolithophorene dør faller som regel coccolitt-platene fra hverandre og daler ned på havbunnen, hvor de inkorporeres i sedimentet. Det er sjeldent å finne hele individer. Finfraksjonen (veldig fin silt) i et marint sediment kan inneholde betydelige mengder coccolitter.

**Diatoméer** er encellede alger med cellevegg av silica. De opptrer i mange ulike morfologiske former, og finnes både i ferske og marine farvann. Ferskvannsdiatoméer blir ofte tilført marine sedimenter fra elver. Størrelsen på diatoméellen kan variere fra 5 til 2000 mikrometer, men den vanligste størrelsen er 20-200 mikrometer.

**Radiolarier** er encellede zooplankton som kun lever i marine farvann. De har skjelett av silika. Cellediameteren varierer fra 100 til 2000 mikrometer.

**Svampspikler** er nåler av silika eller karbonat som støtter opp det bløte vevet hos bunnlevende svamper. De fleste svampspikler består av silika. De tilhører forskjellige arter og opptrer i forskjellige størrelser (silt og sand). Sedimentene kan inneholde både hele spikler og fragmenter av spikler.

**Silicoflagellater** er 20 til 100 mikrometer store encellede alger med et indre skjelett av silika.

Organisk "debris" er et samlebegrep for terrestrisk materiale (plantedeler, vedfragmenter, sporer og pollen), dinoflagellater og nedbrutt marint organisk materiale. Dinoflagellater er ikke skilt ut som egen gruppe da de opptrer i svært små konsentrasjoner. Det må palynologiske prepareringsmetoder til for å få de konsentrert.

Pellets er ovale klumper på størrelse med sand. De er ekskrementer av marine organismer, og inneholder opprinnelig både organisk og uorganisk materiale. De består av minerogent materiale som er kittet sammen av et organisk "lim".

Bioklaster Her inngår fossilfragmenter som ikke passer inn i noen annen gruppe. Fragmenter av foraminiferer er inkludert i denne gruppen da de kan være vanskelige å identifisere. Fragmenter av diatoméer og svampspikler er ikke tatt med. Bioklastene kan bestå av både karbonat og annet materiale, som for eksempel fragmenter av bivalver og echinodermer.

Fiskerester er fragmenter av fiskeben som består av fosfat.

## 2.4 Kornstørrelsесfordeling i smøreparat

Kornstørrelsесfordelingen (andelen sand, silt og leir) i både den totale og den minerogene fraksjonen er beregnet. Den totale fraksjonen inkluderer alle komponentene i sedimentet, uavhengig om det er minerogent eller organisk materiale. I den minerogene fraksjonen beregnes kornstørrelsесfordelingen kun i den uorganiske fraksjonen, eller med andre ord i den totale fraksjonen minus det organiske materialet.

## 3 RESULTATER

Alle de identifiserte komponentene i overflateprøvene er plottet mot vanndyp (Figur 4A til 4V). For å illustrere geografiske endringer i sammensetningen av komponentene i topsedimentet ble det valgt ut en rekke prøvetraséer (Figur 5 og 6).

Figur 4A-4V. Relative mengder av ulike komponenter plottet mot vanndyp.

Fig. 4A. Innhold av minerogen fraksjon i overflateprøver.

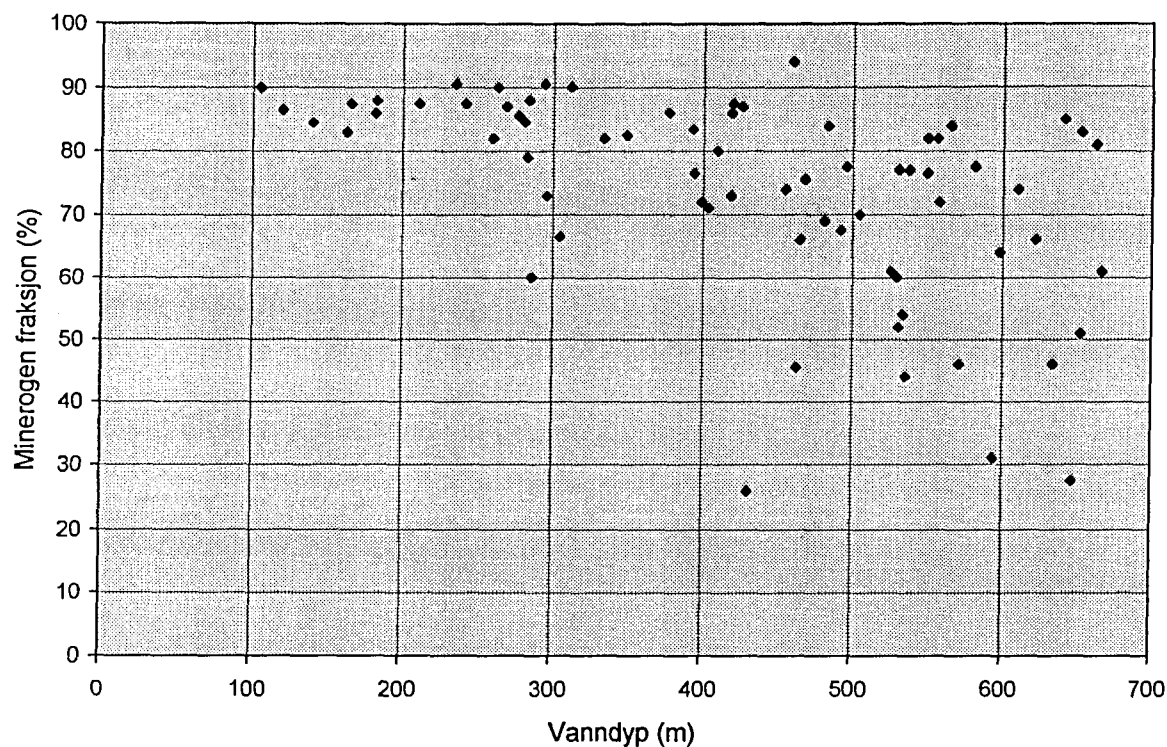


Fig. 4B. Innhold av kvarts og feltspat i overflateprøver.

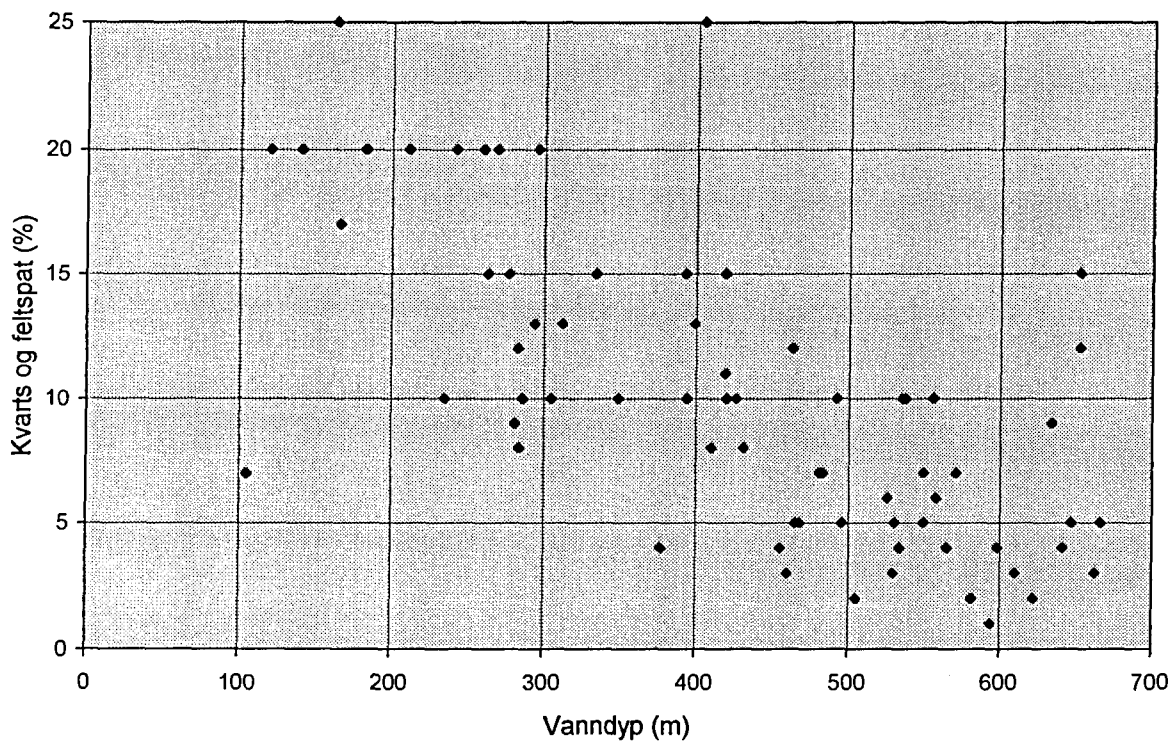


Fig. 4C. Innhold av uorganisk kalsitt i overflateprøver.

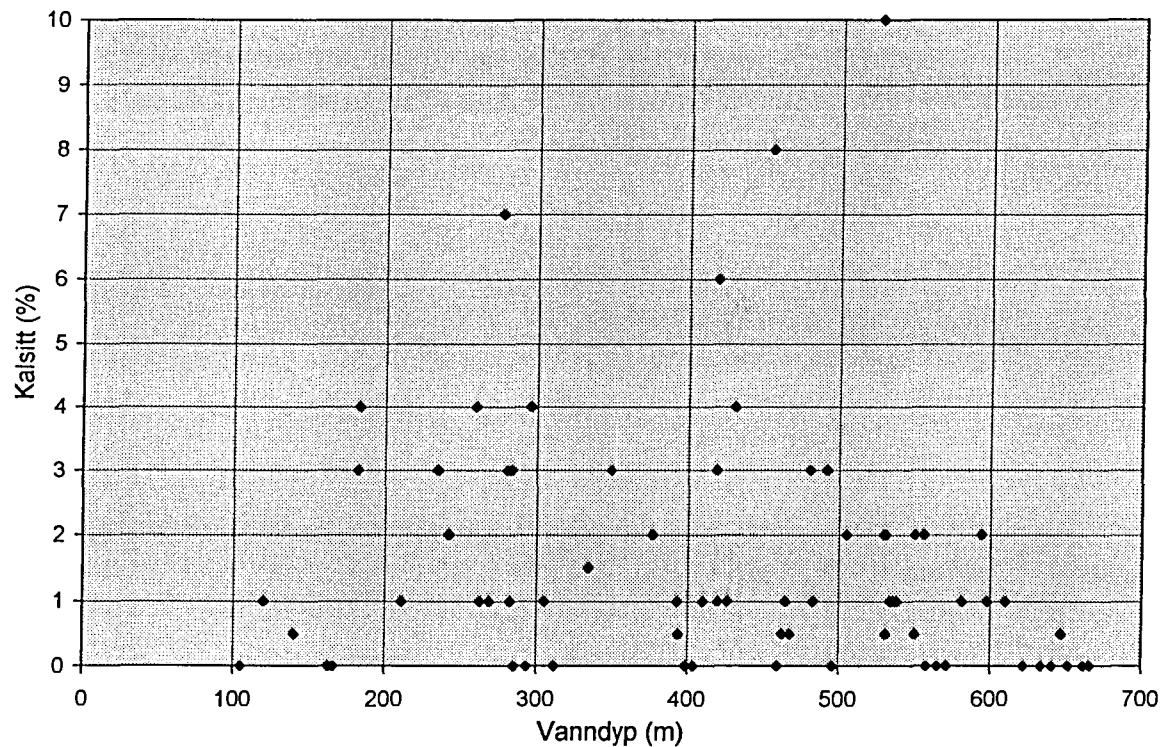


Fig. 4D. Innhold av dolomitt i overflateprøver.

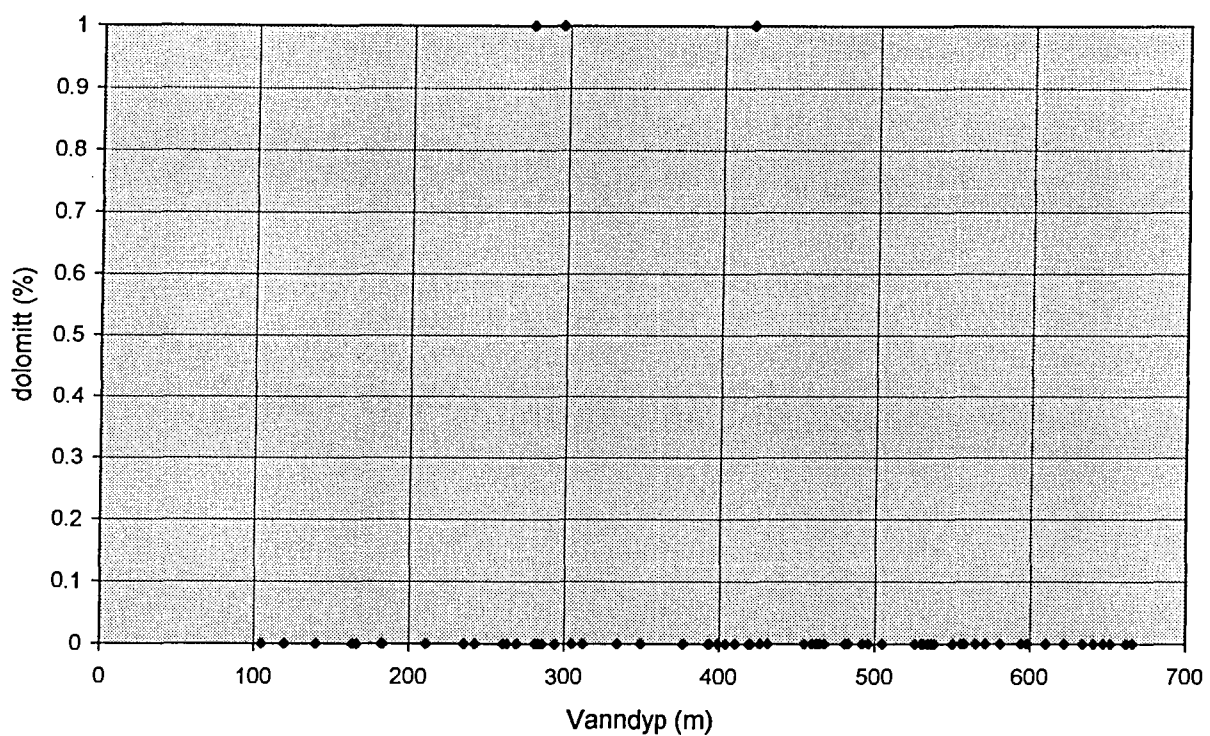


Fig. 4E. Innhold av pyritt i overflateprøver.

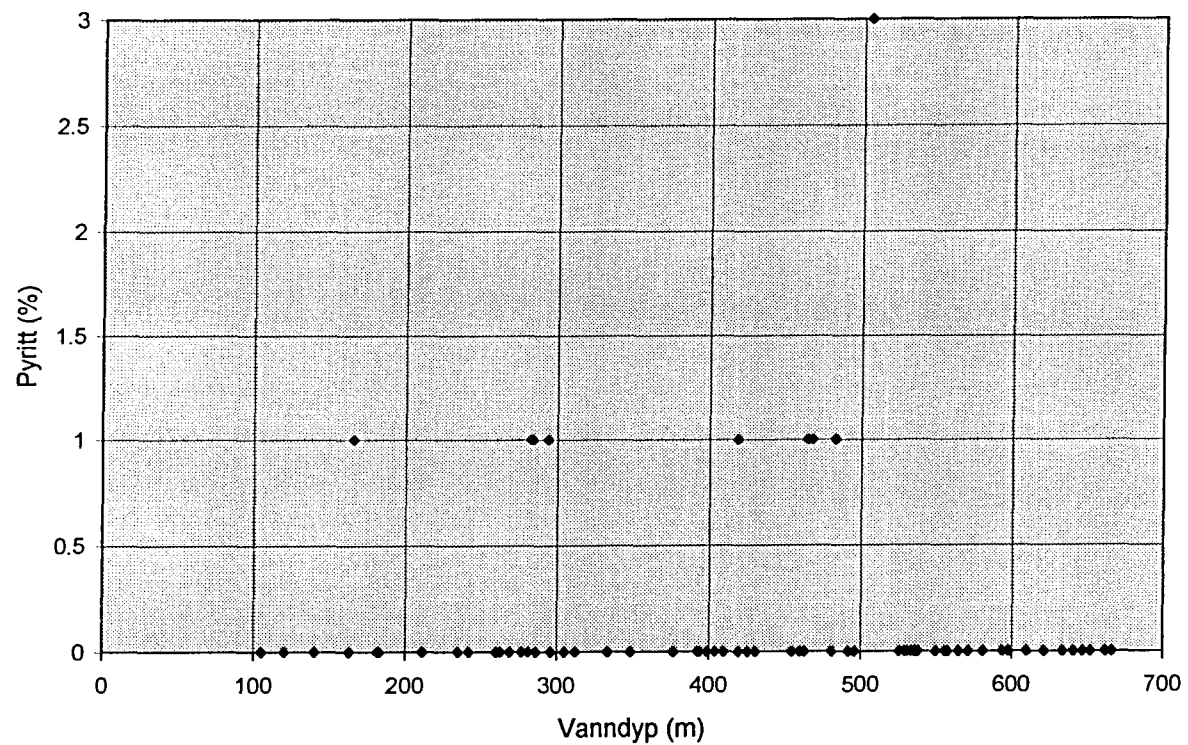


Fig. 4F. Innhold av FeMnO i overflateprøver.

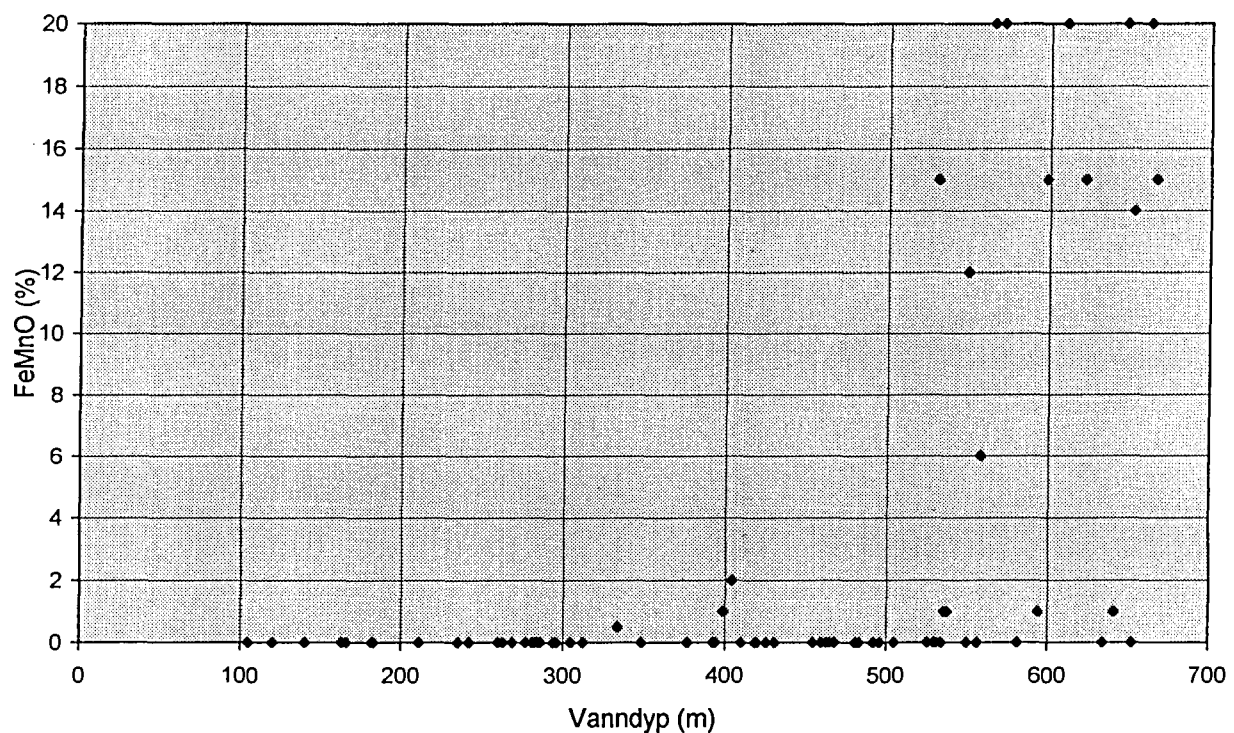


Fig. 4G. Innhold av uidentifisert leir og silt i overflateprøver.

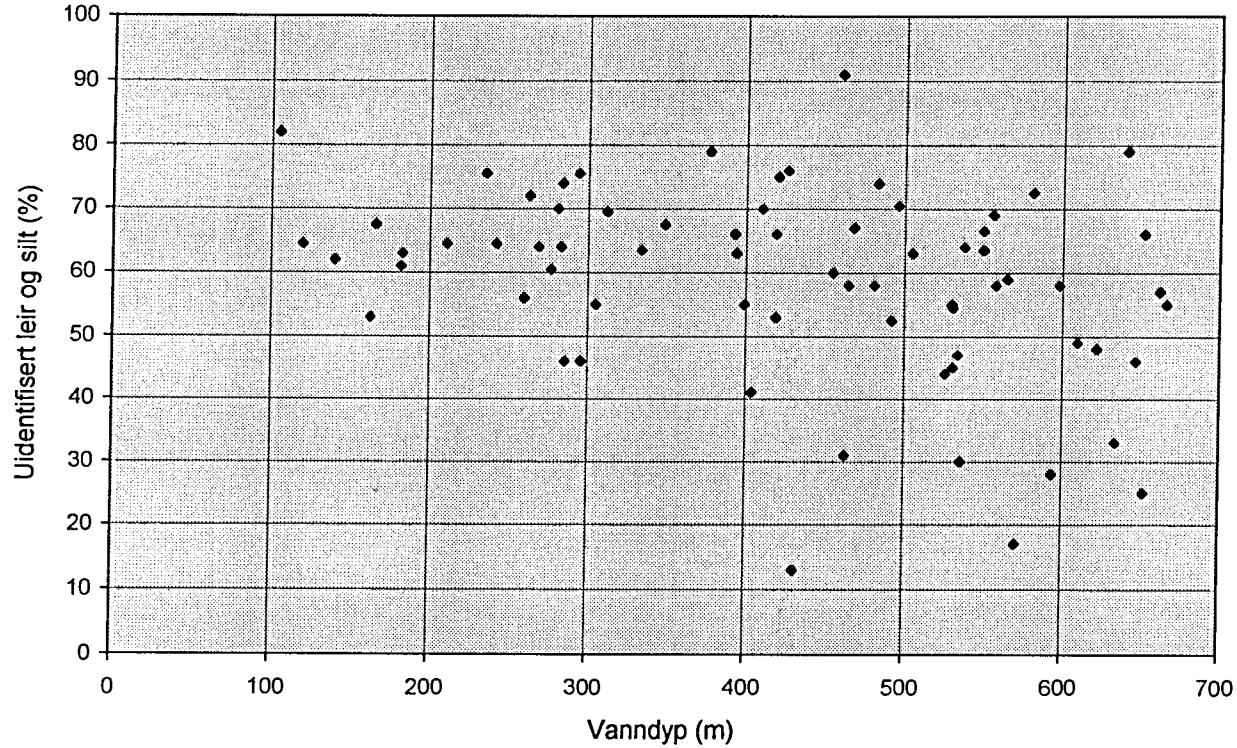


Fig. 4H. Innhold av organisk fraksjon i overflatesedimenter.

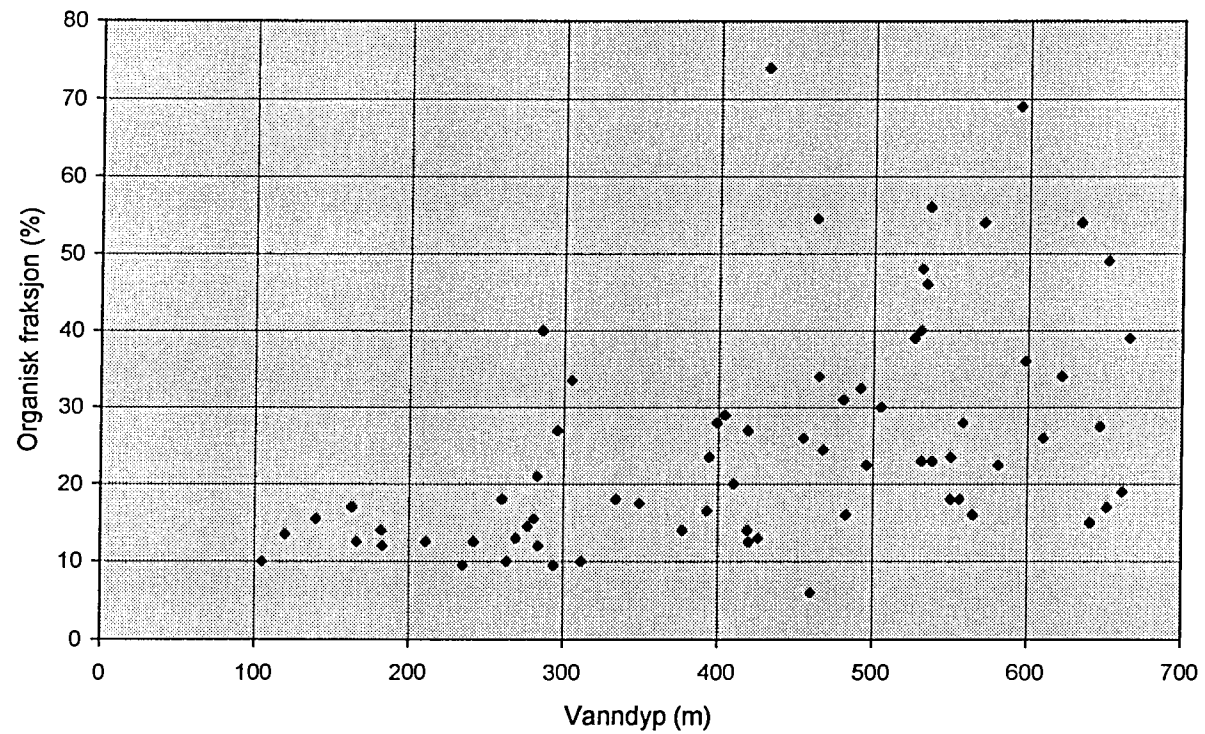


Fig. 4I. Innhold av foraminiferer i overflateprøver.

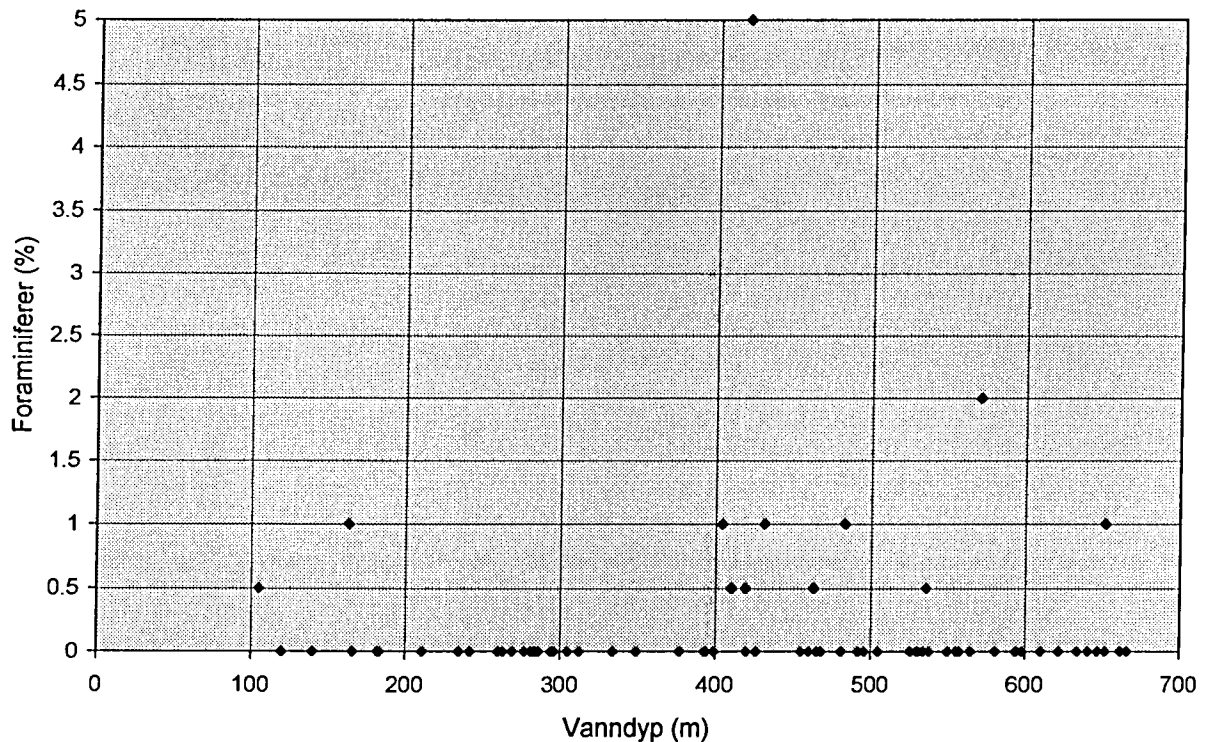


Fig. 4J. Innhold av nannofossiler i overflateprøver.

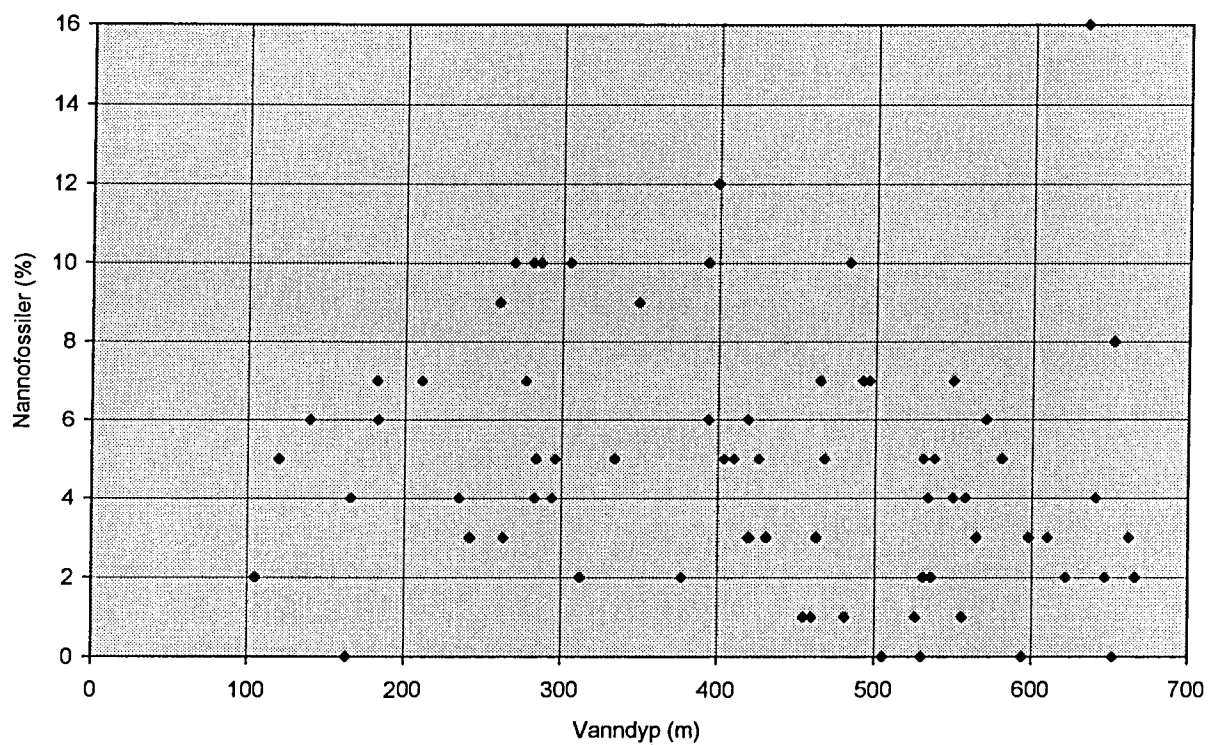


Fig. 4K. Innhold av diatoméer i overflateprøver.

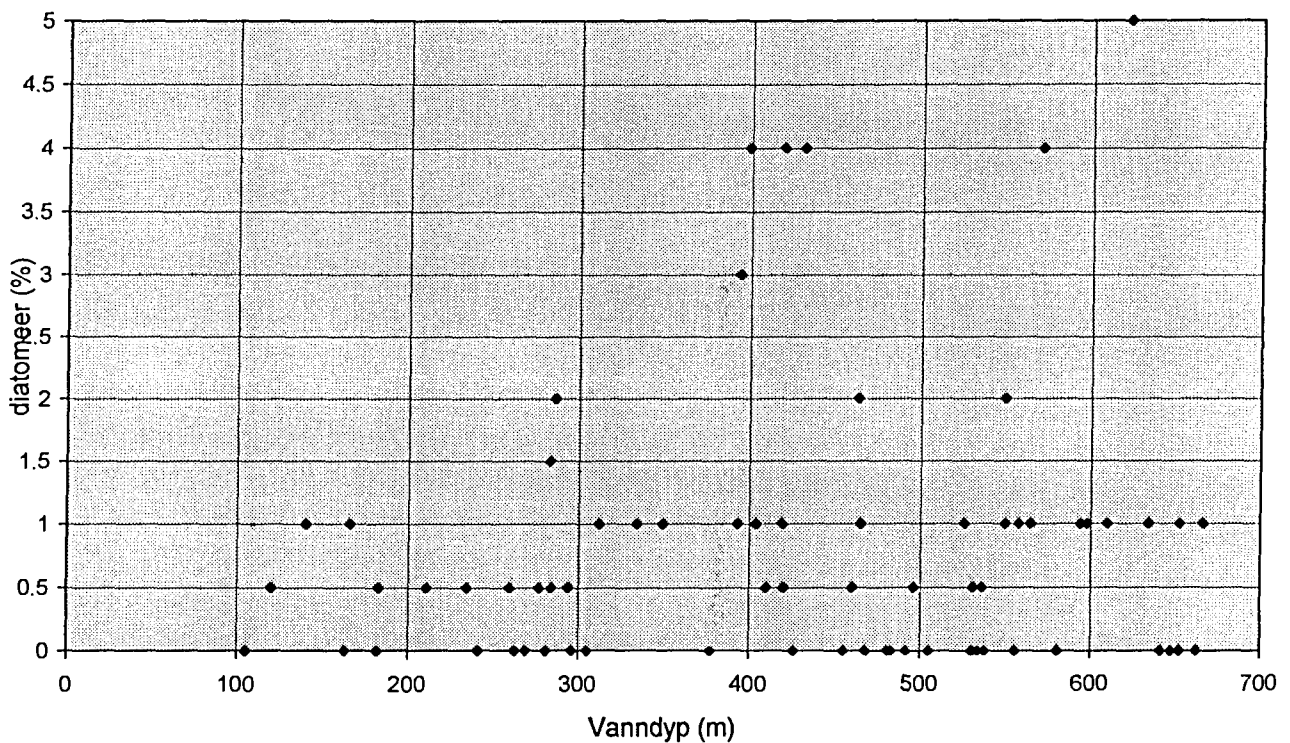


Fig. 4L Innhold av svampspikler i overflateprøver.

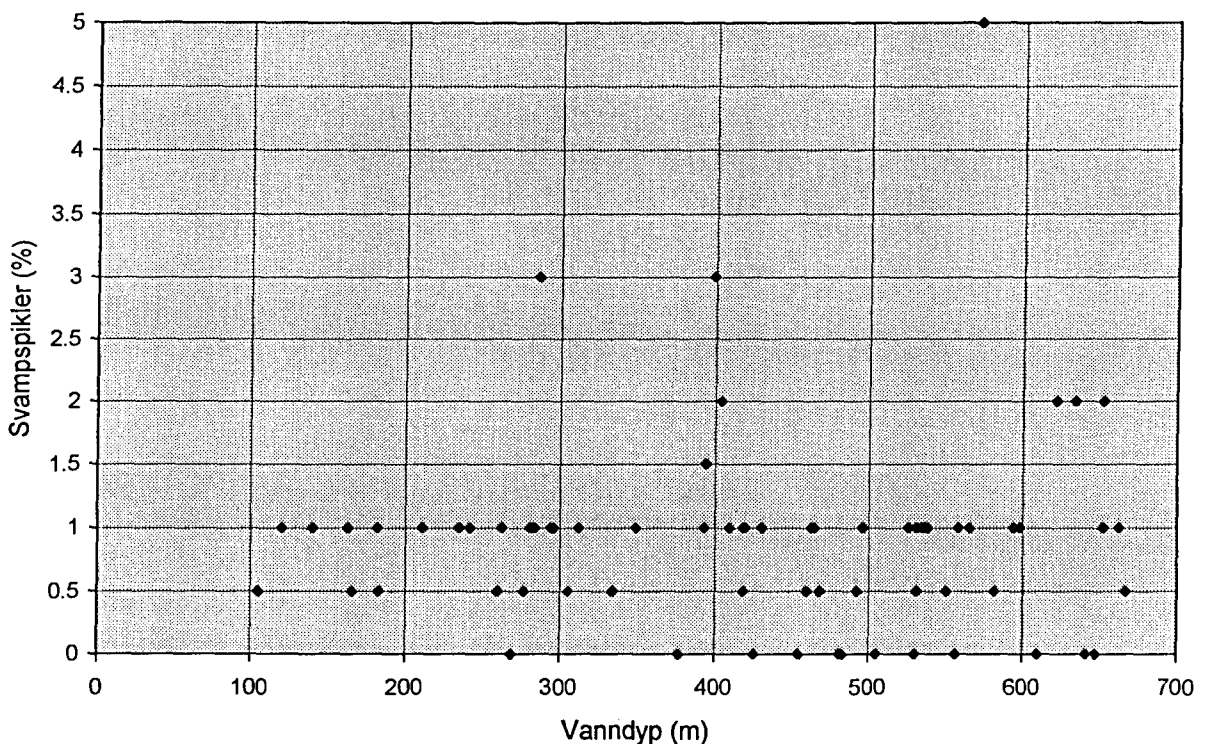


Fig. 4M. Innhold av organisk "debris" i overflateprøver.

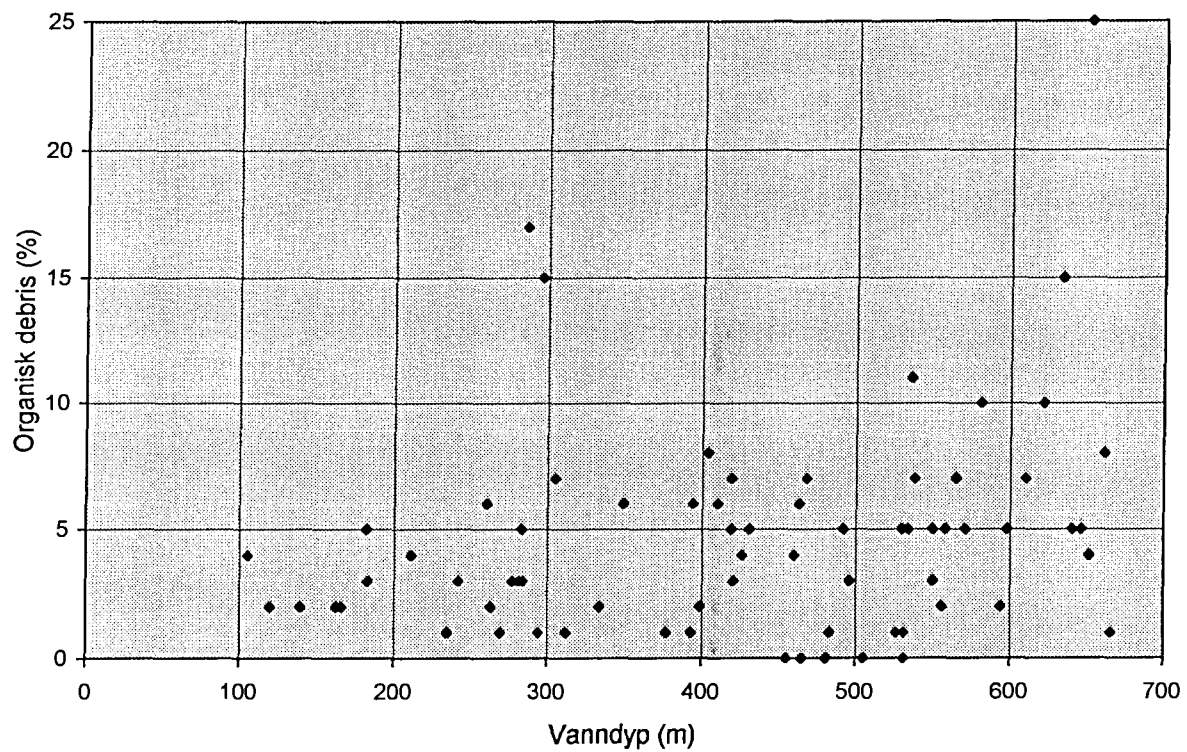


Fig. 4N. Innhold av pellets i overflatesedimenter.

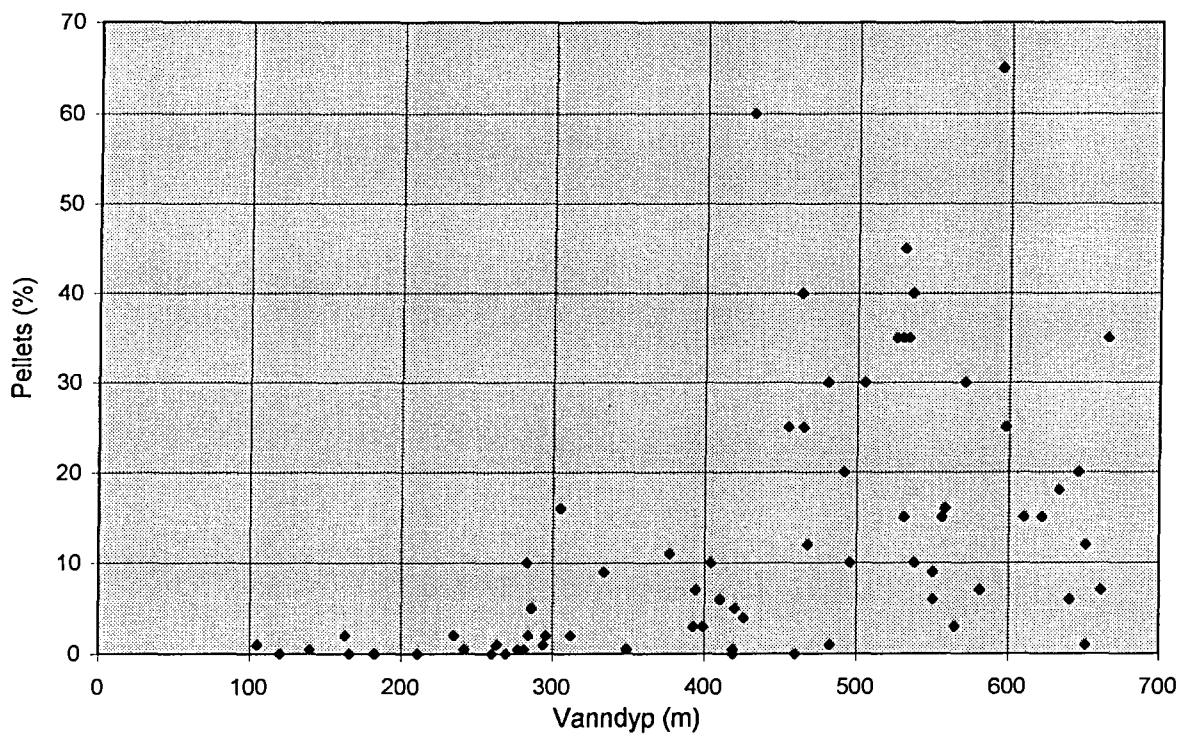


Fig. 4O. Innhold av bioklaster i overflateprøver.

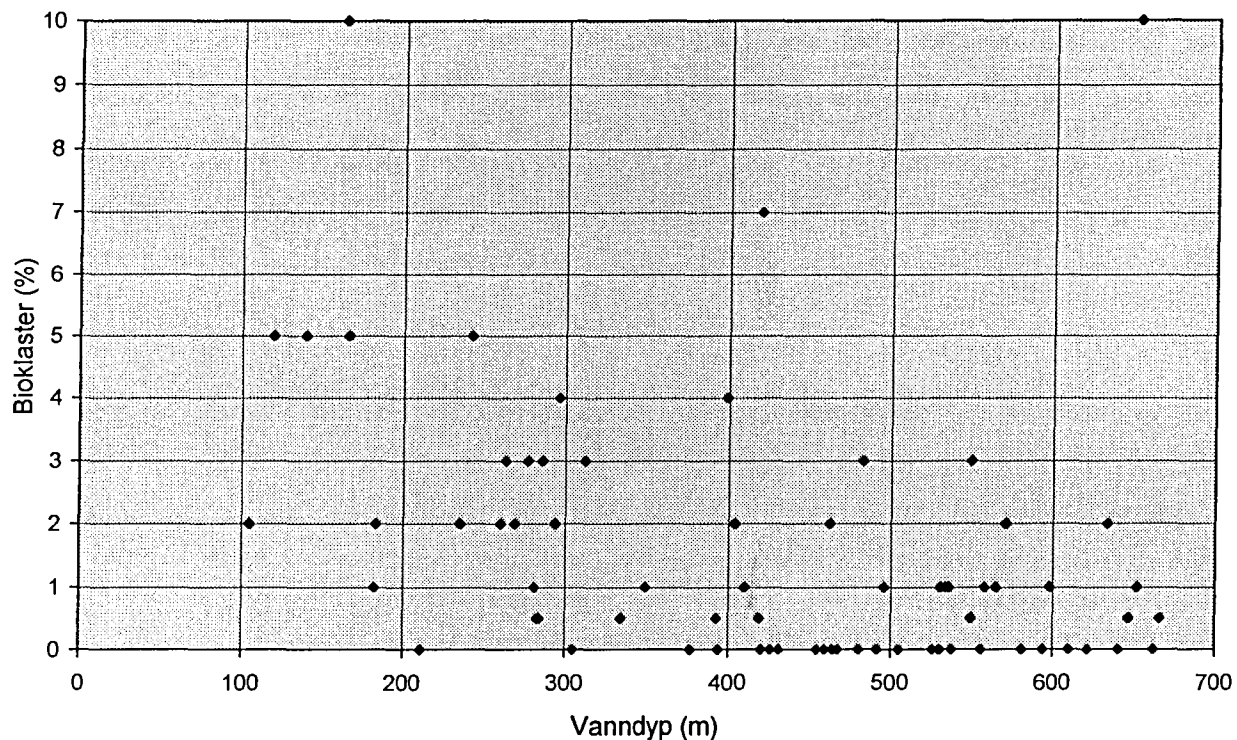


Fig. 4P. Innhold av biogenet materiale i overflateprøver.

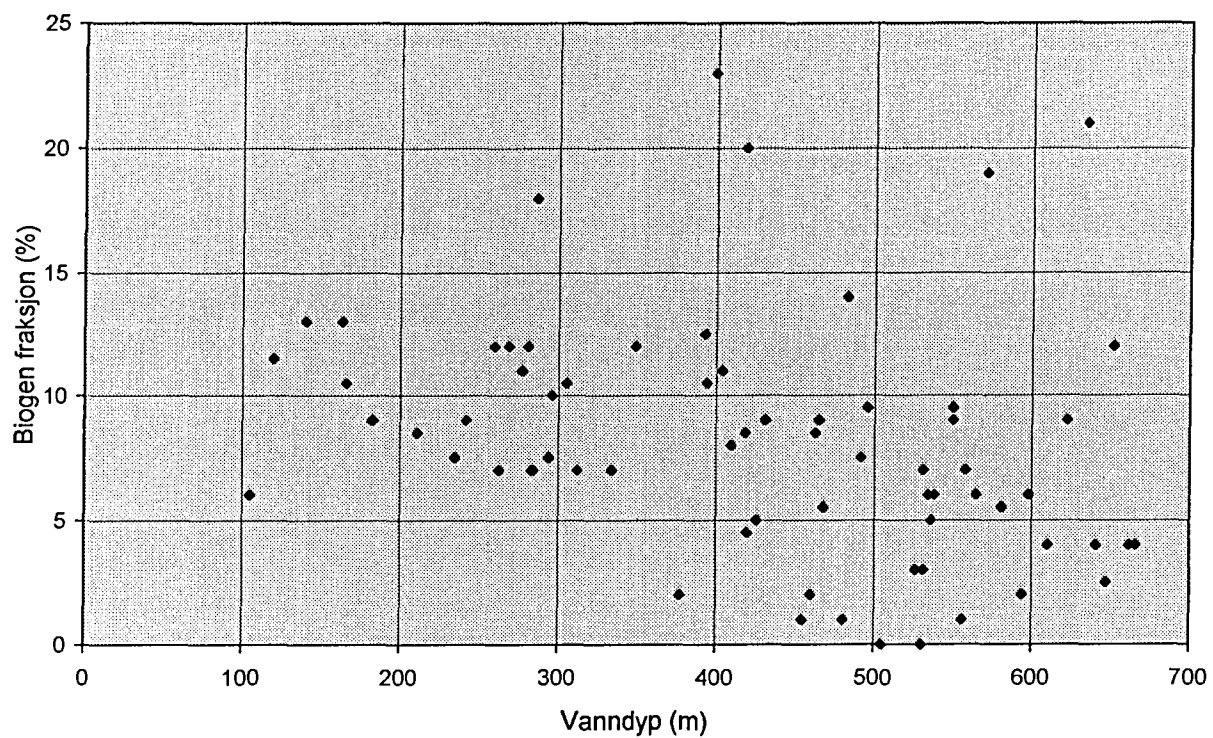


Fig. 4Q. Innhold av sand i "total fraksjon" (overflateprøver).

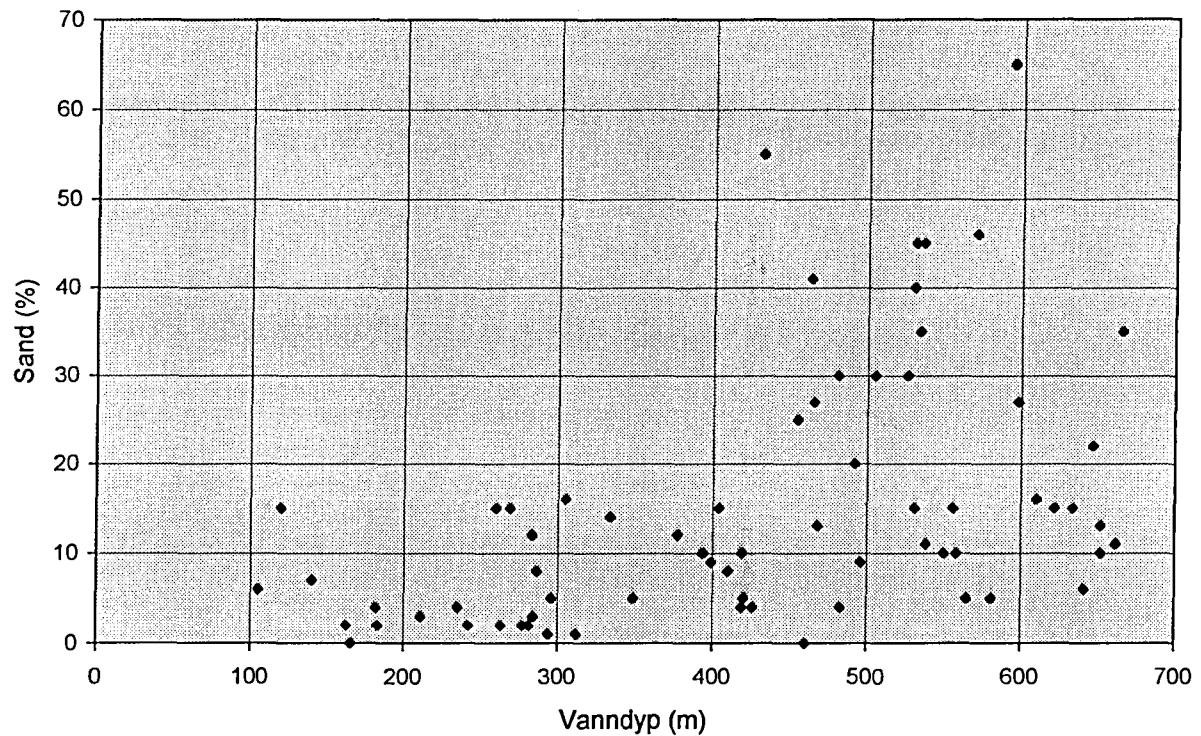


Fig. 4R. Innhold av silt i "total fraksjon" (overflateprøver).

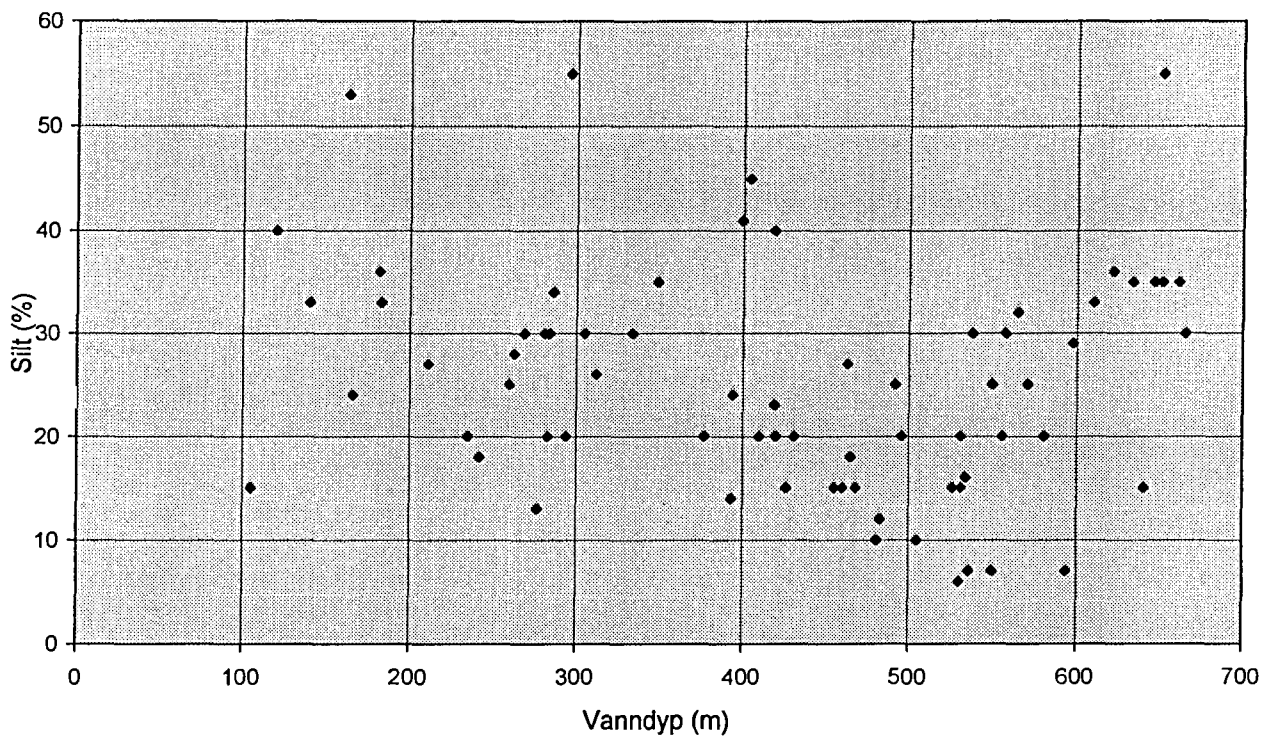


Fig. 4S. Innhold av leir i "total fraksjon" (overflateprøver).

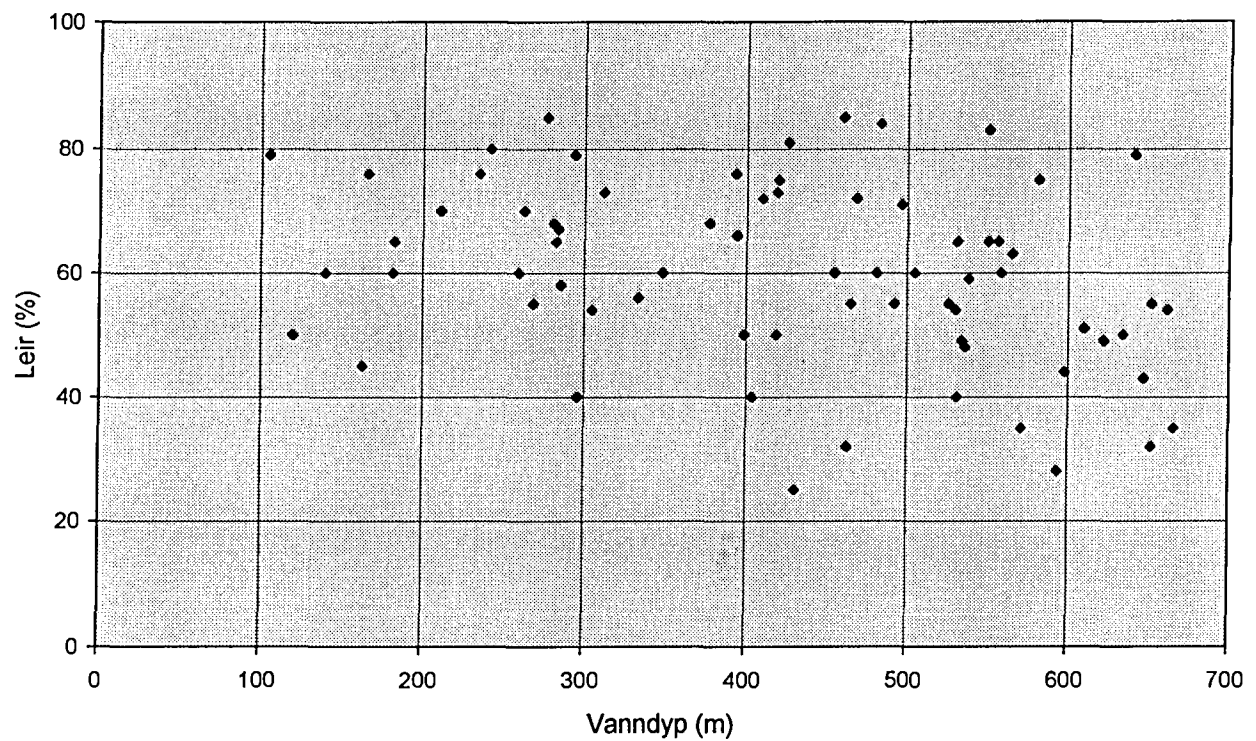


Fig. 4T. Innhold av sand i "minerogen fraksjon" (overflateprøver).

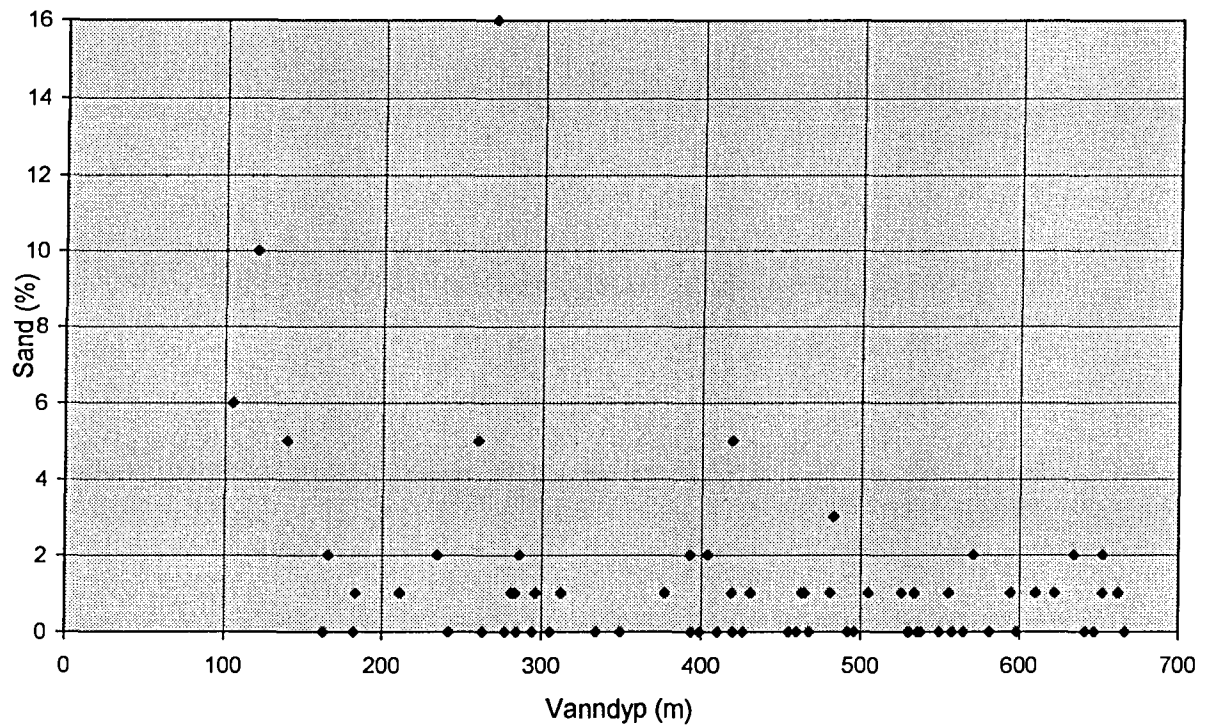


Fig. 4U. Innhold av silt i "minerogen fraksjon" (overflateprøver).

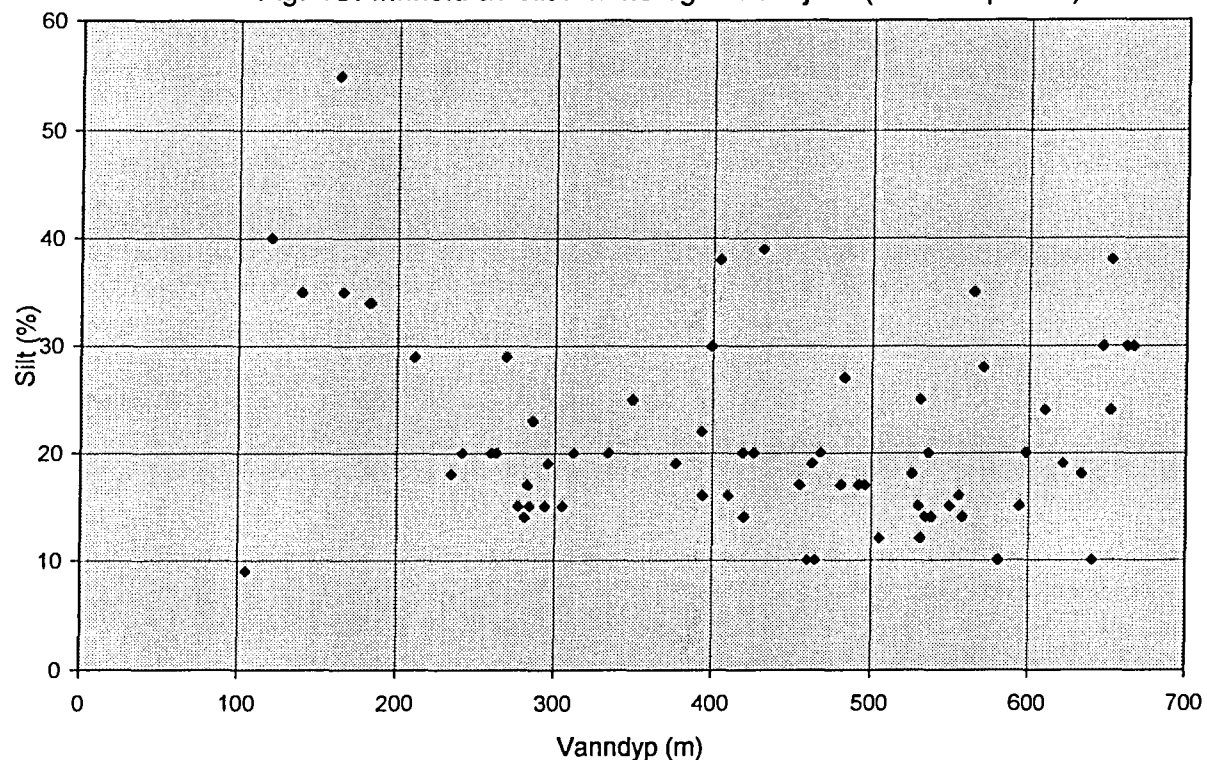
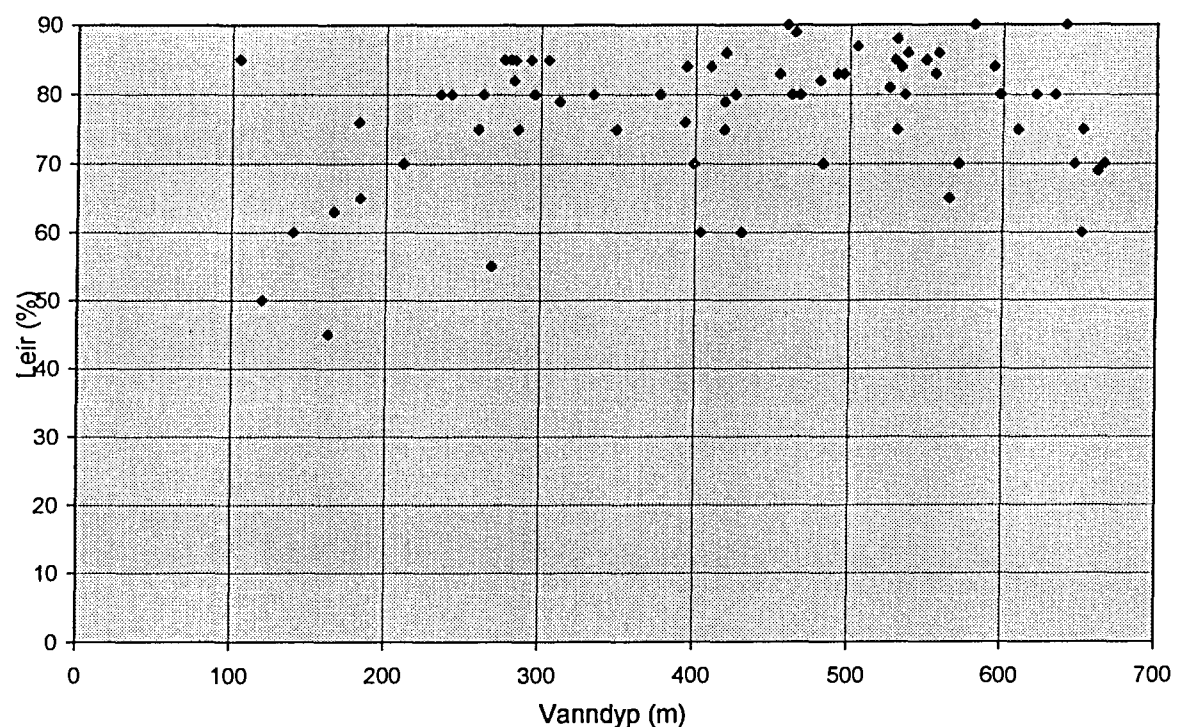
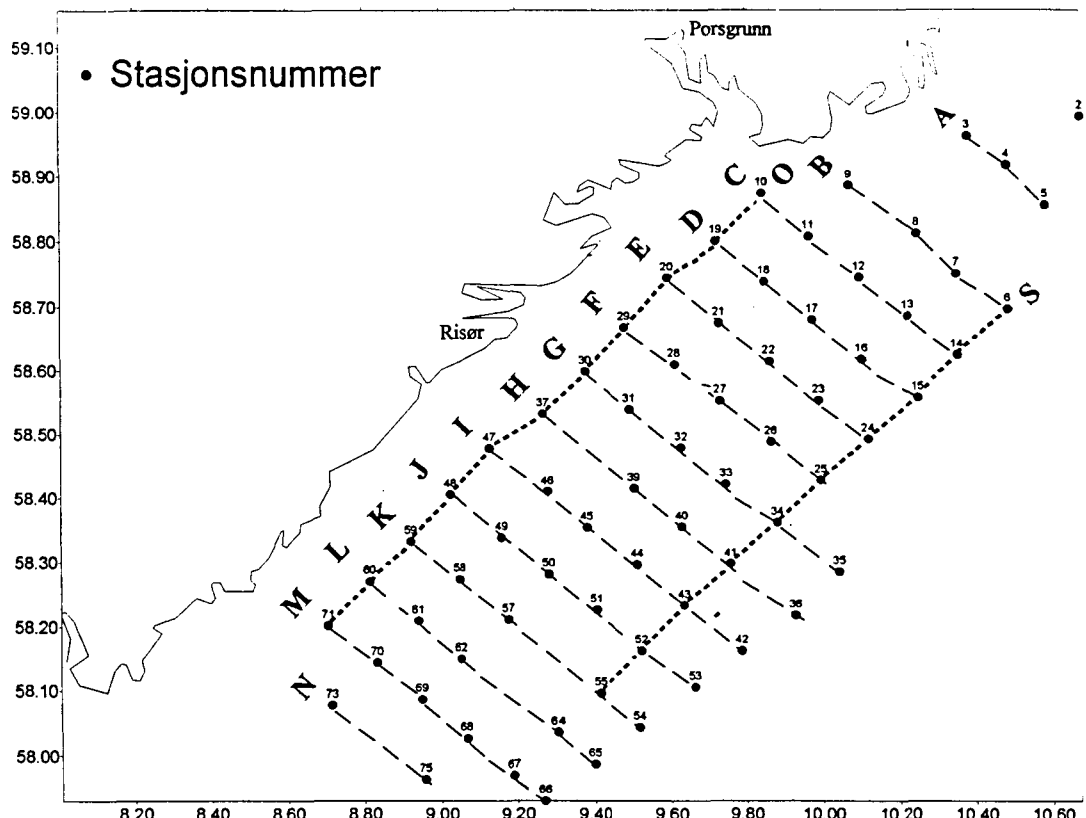


Fig. 4V. Innhold av leir i "minerogen fraksjon" (overflateprøver).





Figur 5. Overflateprøvetraséer.

Trasé A (lengst inne i Skagerrak) til og med trasé M (utenfor Grimstad) løper alle vinkelrett på kysten. Trasé O og S løper parallelt med kysten. Disse starter innerst i Skagerrak og fortsetter mot ytre deler av Skagerrak. Trasé O ligger relativt nær kysten, mens trasé S ligger lengre fra land. De relative verdiene av komponentene er tegnet ut i form av histogrammer (Figur 6). Komponentene er innordnet i grupper: Minerogen fraksjon, uidentifisert leir og silt, pellets, biogen fraksjon og organisk «debris». (Andre steder enn i figur 6 inngår uidentifisert leir og silt i den minerogene fraksjonen.). Mengdeforholdet mellom disse gruppene er illustrert ved hjelp av en kurve. De stratigrafiske endringer i sammensetningen av sedimentet fra seksten kjerner som ligger langs trasé J, K og L, er også illustrert.

Figur 6. Fordeling av komponenter langs traséer og nedover i sedimentet.

#### Overflateprøver

Trasé A-N løper vinkelrett på kysten (fra NØ til SV).

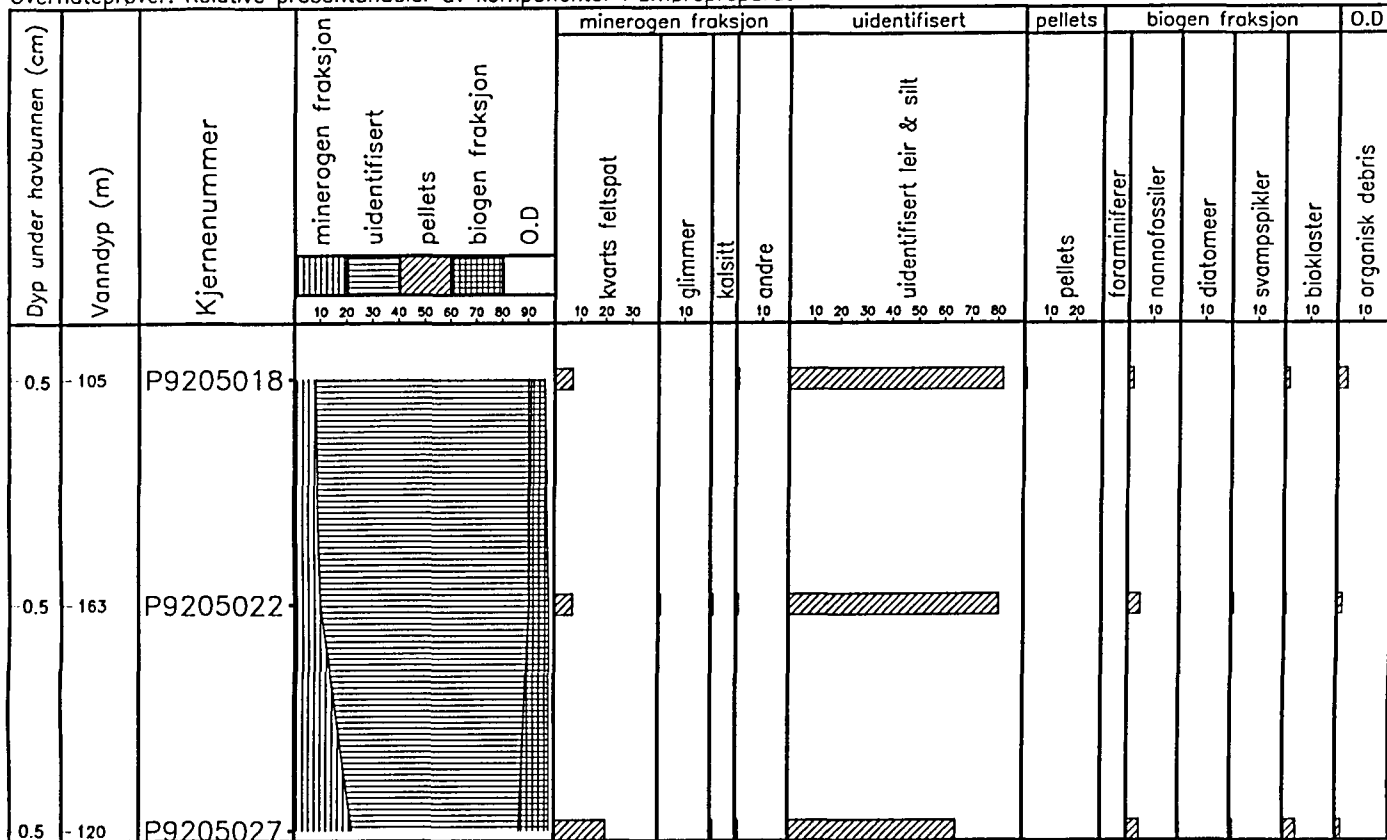
Trasé O og S løper parallelt med kysten (fra NØ til SV).

#### Vertikal fordeling av komponenter

Ulike stratigrafiske nivå fra følgende stasjoner/kjerner er analysert:

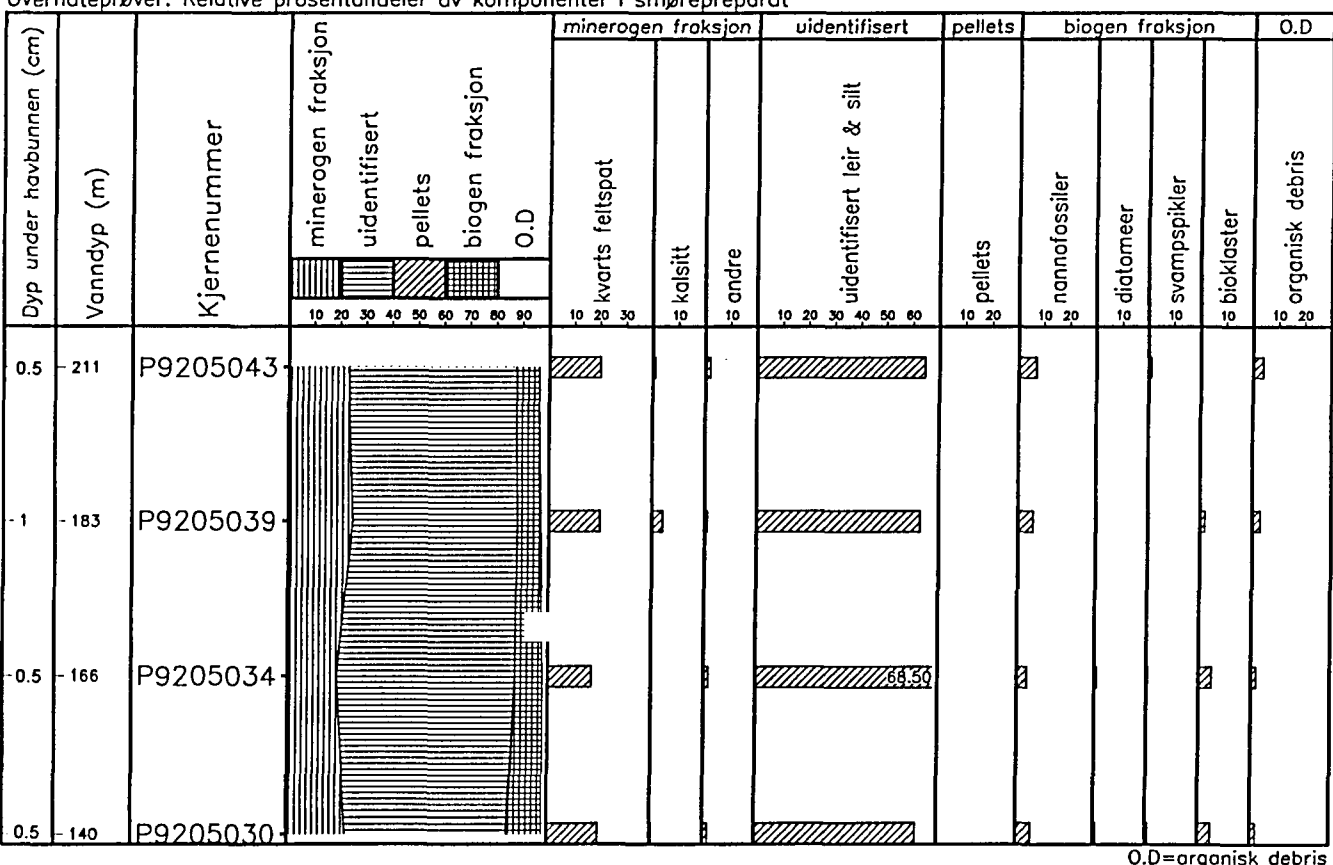
| Stasjon | Kjernenummer |                                       |
|---------|--------------|---------------------------------------|
| 48      | P9205223     |                                       |
| 49      | P9205227     |                                       |
| 50      | P9205231     | Kjerner langs trasé J (fra NV til SØ) |
| 51      | P9205235     |                                       |
| 52      | P9205240     |                                       |
| 53      | P9205244     |                                       |
| 59      | P9307029     |                                       |
| 58      | P9307023     |                                       |
| 57      | P9307020     | Kjerner langs trasé K (fra NV til SØ) |
| 55      | P9205252     |                                       |
| 54      | P9205249     |                                       |
| 60      | P9307035     |                                       |
| 61      | P9307041     |                                       |
| 62      | P9307047     | Kjerner langs trasé L (fra NV til SØ) |
| 64      | P9307060     |                                       |
| 65      | P9307066     |                                       |

## SKAGERRAK-TRASE A NIEMISTØPRØVETAKER

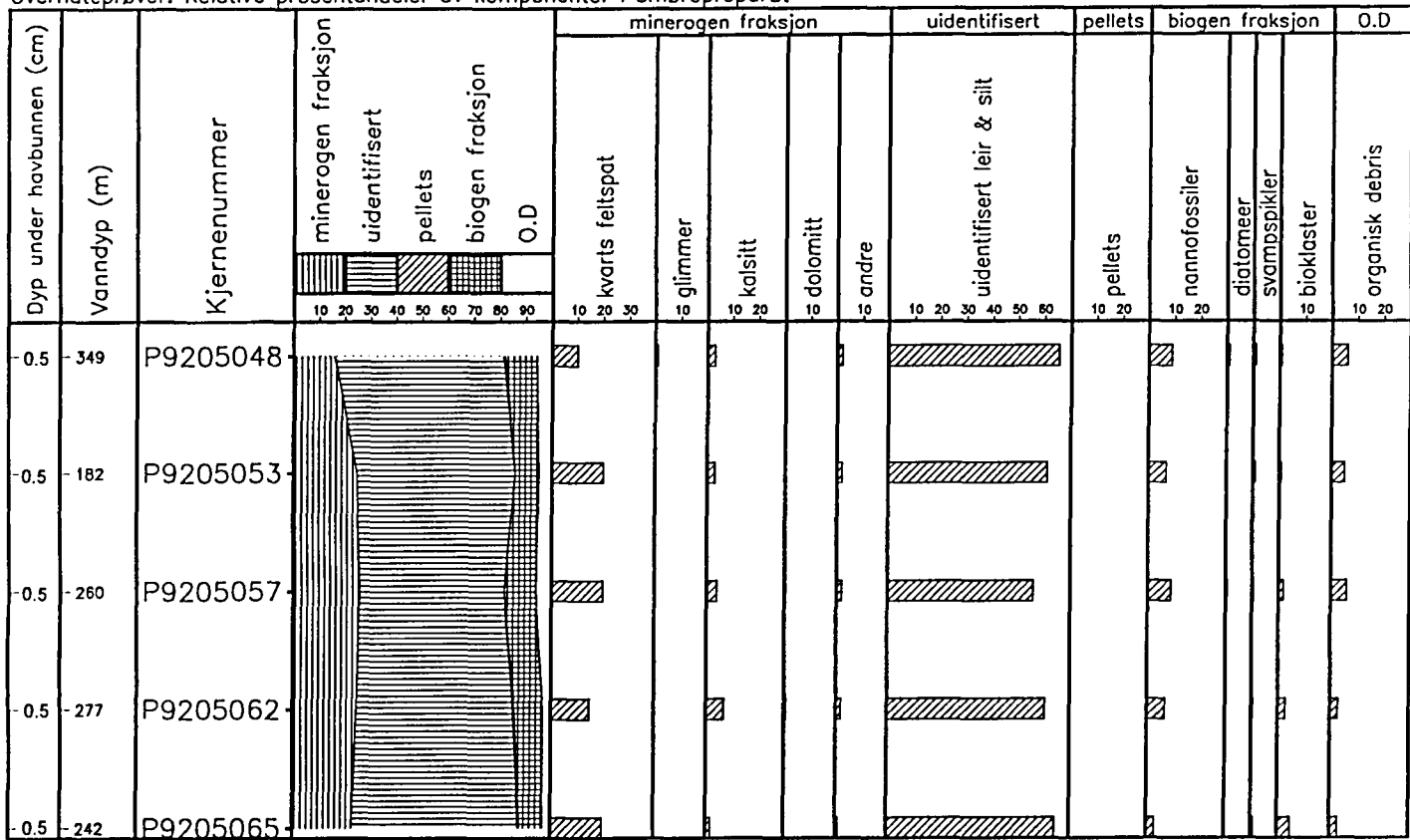


## **SKAGERRAK-TRASE B NIEMISTØPØVETAKER**

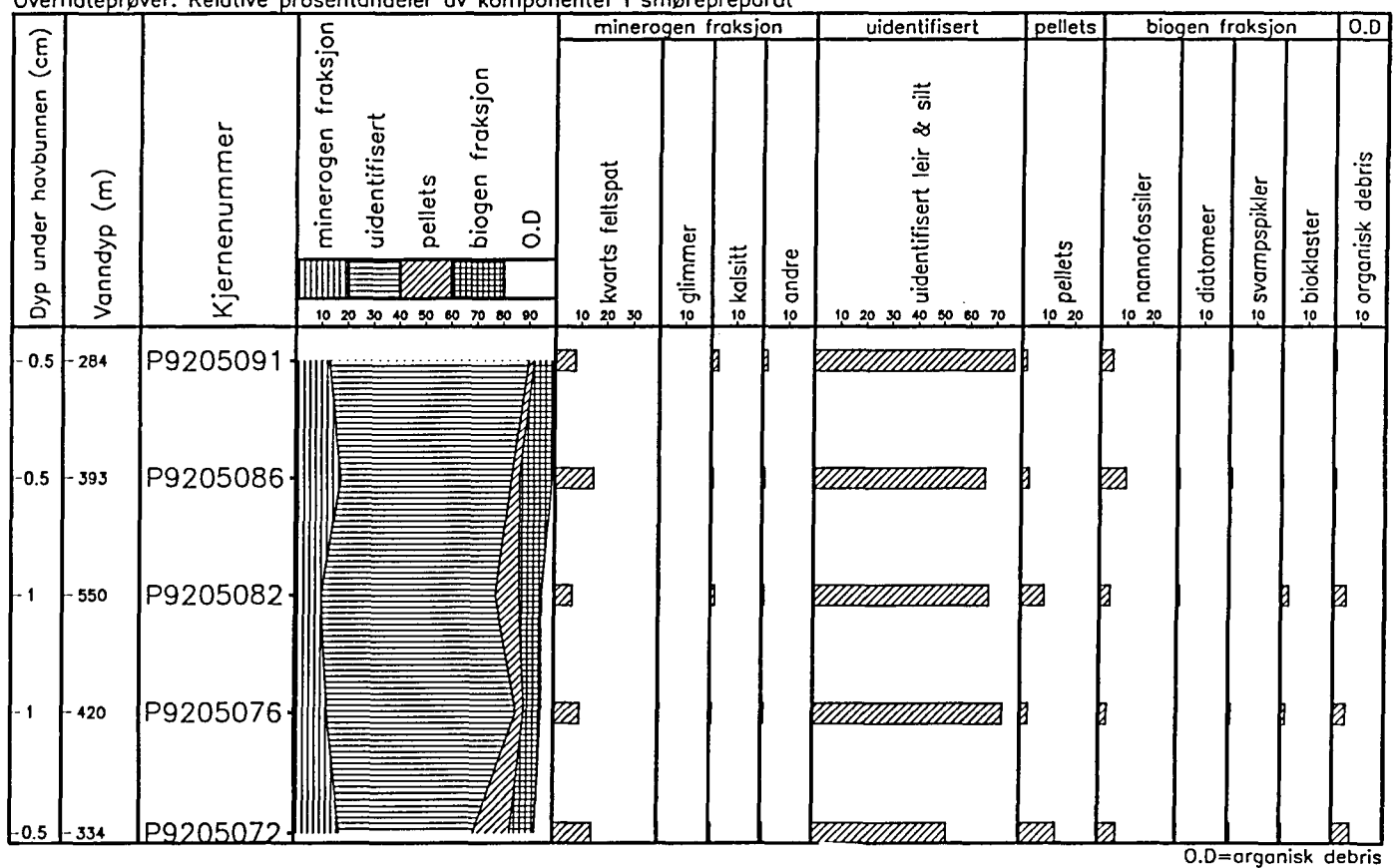
Overflateprøver. Relative prosentandeler av komponenter i smørepræparat



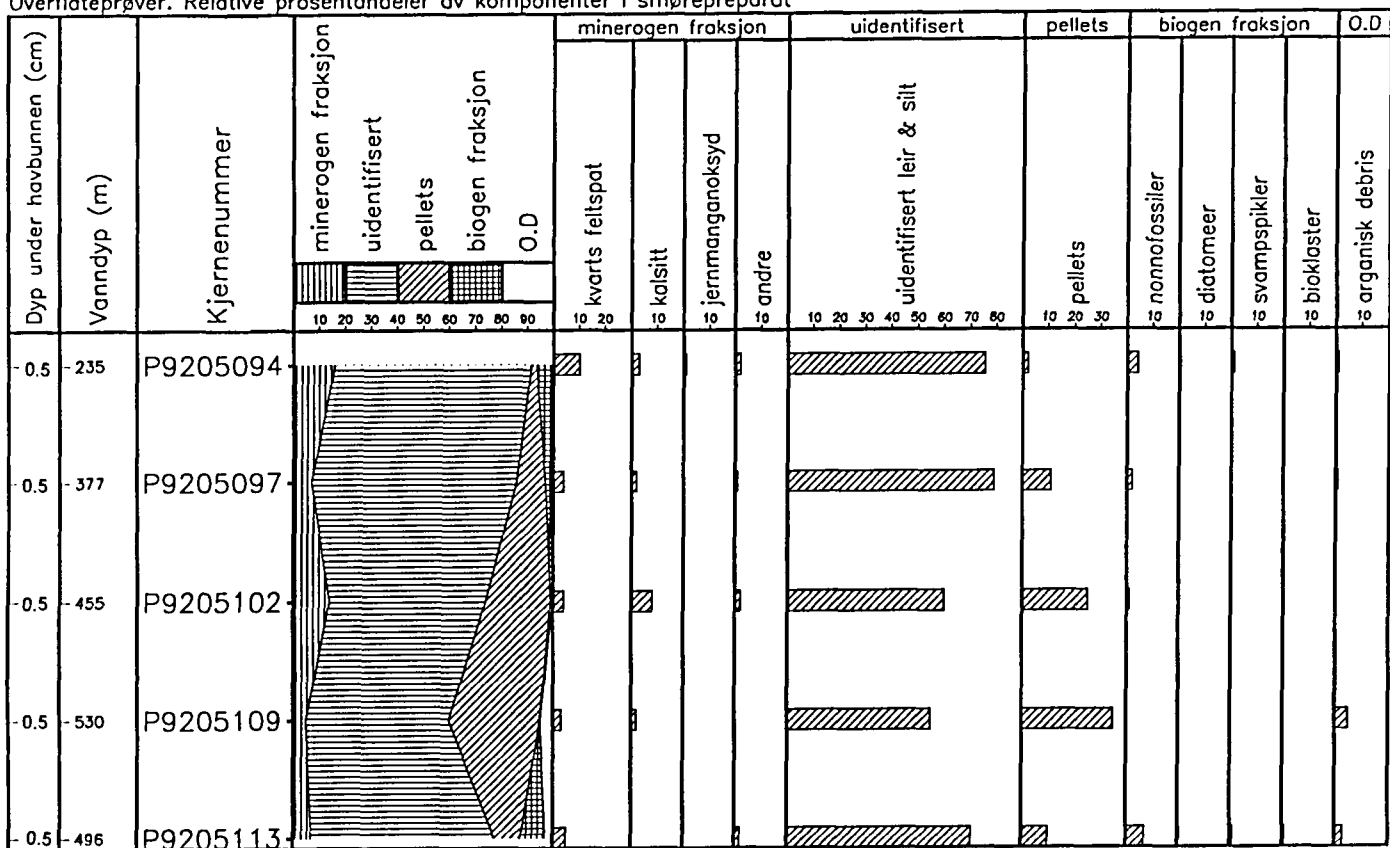
**SKAGERRAK-TRASE C NIEMISTÖPRØVETAKER**  
 Overflateprøver. Relative prosentandeler av komponenter i smørepreparat



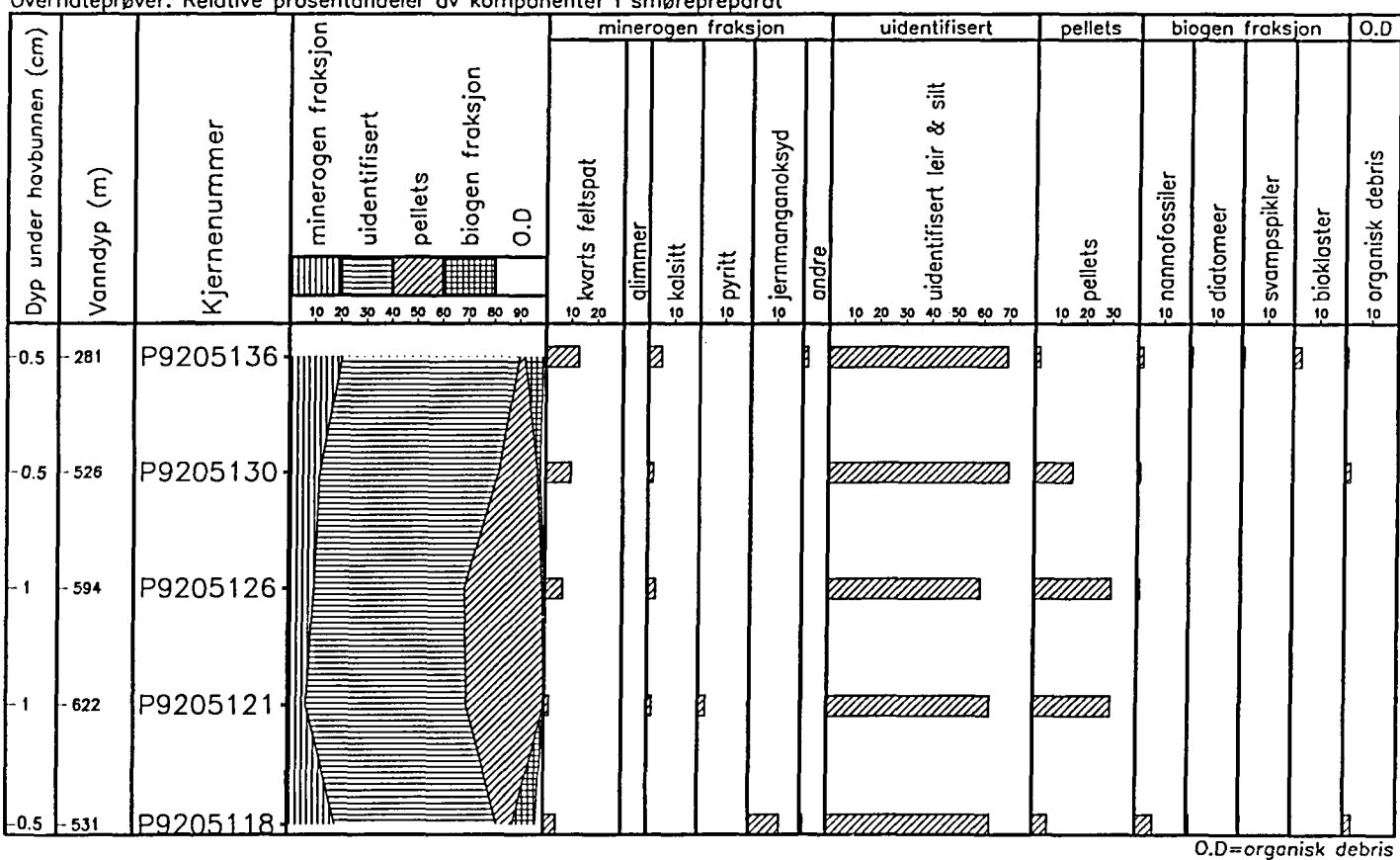
**SKAGERRAK-TRASE D NIEMISTÖPRØVETAKER**  
 Overflateprøver. Relative prosentandeler av komponenter i smærepreparat



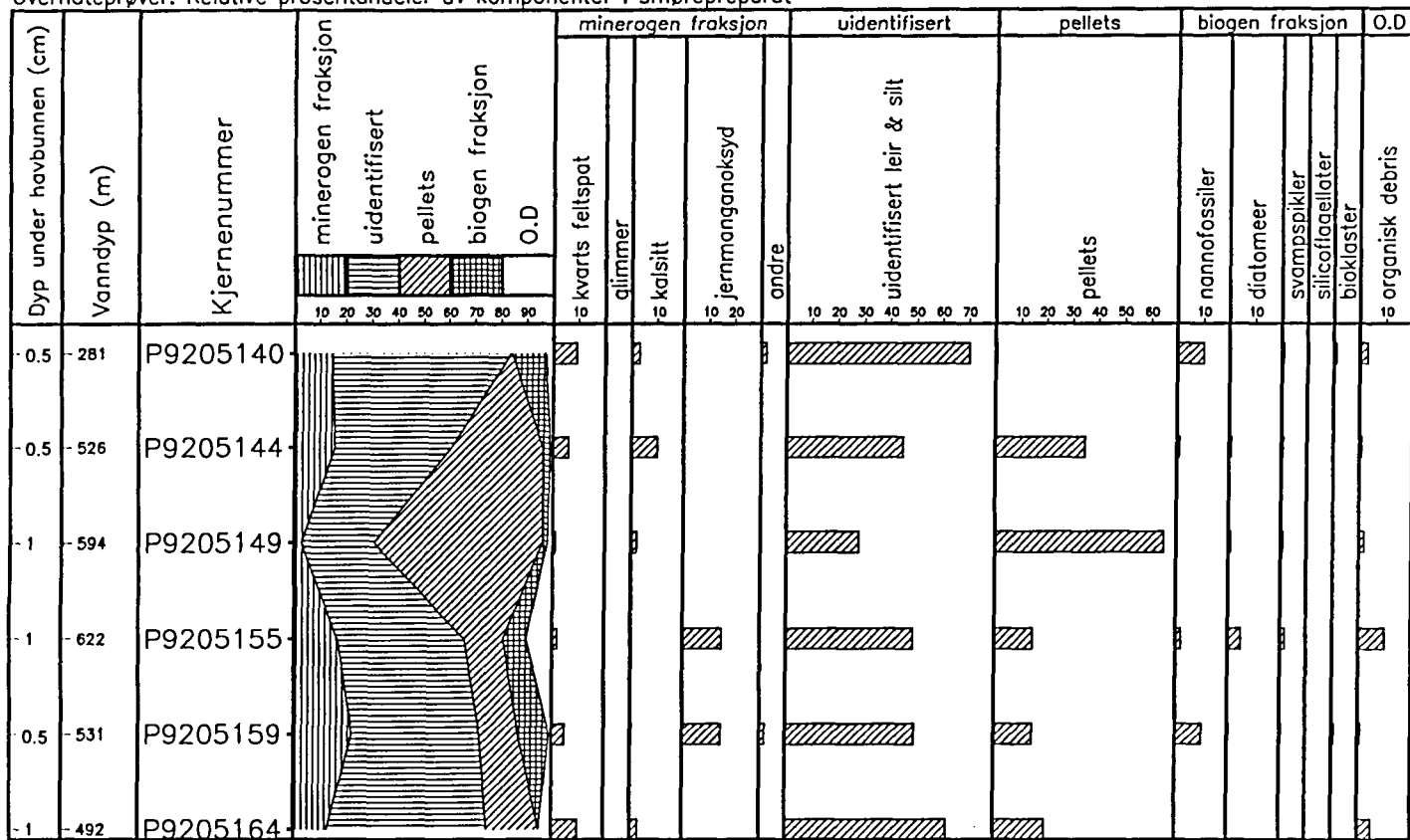
**SKAGERRAK–TRASE E NIEMISTÖPRØVETAKER**  
 Overflateprøver. Relative prosentandeler av komponenter i smørepreparat



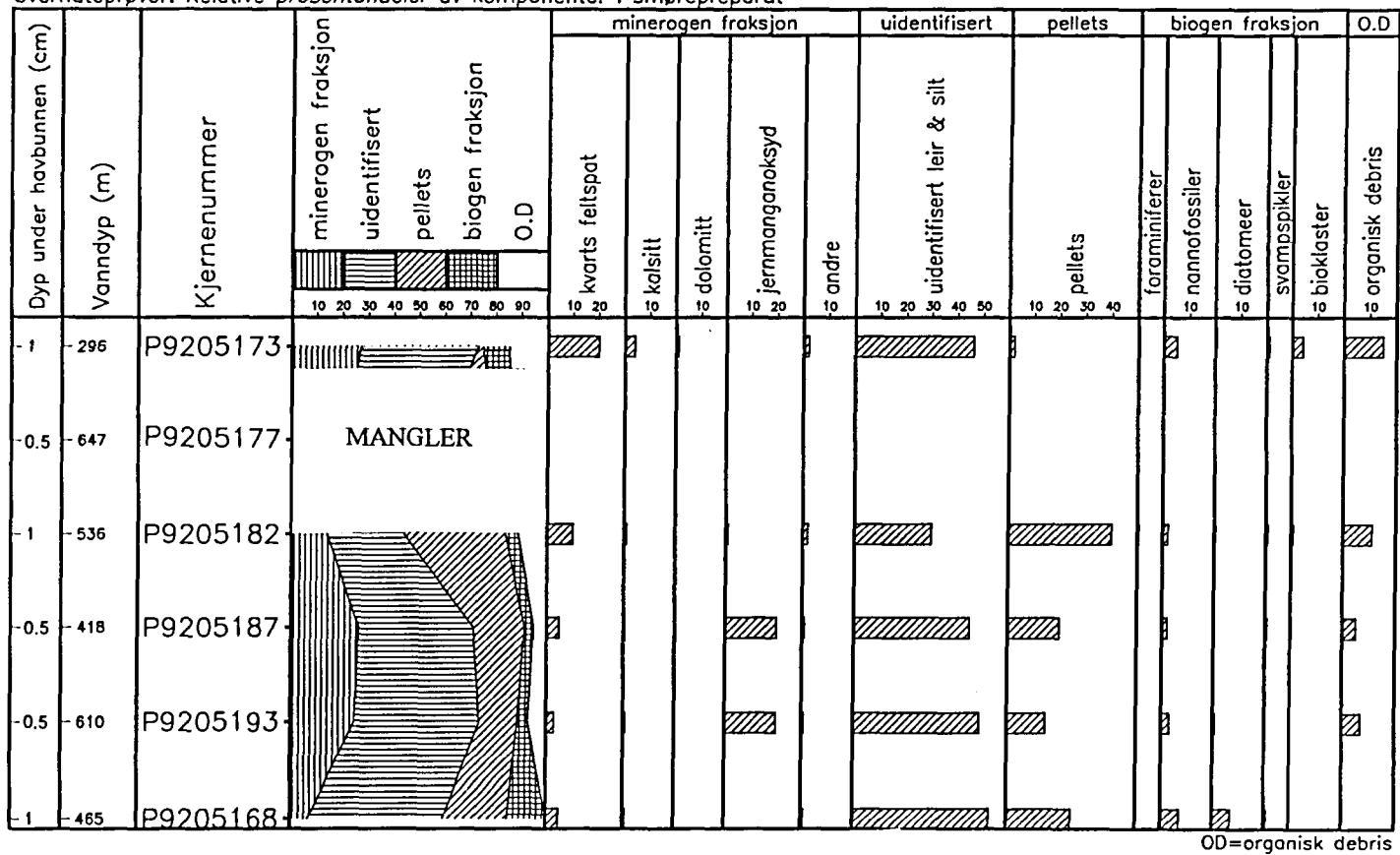
**SKAGERRAK–TRASE F NIEMISTÖPRØVETAKER**  
 Overflateprøver. Relative prosentandeler av komponenter i smørepreparat



SKAGERRAK-TRASE G NIEMISTÖPRØVETAKER  
Overflateprøver. Relative prosentandeler av komponenter i smørepreparat

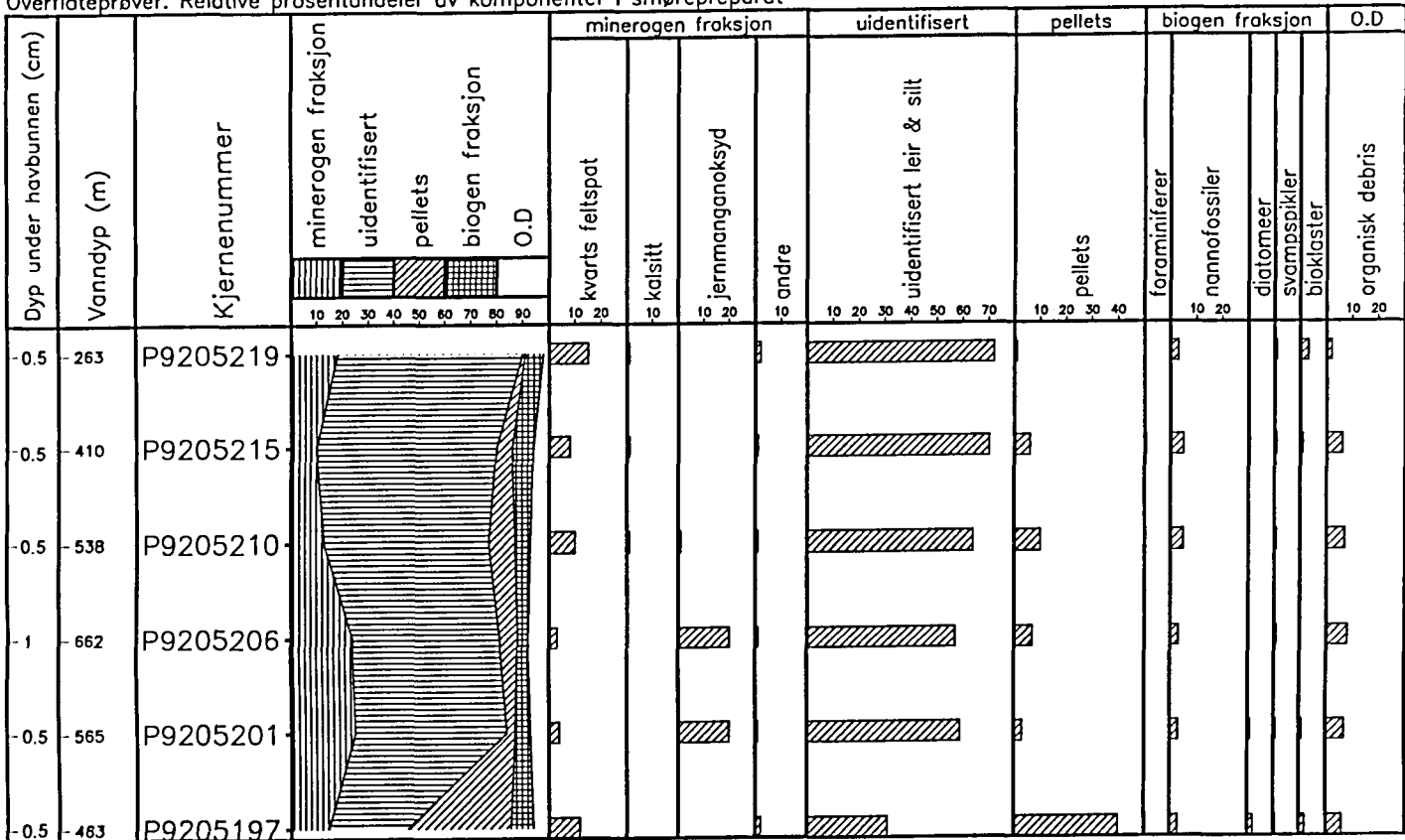


SKAGERRAK-TRASE H NIEMISTÖPRØVETAKER  
Overflateprøver. Relative prosentandeler av komponenter i smørepreparat

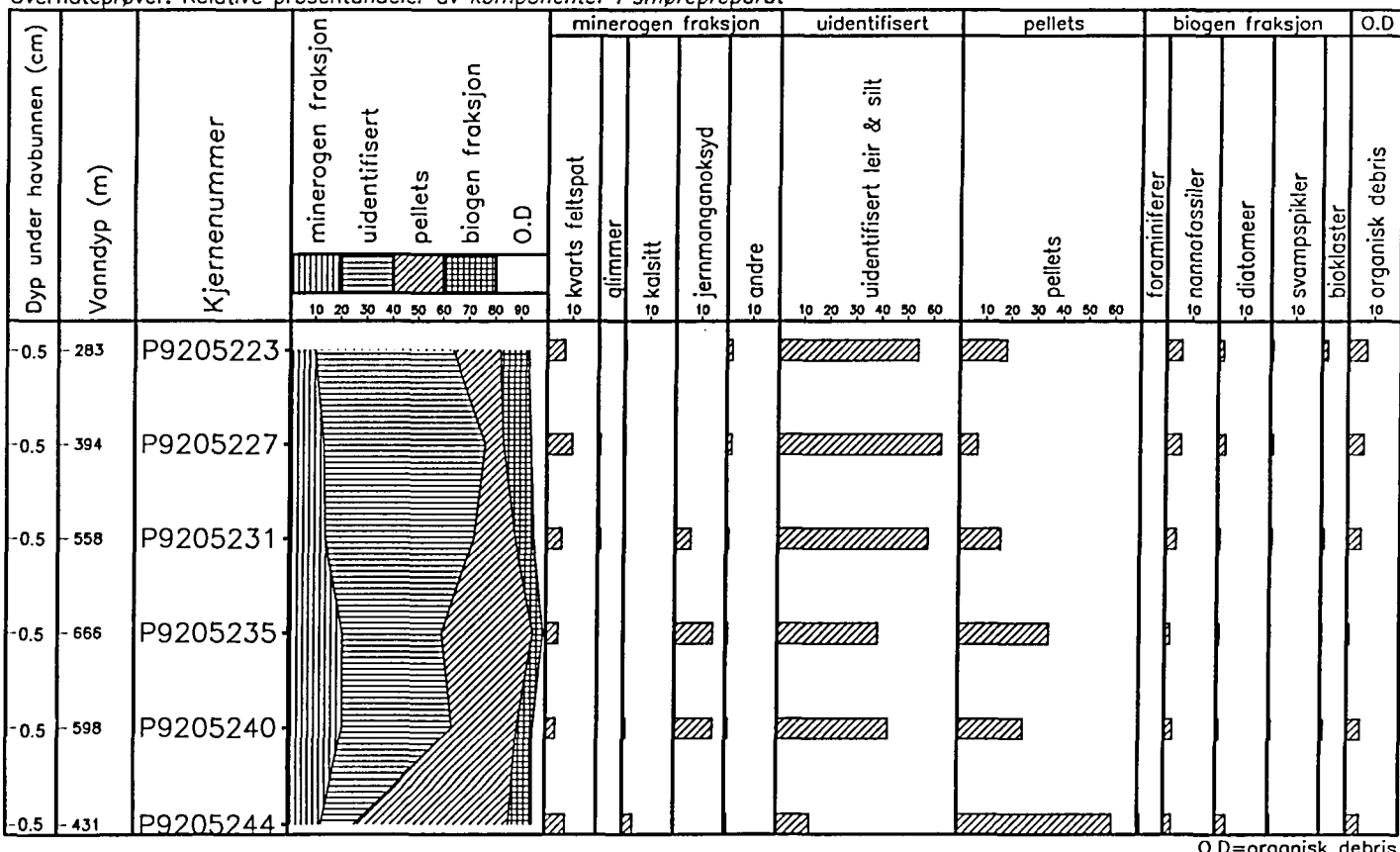


OD=organisk debris

**SKAGERRAK-TRASE I. NIEMISTÖPRØVETAKER**  
Overflateprøver. Relative prosentandeler av komponenter i smørepreparesat

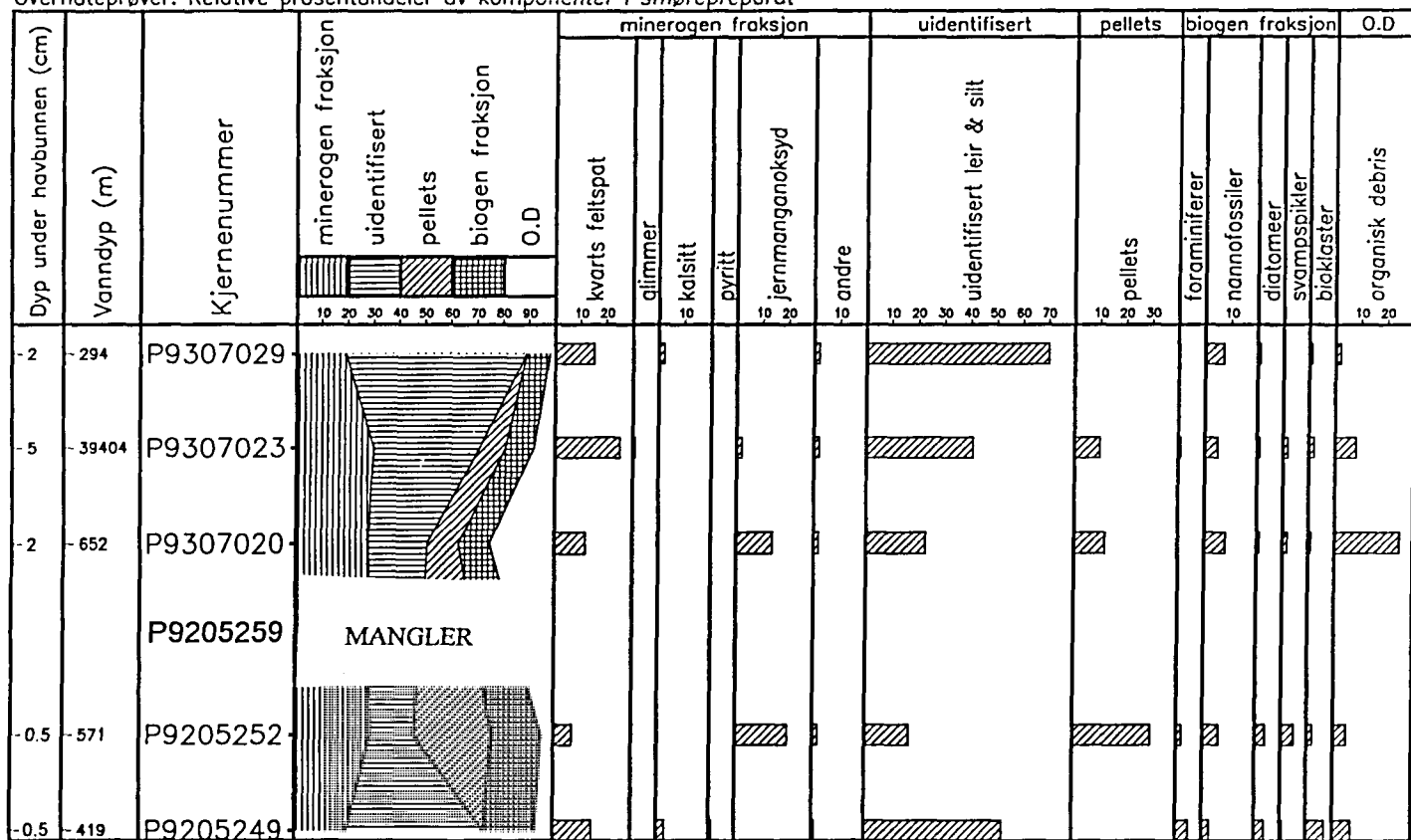


**SKAGERRAK-TRASE J NIEMISTÖPRØVETAKER**  
Overflateprøver. Relative prosentandeler av komponenter i smørepreparesat



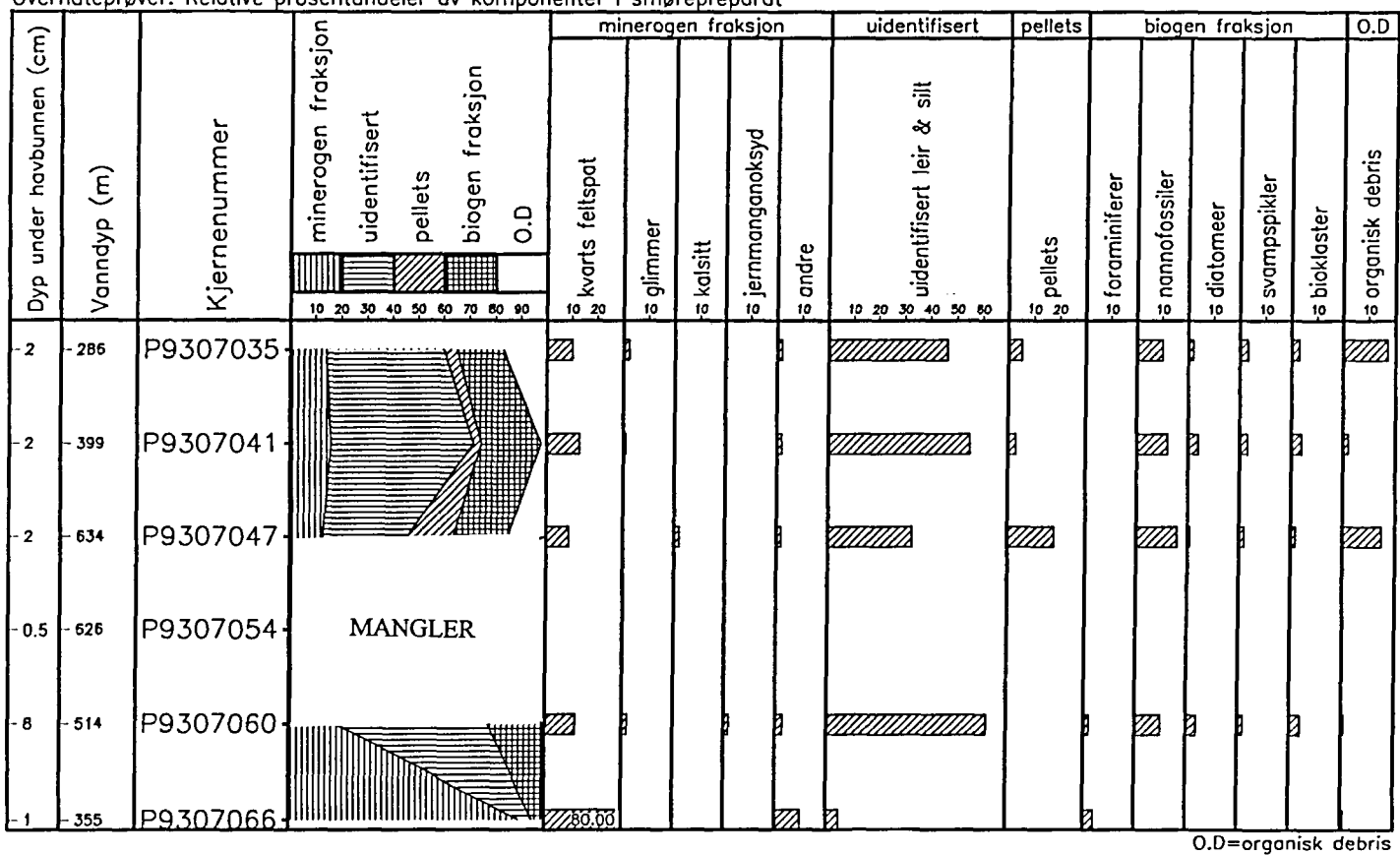
**SKAGERRAK-TRASE K NIEMISTØPRØVETAKER**

Overflateprøver. Relative prosentandeler av komponenter i smørepreparat



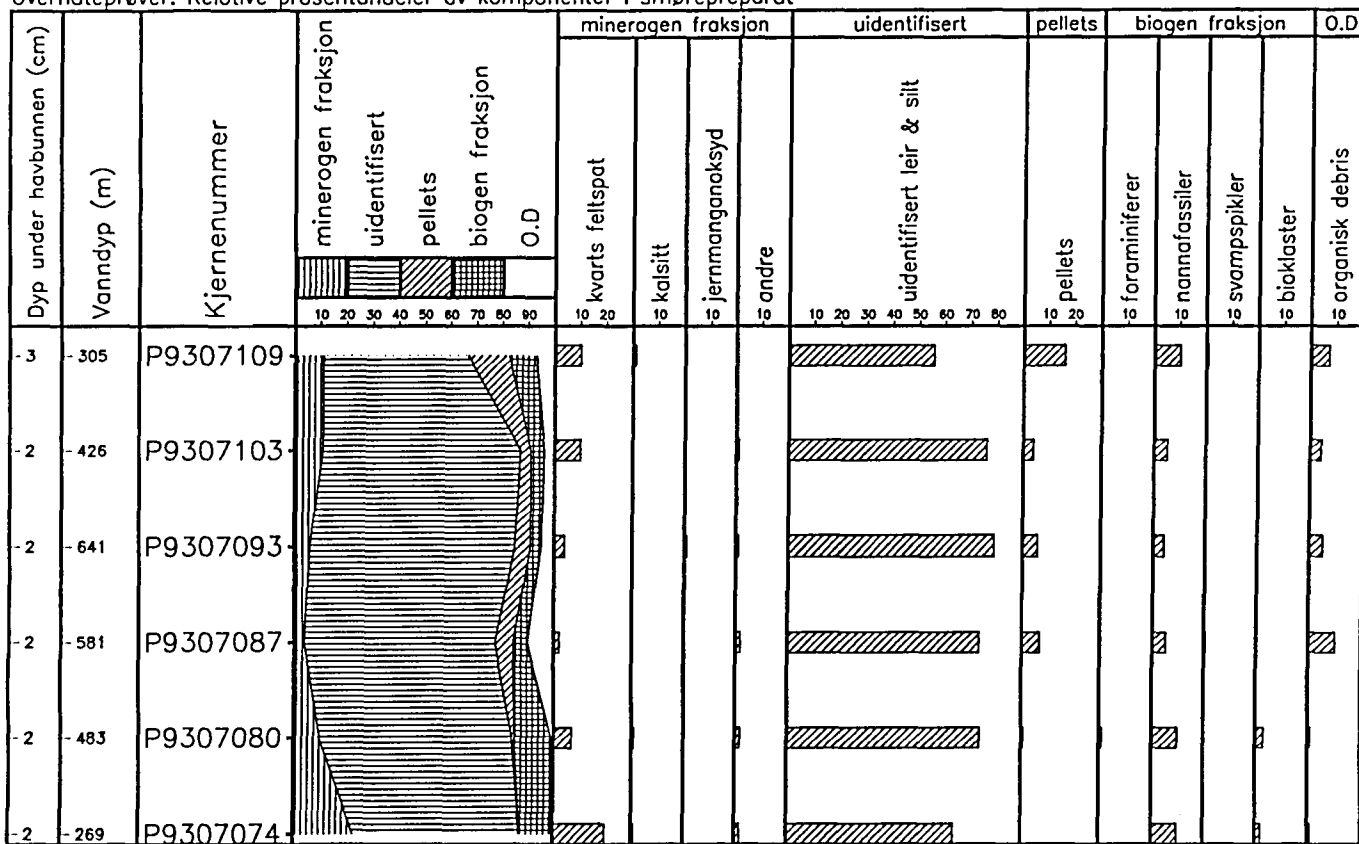
**SKAGERRAK-TRASE L NIEMISTØPRØVETAKER**

Overflateprøver. Relative prosentandeler av komponenter i smørepreparat

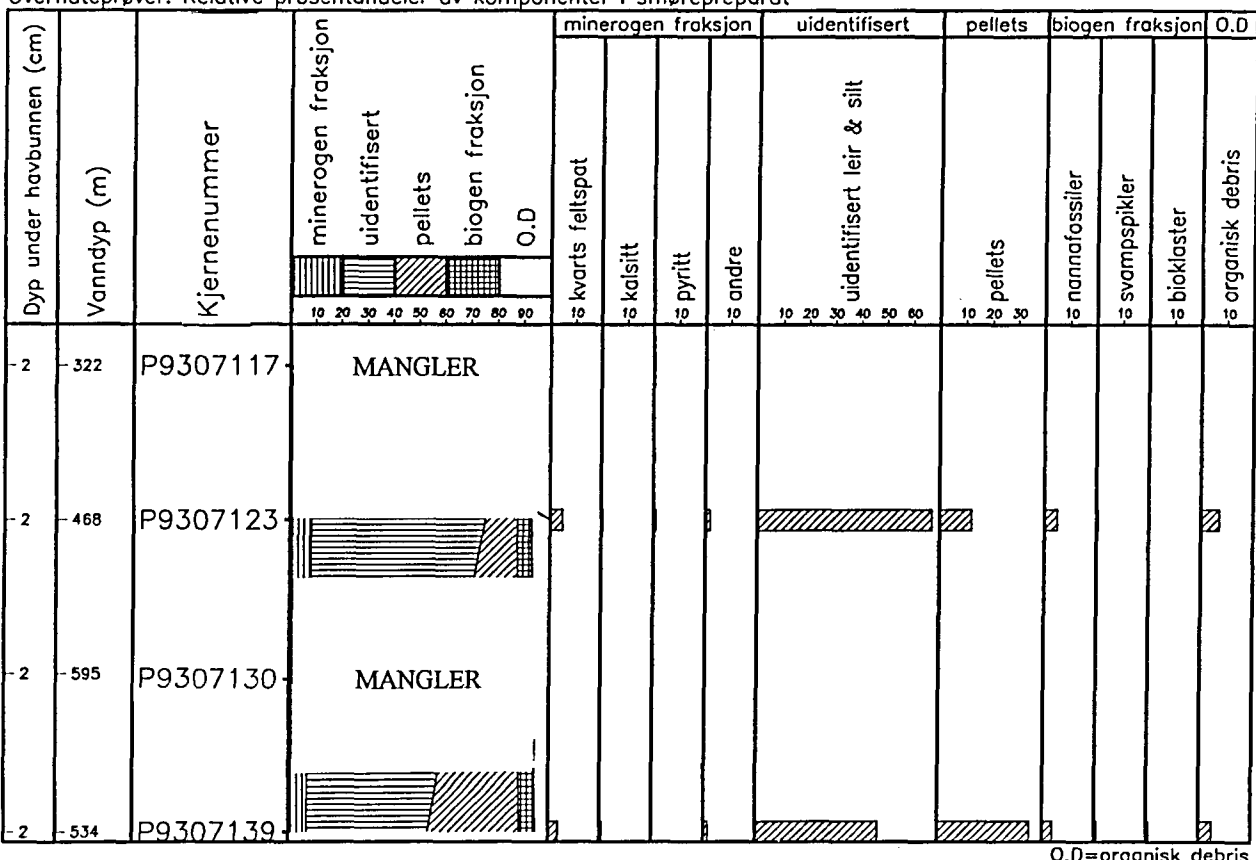


O.D=organisk debris

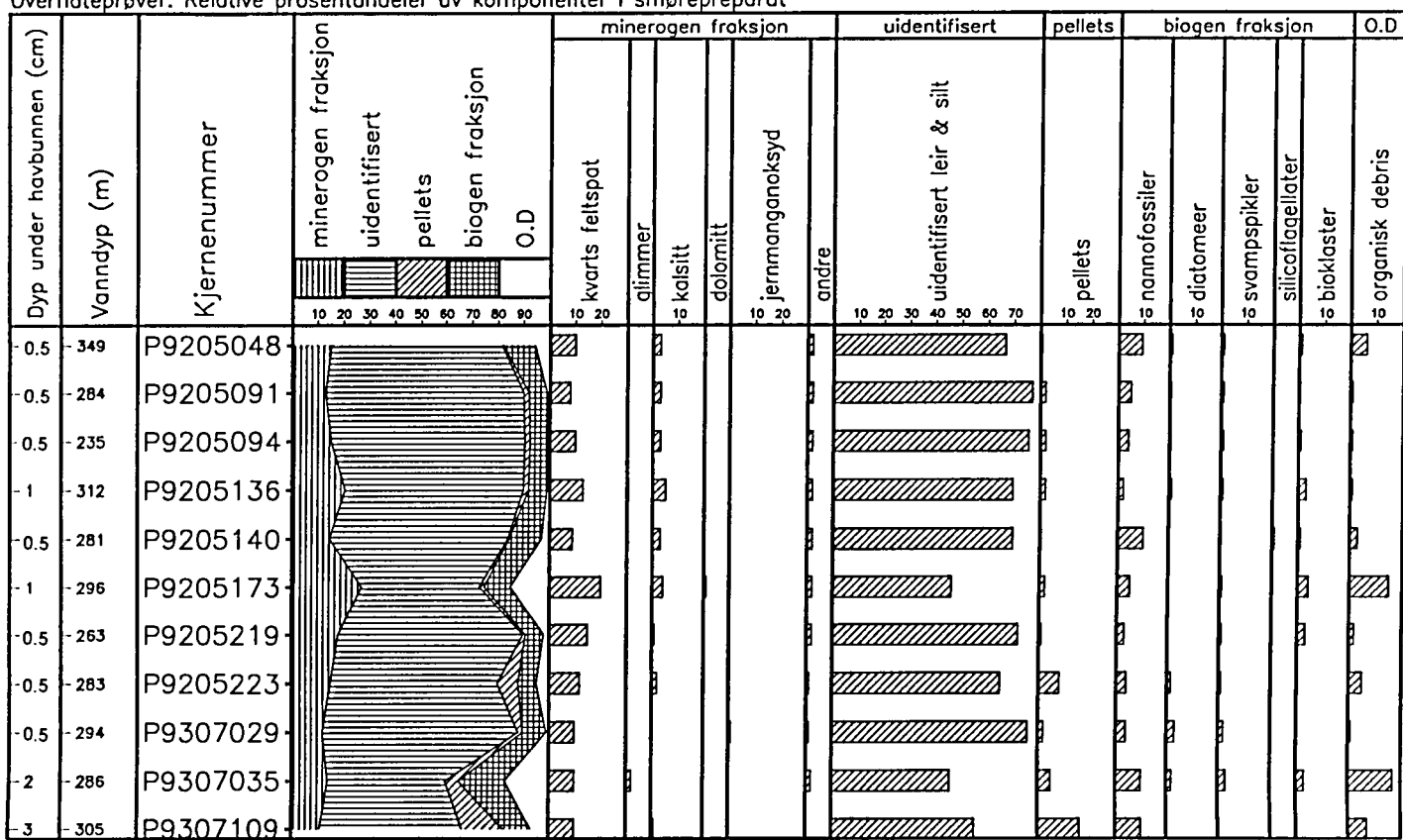
SKAGERRAK-TRASE M NIEMISTÖPRØVETAKER  
Overflateprøver. Relativ prosentandeler av komponenter i smøreprepreat



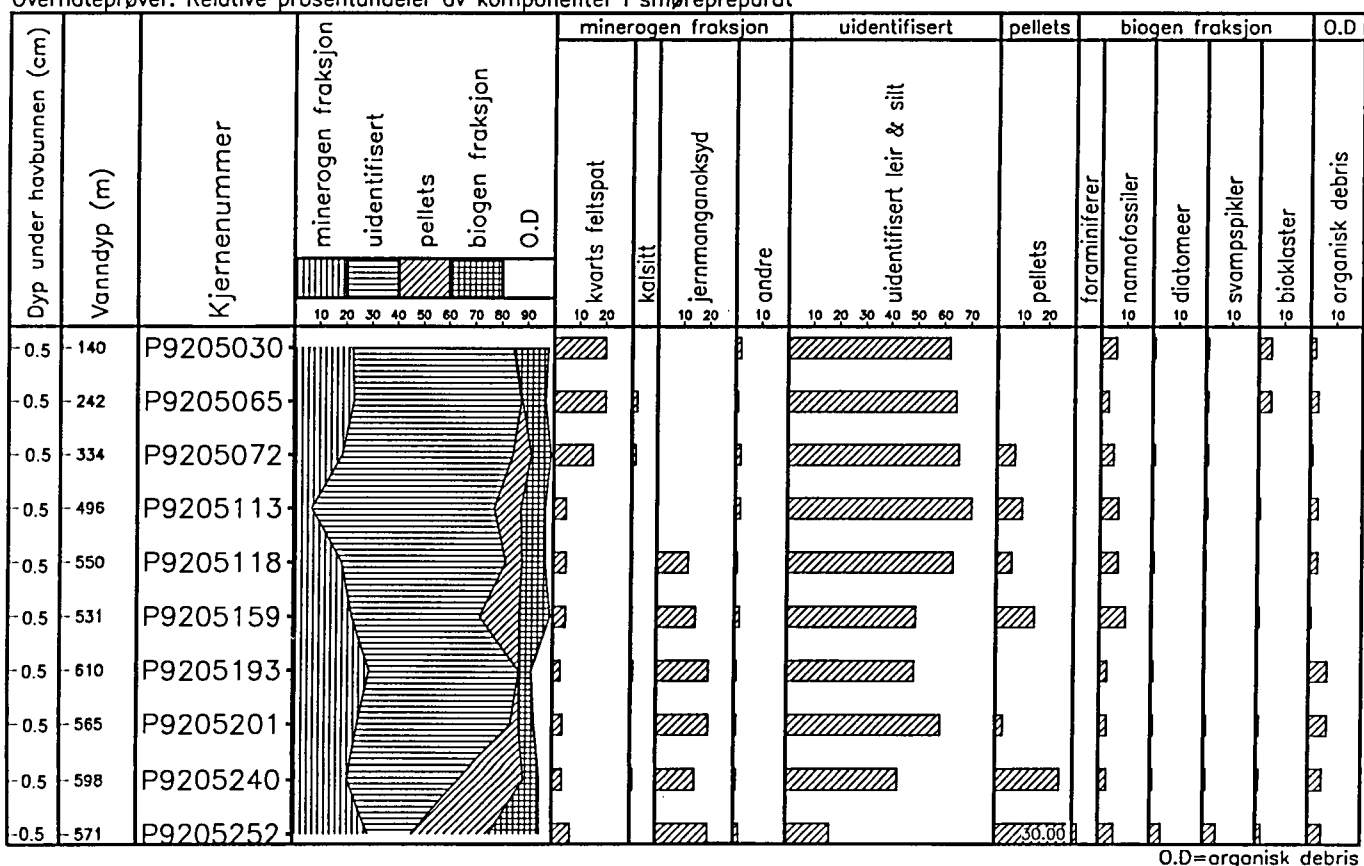
SKAGERRAK-TRASE N NIEMISTÖPRØVETAKER  
Overflateprøver. Relative prosentandeler av komponenter i smøreprepreat



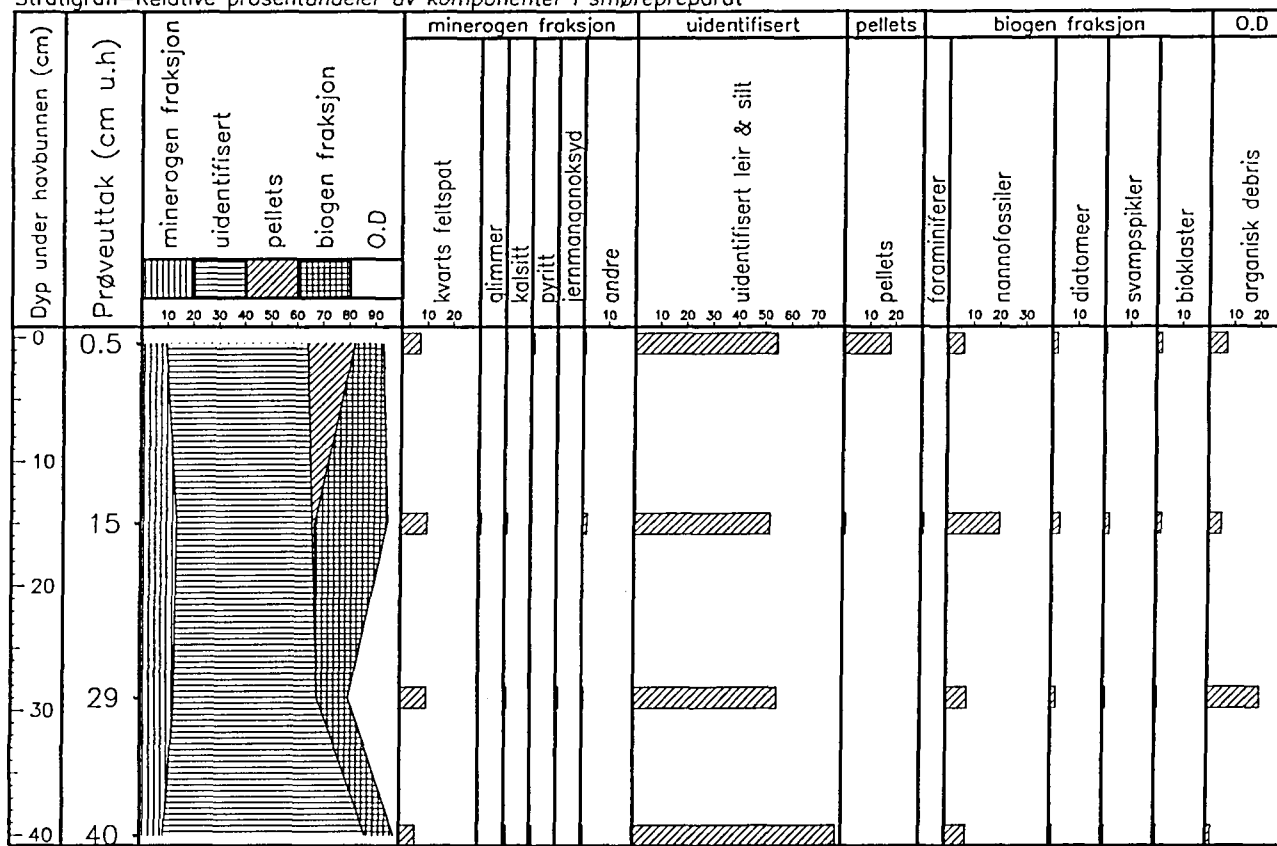
**SKAGERRAK-TRASE O NIEMISTÖPRØVETAKER**  
Overflateprøver. Relative prosentandeler av komponenter i smørepreparat



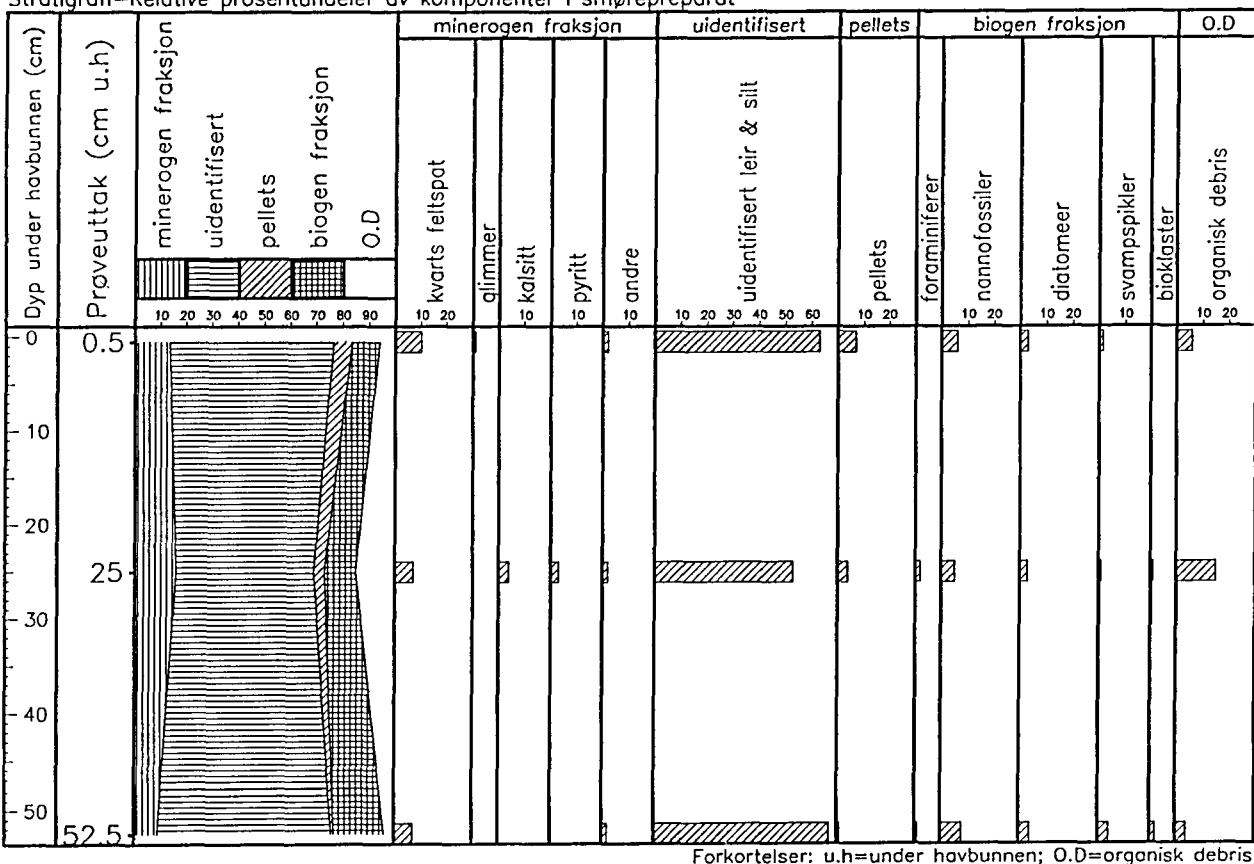
**SKAGERRAK-TRASE S NIEMISTÖPRØVETAKER**  
Overflateprøver. Relative prosentandeler av komponenter i smørepreparat



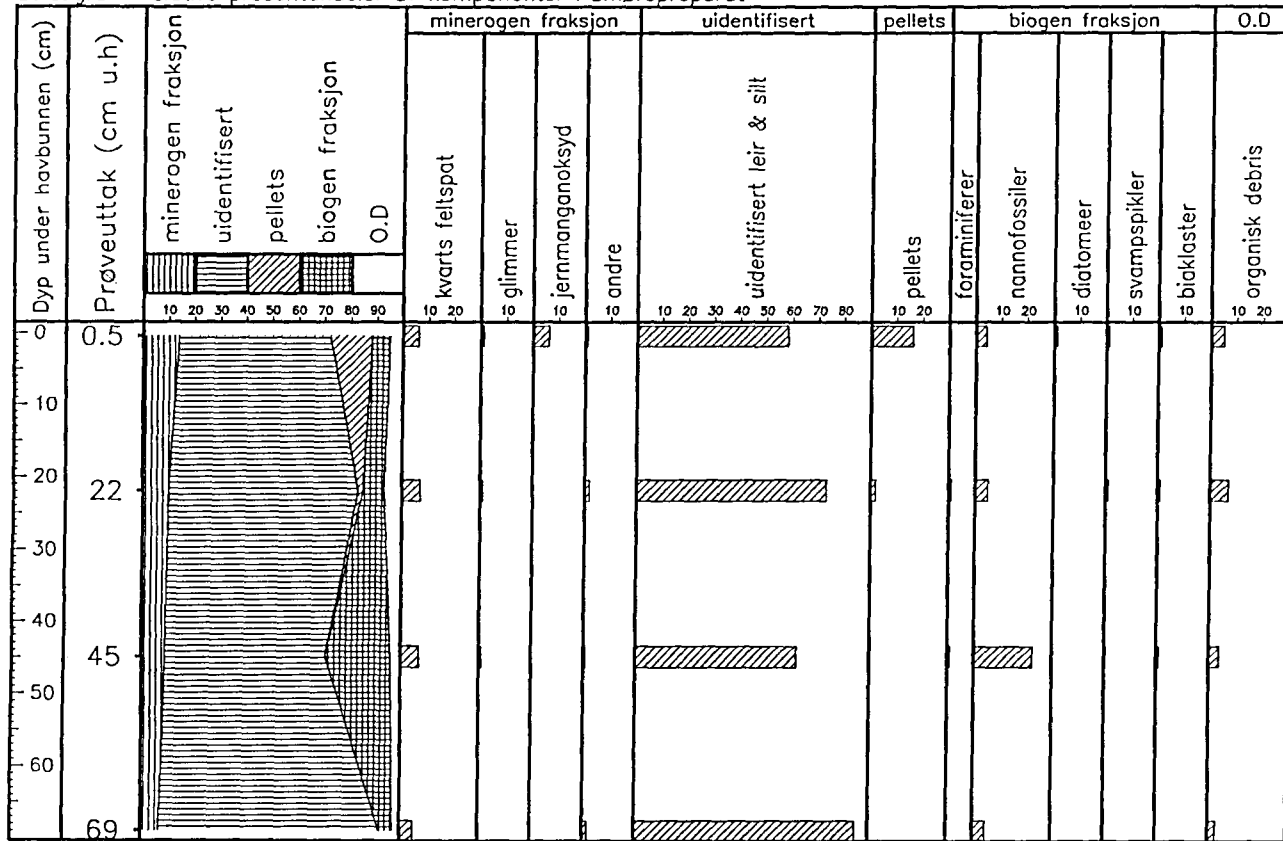
SKAGERRAK P9205223 (Niemistöprøvetaker) Vanndyp: 283m  
 Stratigrafi-Relative prosentandeler av komponenter i smøreprepares



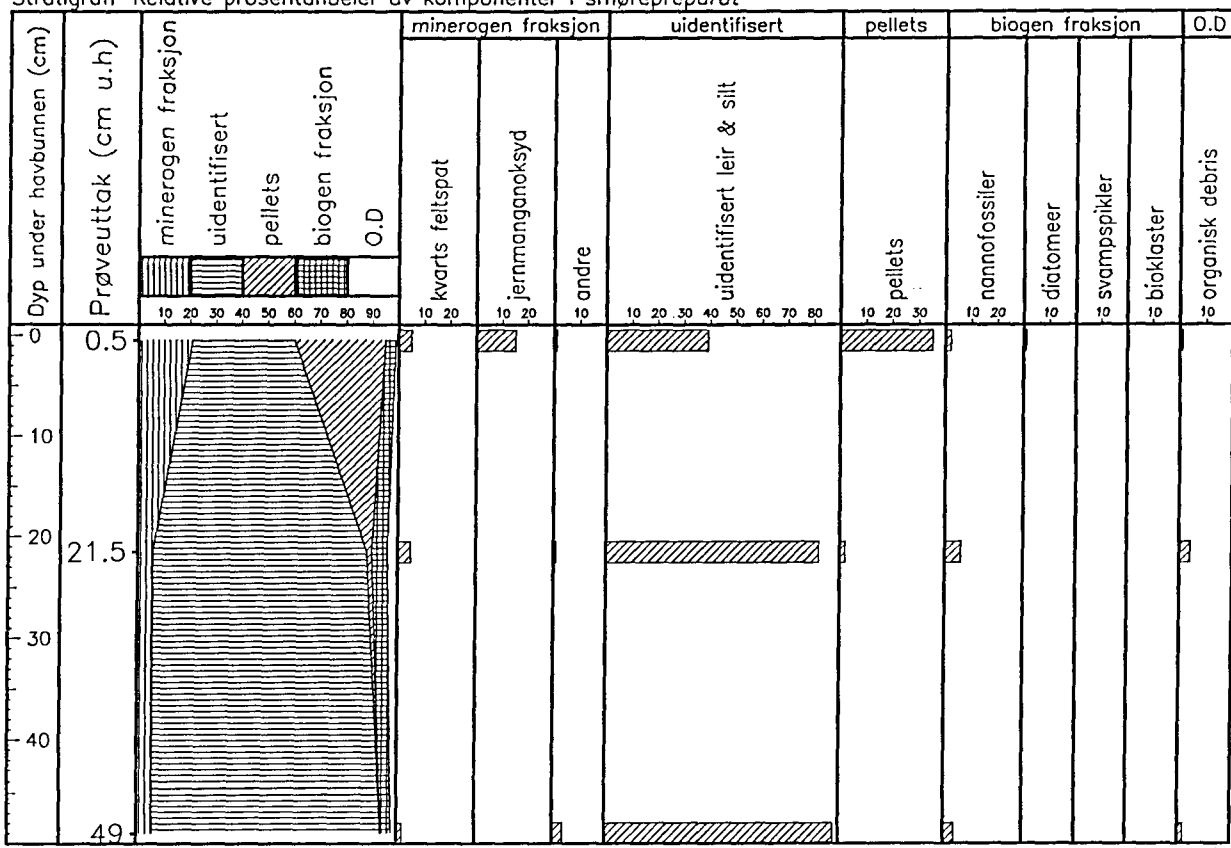
SKAGERRAK P9205227 (Niemistöprøvetaker) Vanndyp: 394m  
 Stratigrafi-Relative prosentandeler av komponenter i smøreprepares



**SKAGERRAK P9205231** (Niemistöprøvetaker) Vanndyp: 558m  
Stratigrafi-Relative prosentandeler av komponenter i smørep reparat

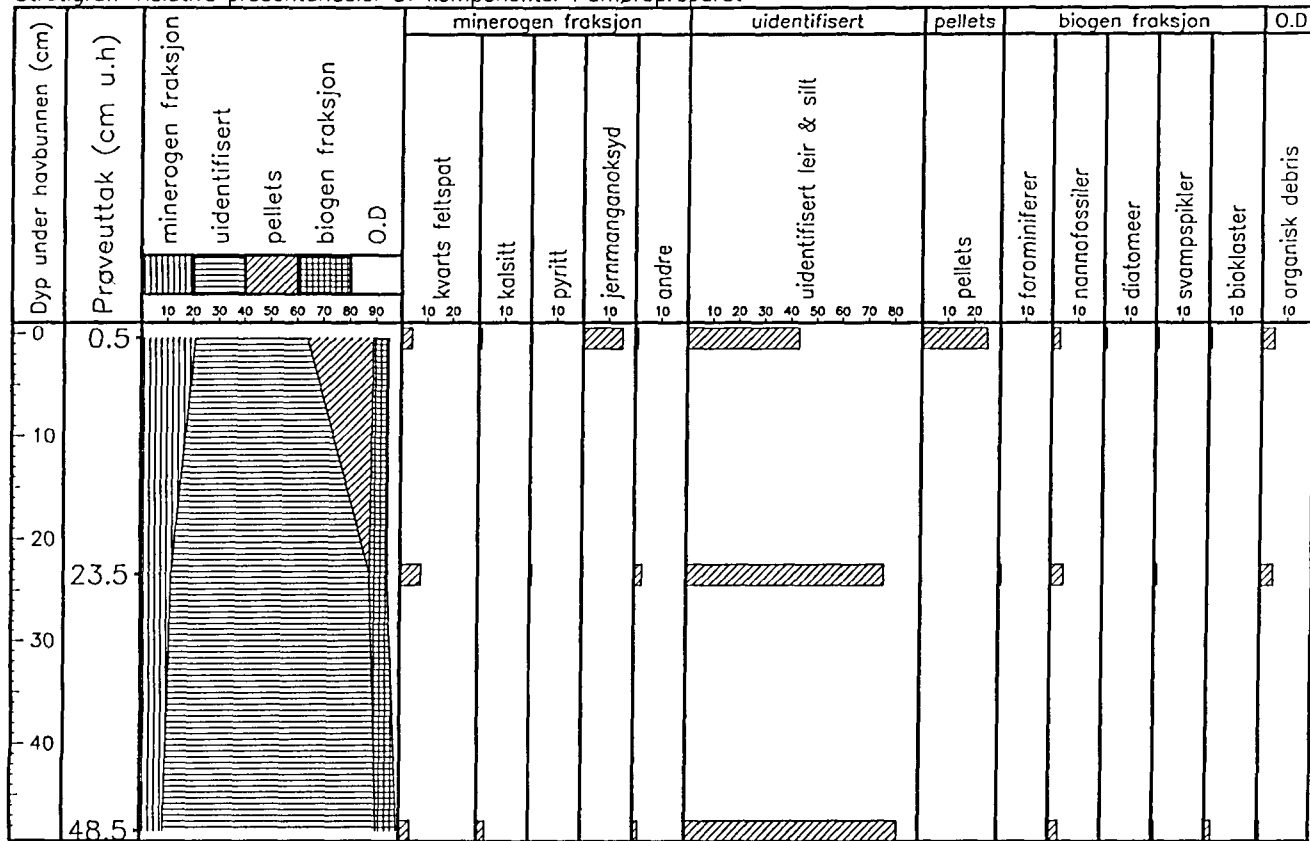


SKAGERRAK P9205235 (Niemistöprøvetaker) Vanndyp: 666m  
Stratigrafi—Relative prosentandeler av komponenter i smøreprøparat

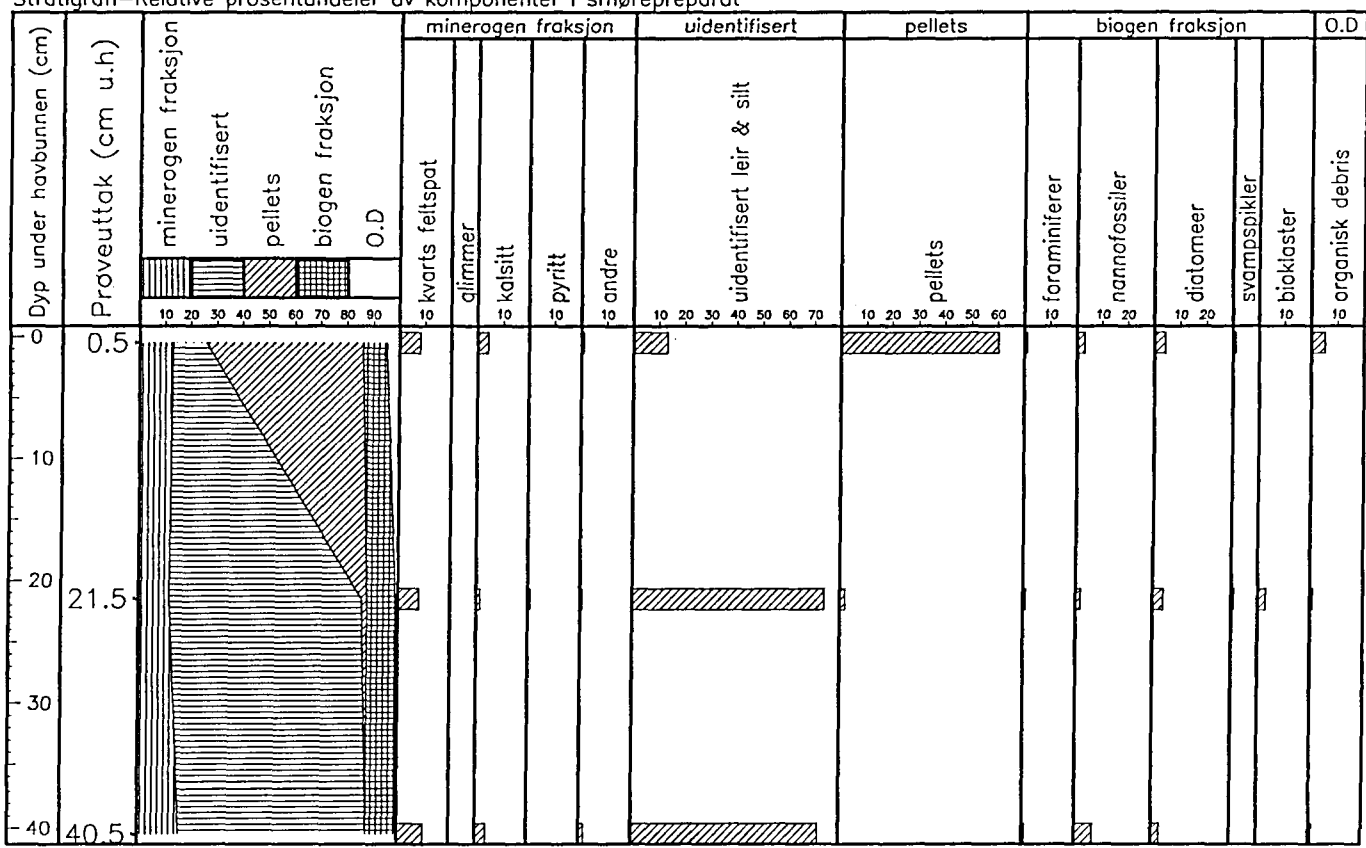


Forkortelser: u.h=under havbunnen; O.D=organisk debris

SKAGERRAK P9205240 (Niemistöprøvetaker) Vanndyp: 598m  
Stratigrafi—Relative prosentandeler av komponenter i smøreprepreat

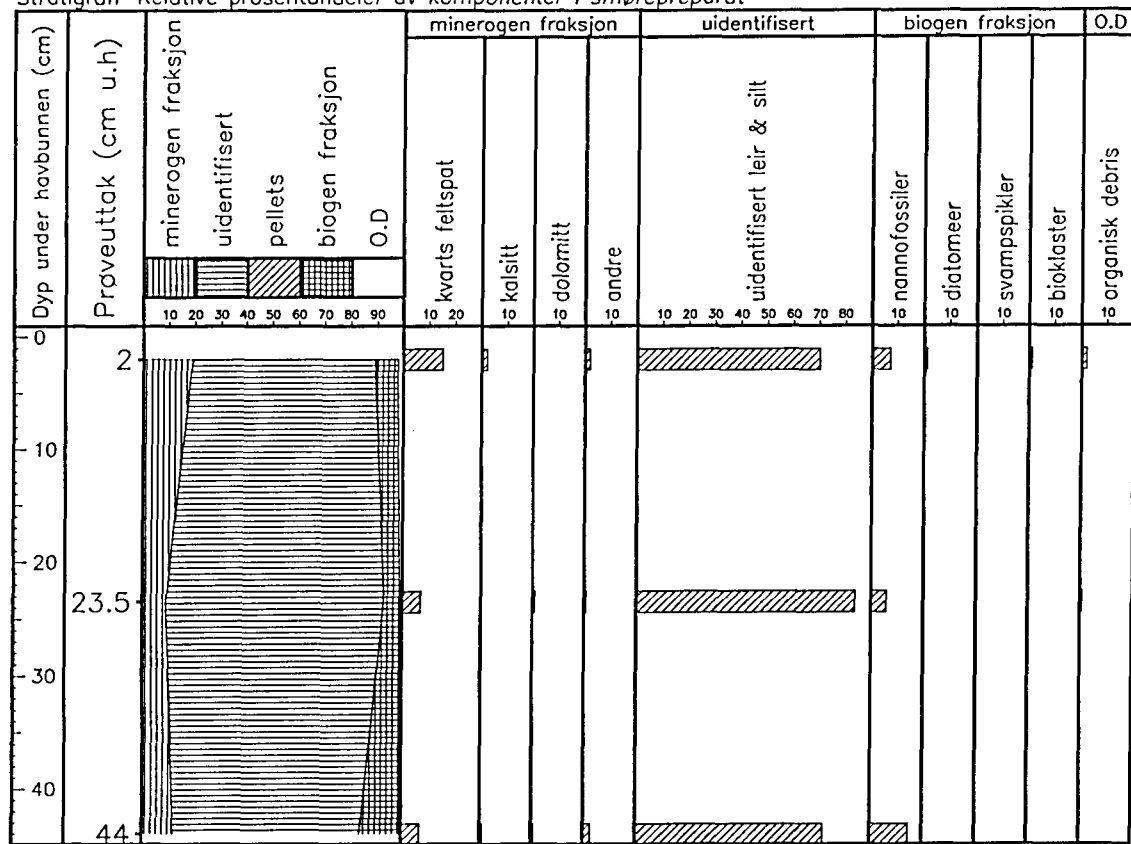


SKAGERRAK P9205244 (Niemistöprøvetaker) Vanndyp: 431m  
Stratigrafi—Relative prosentandeler av komponenter i smøreprepreat

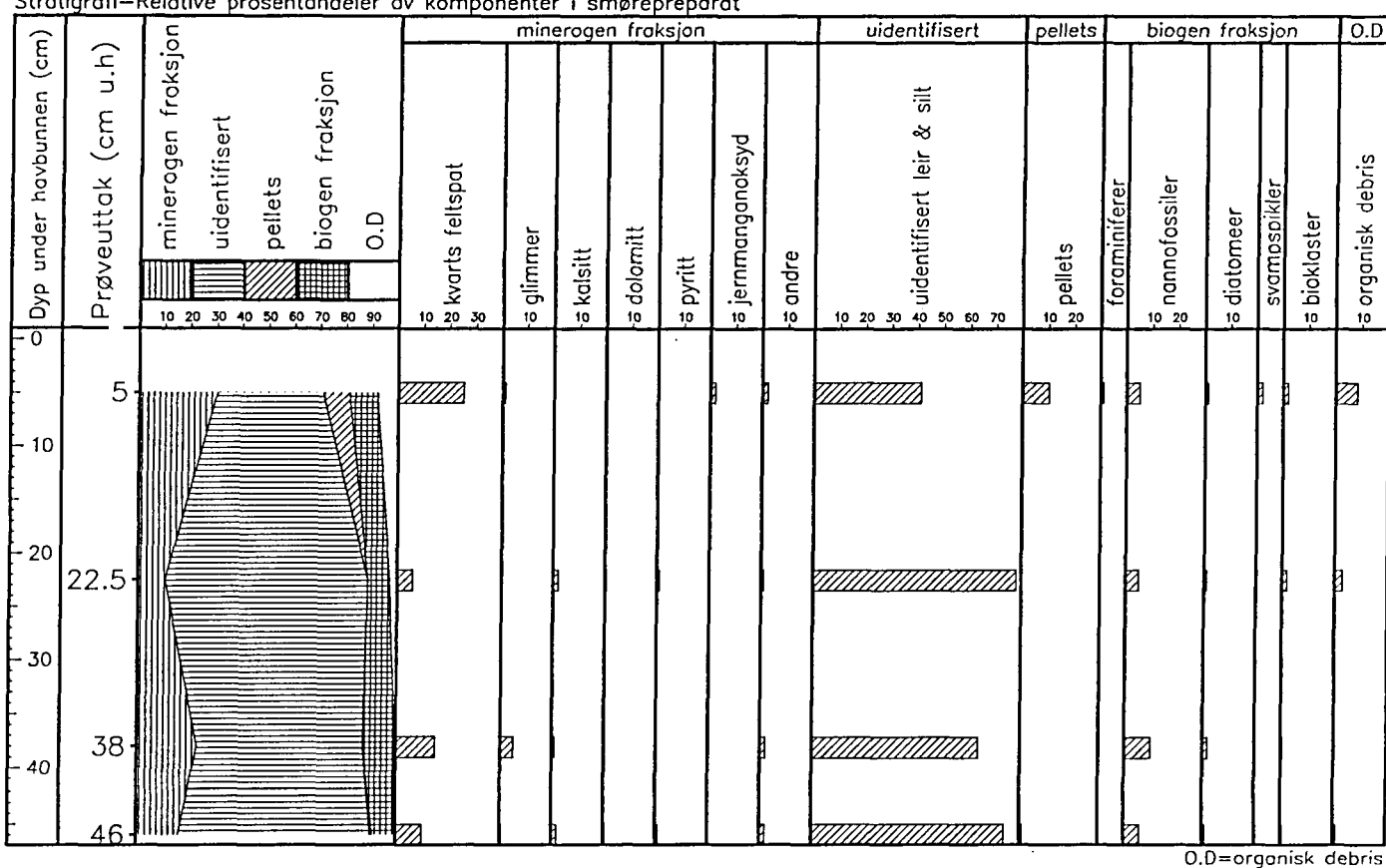


Forkortelser: u.h=under havbunnen; O.D=organisk debris

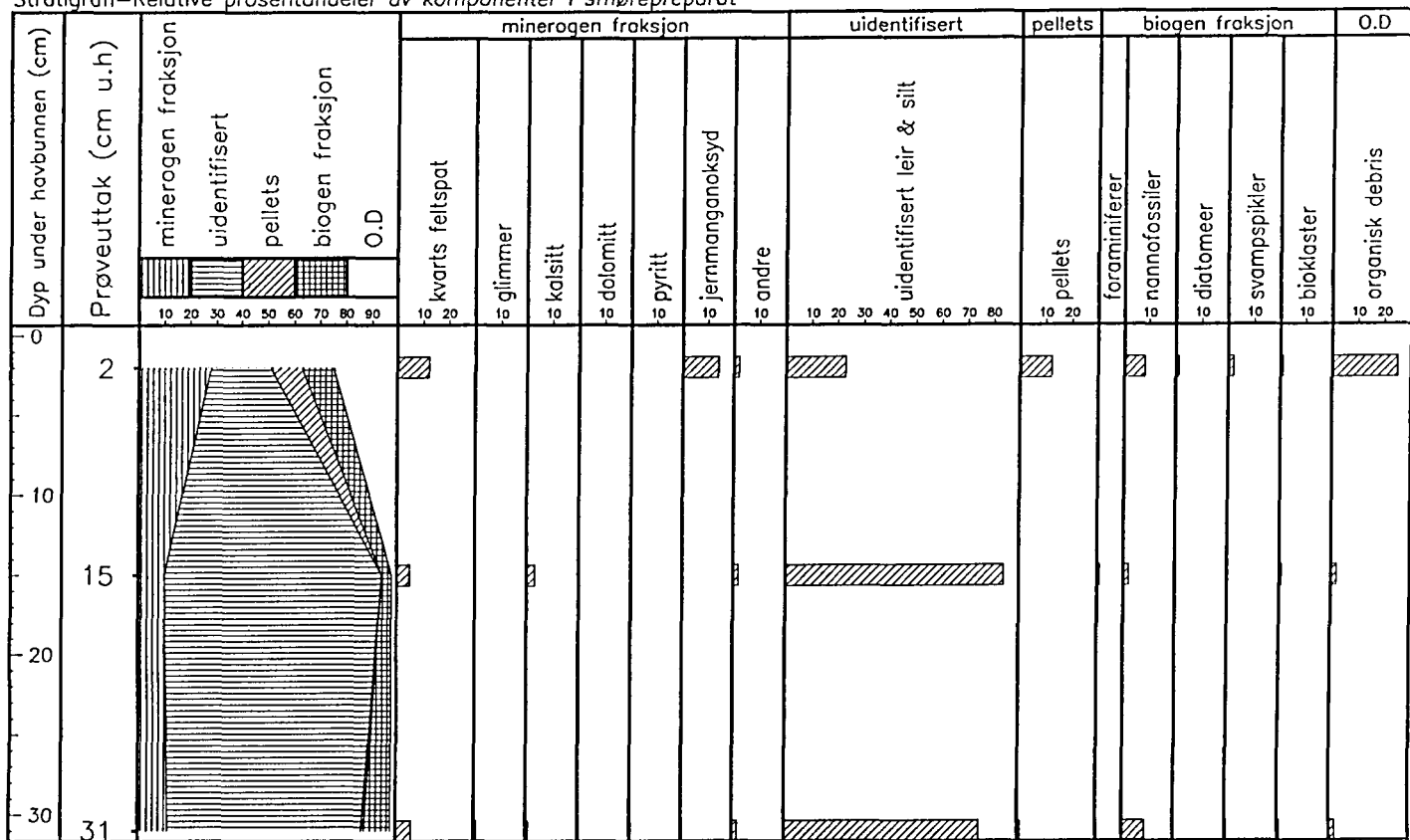
SKAGERRAK P9307029 (Niemistöprøvetaker) Vanndyp: 294m  
Stratigrafi-Relative prosentandeler av komponenter i smørepreparat



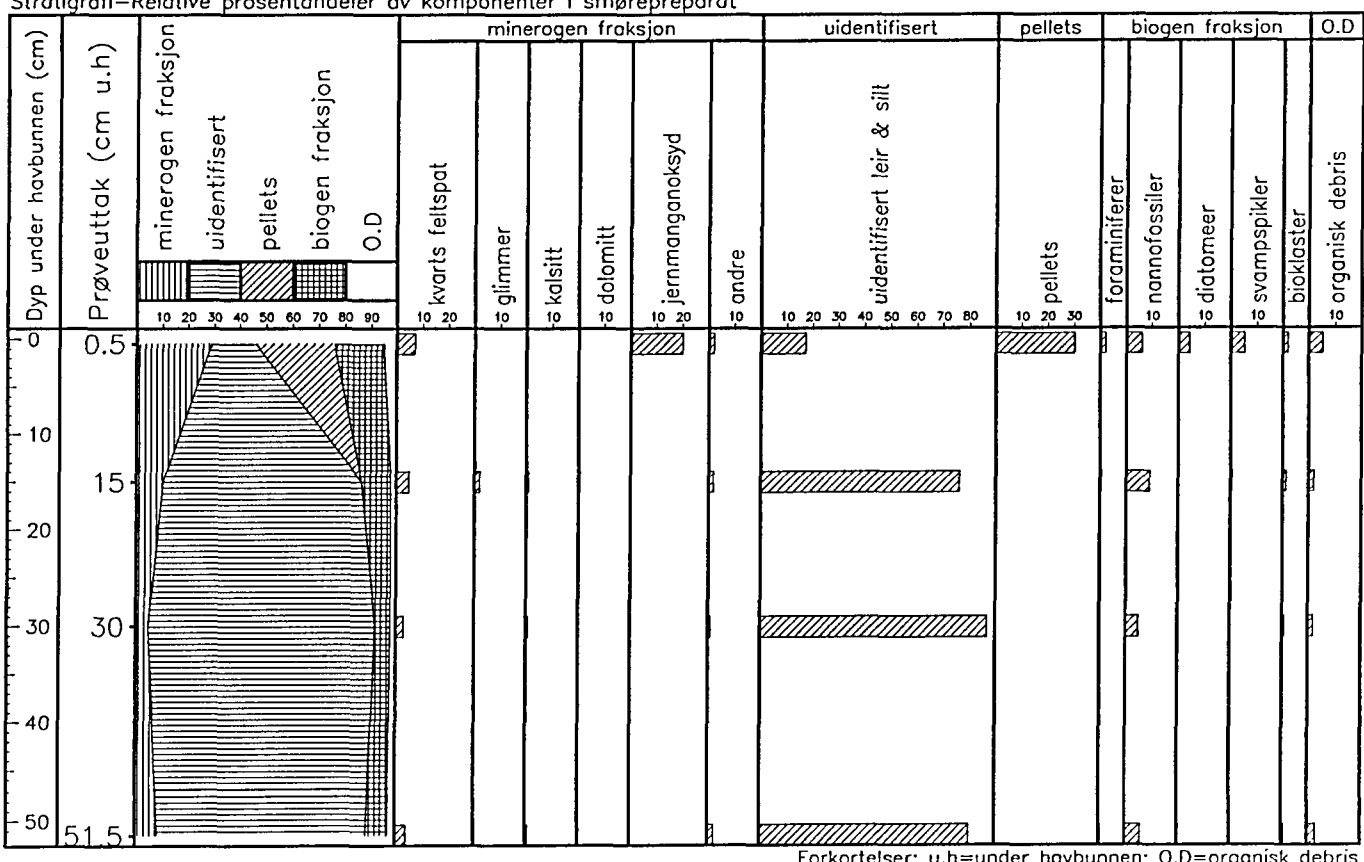
SKAGERRAK P9307023 (Niemistöprøvetaker) Vanndyp: 404m  
Stratigrafi-Relative prosentandeler av komponenter i smørepreparat



SKAGERRAK P9307020 (Niemistöprøvetaker) Vanndyp: 652m  
Stratigrafi–Relative prosentandeler av komponenter i smørepreparet

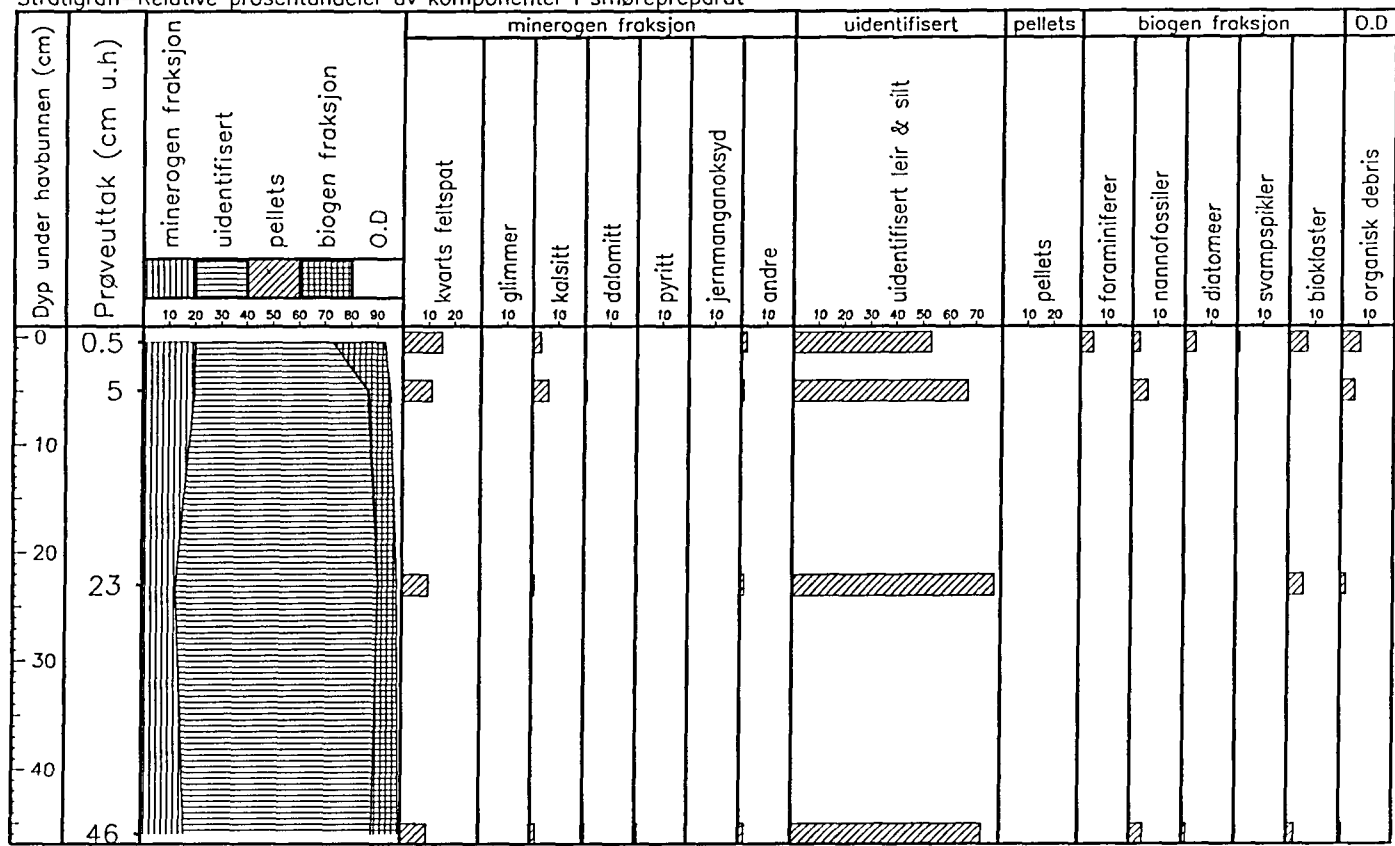


SKAGERRAK P9205252 (Niemistöprøvetaker) Vanndyp: 571m  
Stratigrafi–Relative prosentandeler av komponenter i smørepreparet

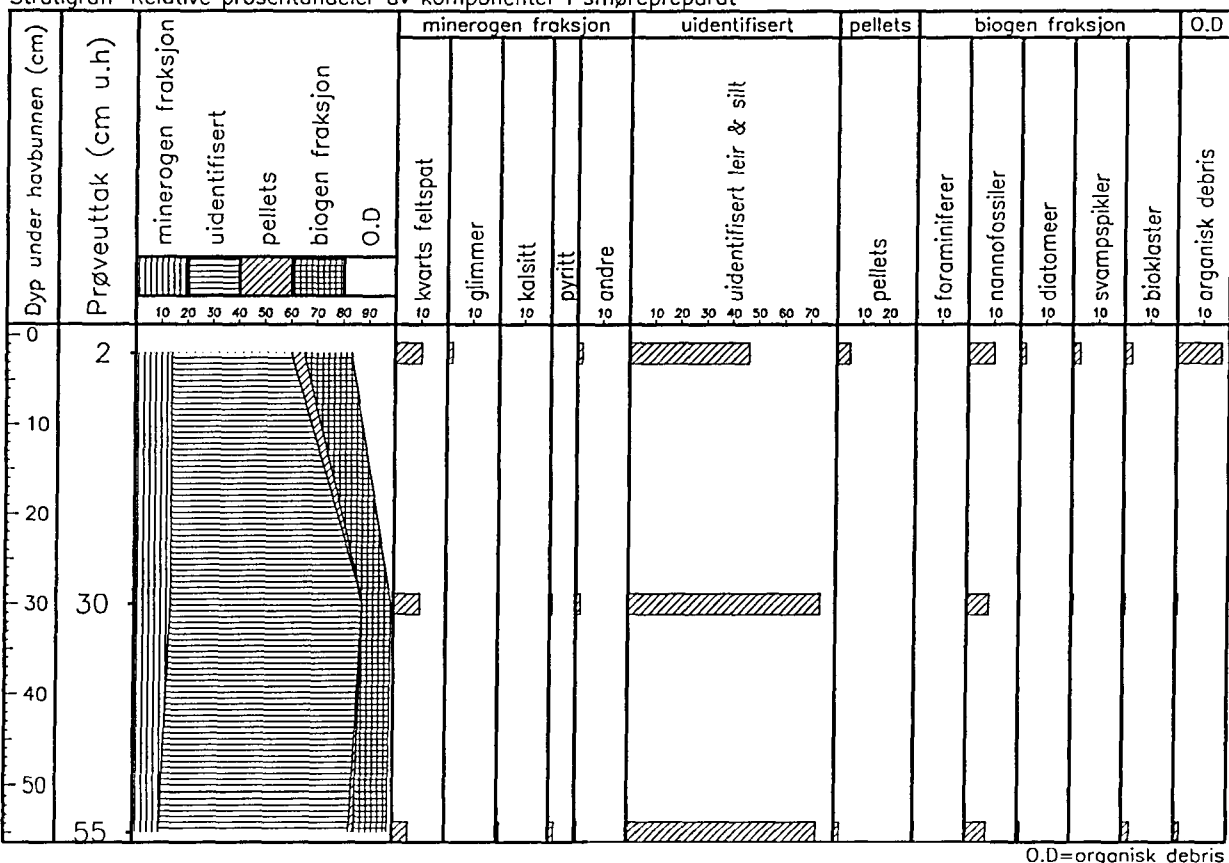


Forkortelser: u.h=under havbunnen; O.D.=organisk debritis

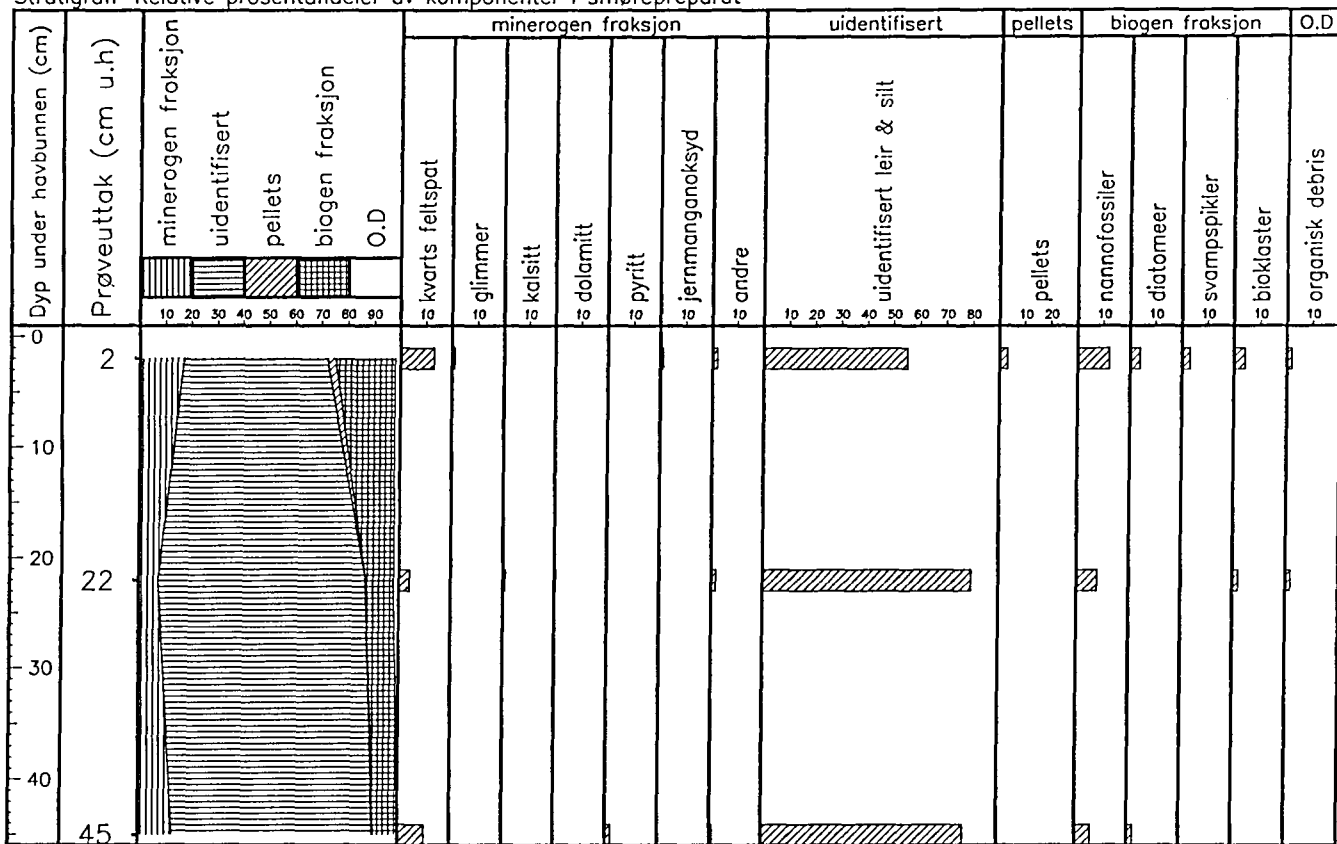
SKAGERRAK P9205249 (Niemistöprøvetaker) Vanndyp: 419m  
Stratigrafi—Relative prosentandeler av komponenter i smørepreparat



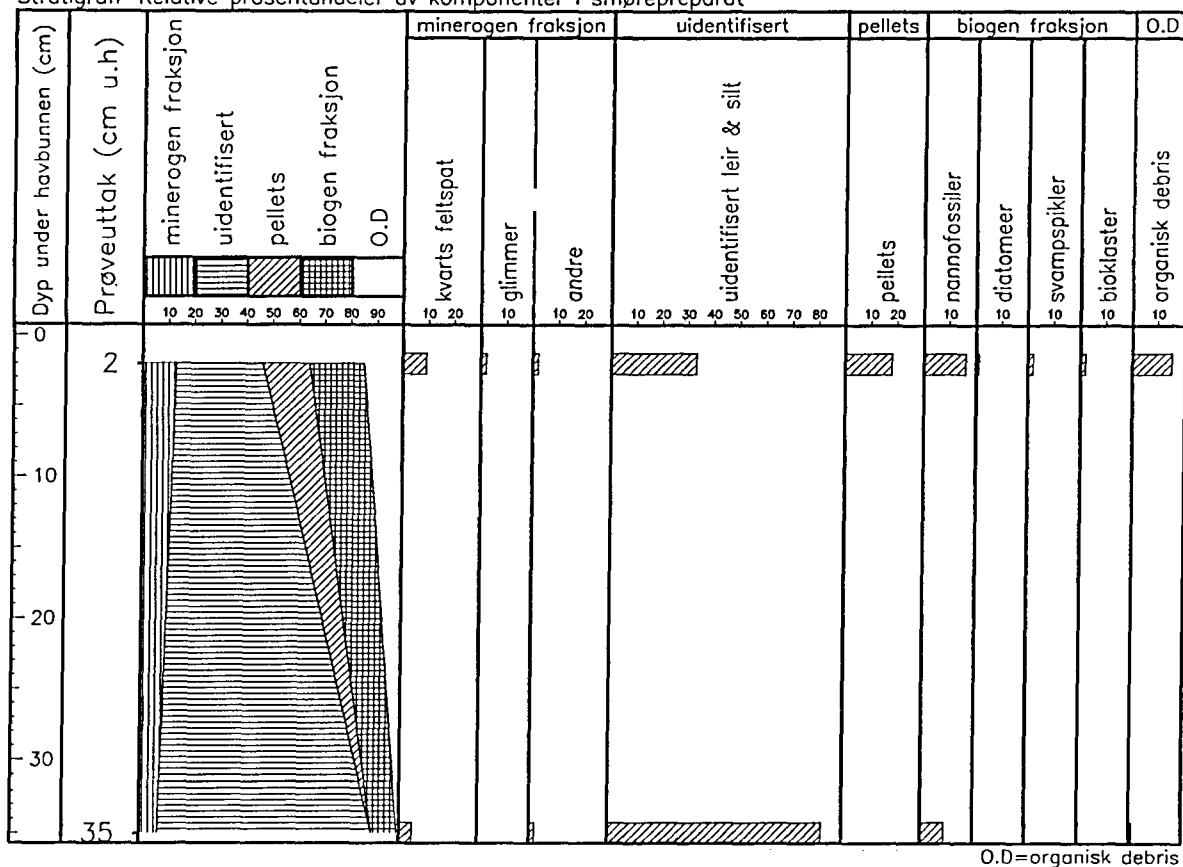
SKAGERRAK P9307035 (Niemistöprøvetaker) Vanndyp: 286m  
Stratigrafi—Relative prosentandeler av komponenter i smørepreparat



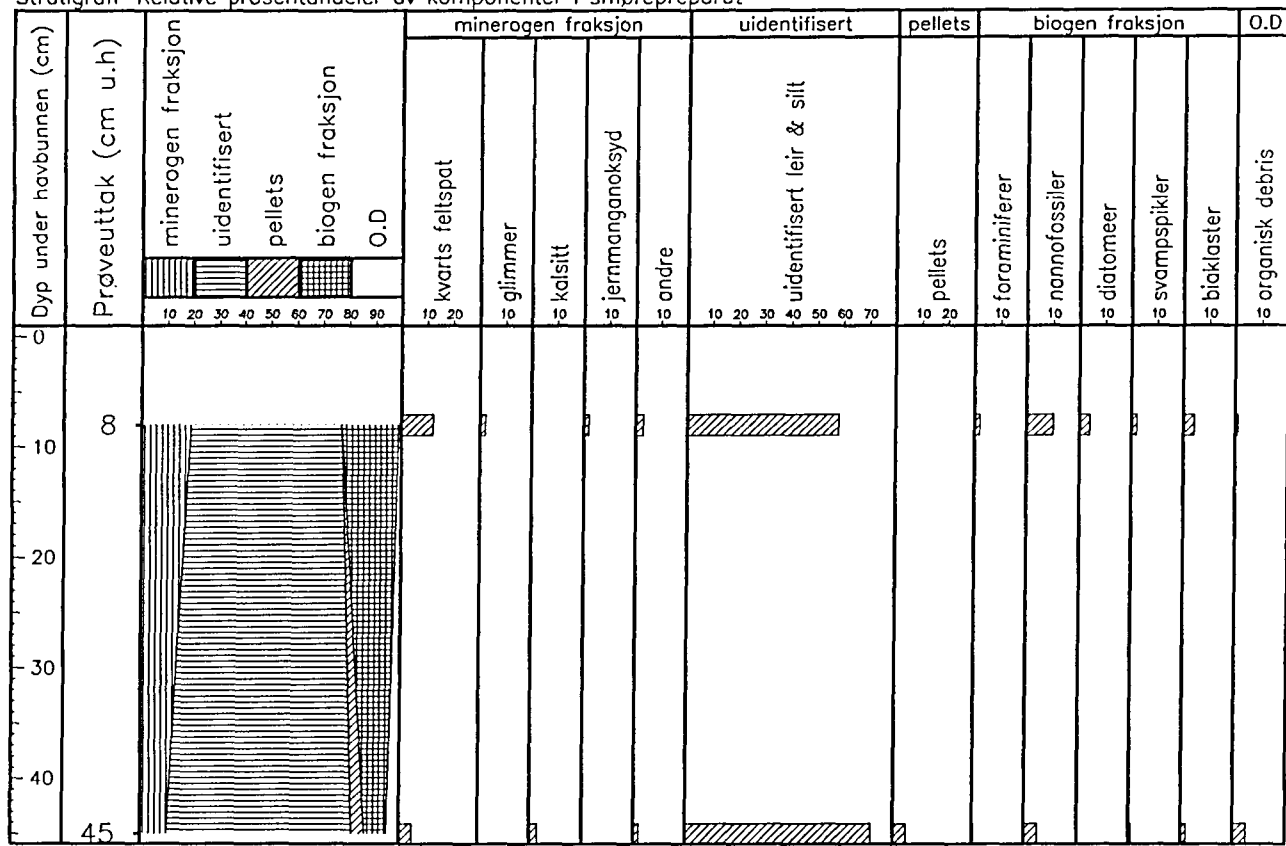
SKAGERRAK P9307041 (Niemistöprøvetaker) Vanndyp: 399m  
Stratigrafi—Relative prosentandeler av komponenter i smøreprepårat



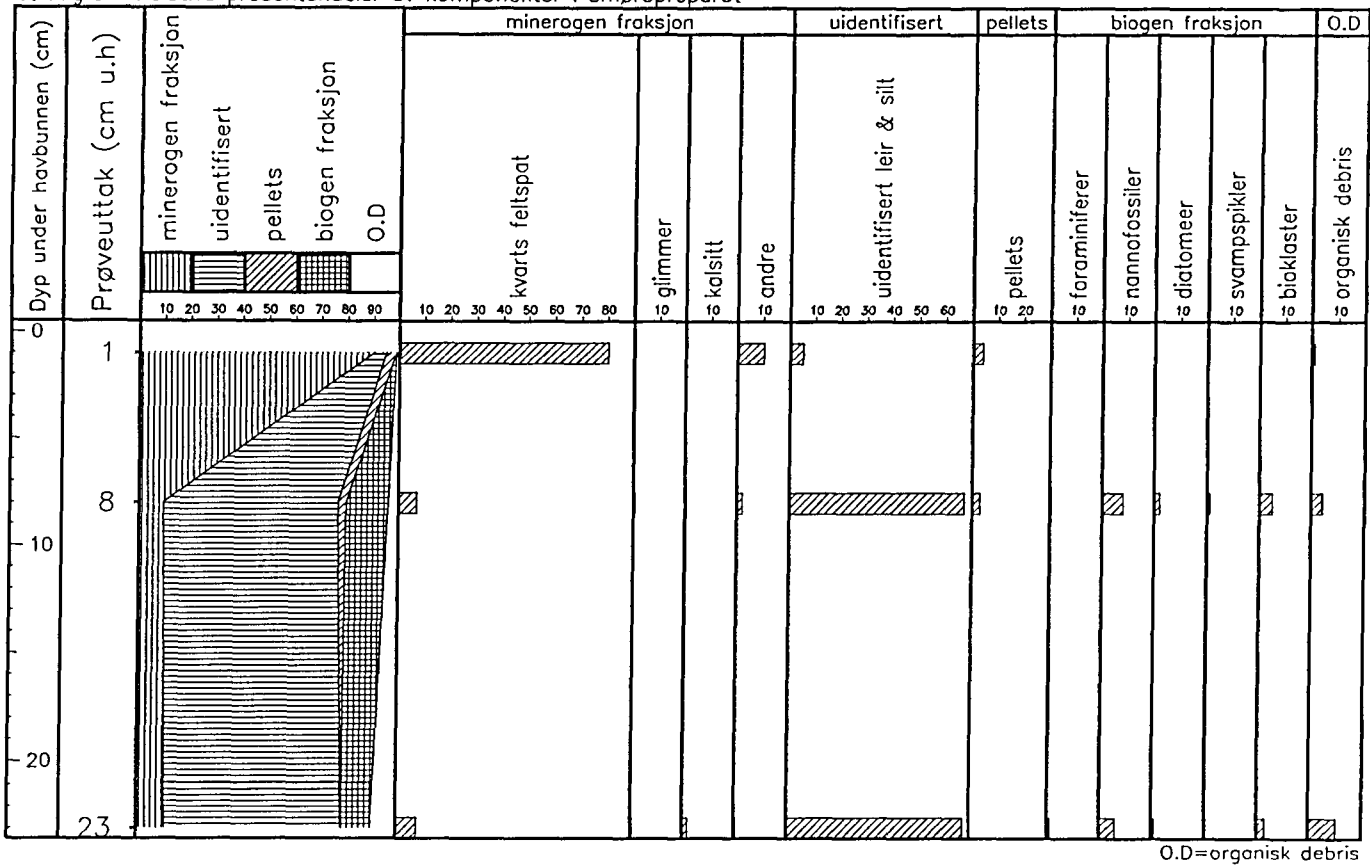
SKAGERRAK P9307047 (Niemistöprøvetaker) Vanndyp: 634m  
Stratigrafi—Relative prosentandeler av komponenter i smøreprepårat



SKAGERRAK P9307060 (Niemistöprøvetaker) Vanndyp: 514m  
Stratigrafi—Relative prosentandeler av komponenter i smørepreparet



SKAGERRAK P9307066 (Niemistöprøvetaker) Vanndyp: 355m  
Stratigrafi—Relative prosentandeler av komponenter i smørepreparet



Den relative mengden av kvarts og feltspat, FeMn-oksyd og pellets er plottet ut på kart (Figur 8A-8C). Vanndypskart basert på vanndypet for de innsamlede kjernene er presentert i Figur 7.

### 3.1 Minerogen fraksjon

Innholdet av minerogen materiale ligger generelt rundt 60-90%, men avtar med økende vanndyp (Figur 4A). Årsaken til dette skyldes hovedsakelig at innholdet av pellets i overflateprøvene øker med økende vanndyp. I Figur 6 er kvarts og feltspat, glimmer, kalsitt, dolomitt, pyritt, jermangan-oksyd og andre, plassert sammen i minerogen fraksjon. Uidentifisert leir og silt utgjør en egen gruppe. Innholdet av minerogen materiale er noe høyere i sedimentet i den øverste delen av kjernene (Figur 6). Tendensen til økt innhold av minerogene fraksjon oppover i kjernen skyldes antagelig at sedimentet er noe grovere i den øverste delen av kjernen. Kjerne P9307066, som ligger på 355 m vanndyp ut mot midtlinja utenfor Grimstad (stasjon 65, figur 2), skiller seg ut ved å ha høyt innhold av "minerogen fraksjon" i toppen. Dette skyldes at sedimentet består nesten utelukkende av fin sand.

#### 3.1.1 Kvarts & feltspat

Figur 4B, hvor innholdet av kvarts og feltspat i overflateprøvene er plottet mot vanndyp, viser at innholdet av kvarts og feltspat varierer opp til rundt 20%, og at det avtar med økende vanndyp. De laveste verdiene av kvarts og feltspat er geografisk begrenset til den dypeste delen av undersøkelsesområdet (Figur 8A). Figur 6 viser at kvarts og feltspat i de fleste tilfellene utgjør den største andelen av "minerogen fraksjon", og at innholdet av kvarts og feltspat avtar noe med økende overleiring.

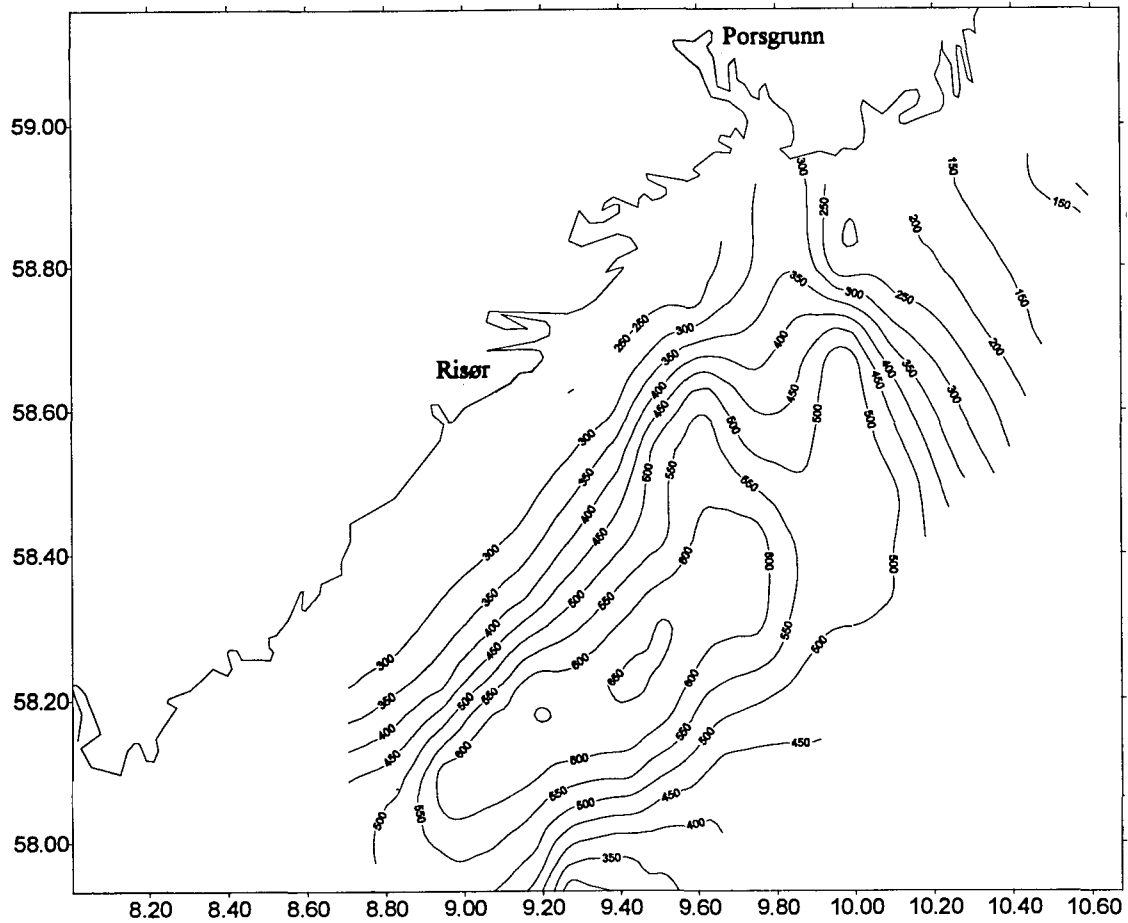
#### 3.1.2 Glimmer

Innholdet av store glimmerflak er som regel under 1% (Appendix 3).

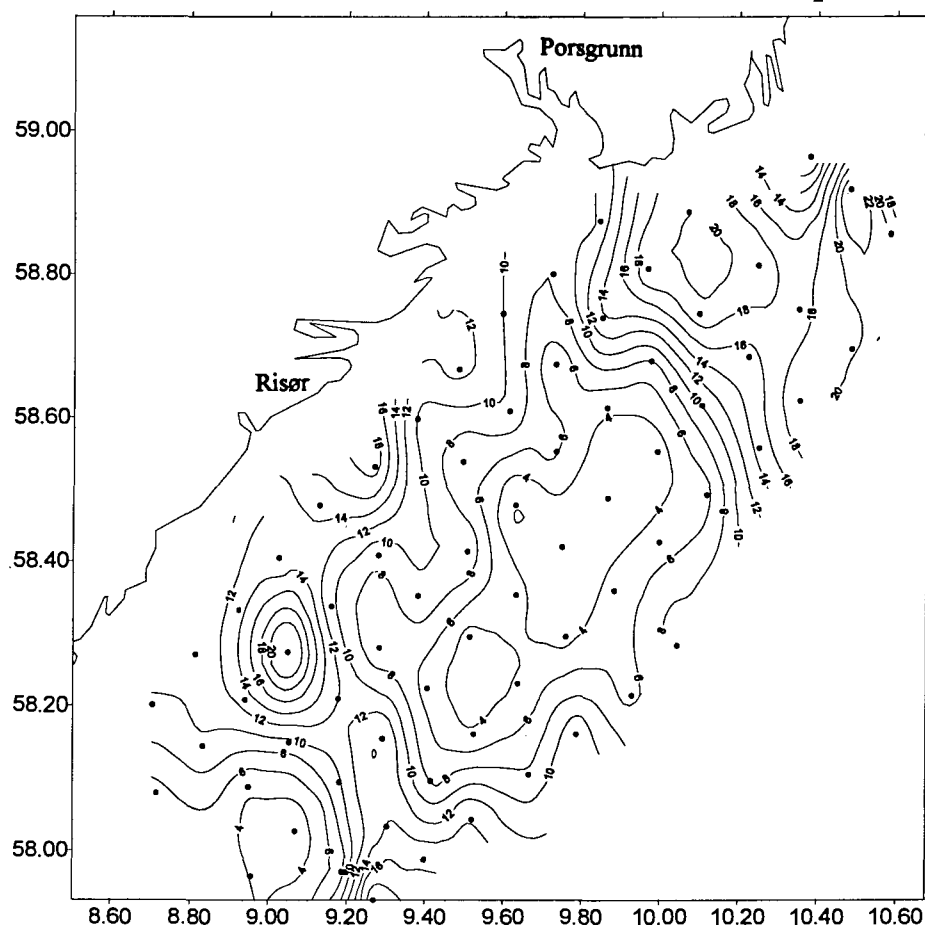
#### 3.1.3 Kalsitt

Kalsitt er ofte tilstede i sedimentene. Den relative prosentandelen varierer geografisk og stratigrafisk fra 0 til rundt 10% (Figur 4C og 6).

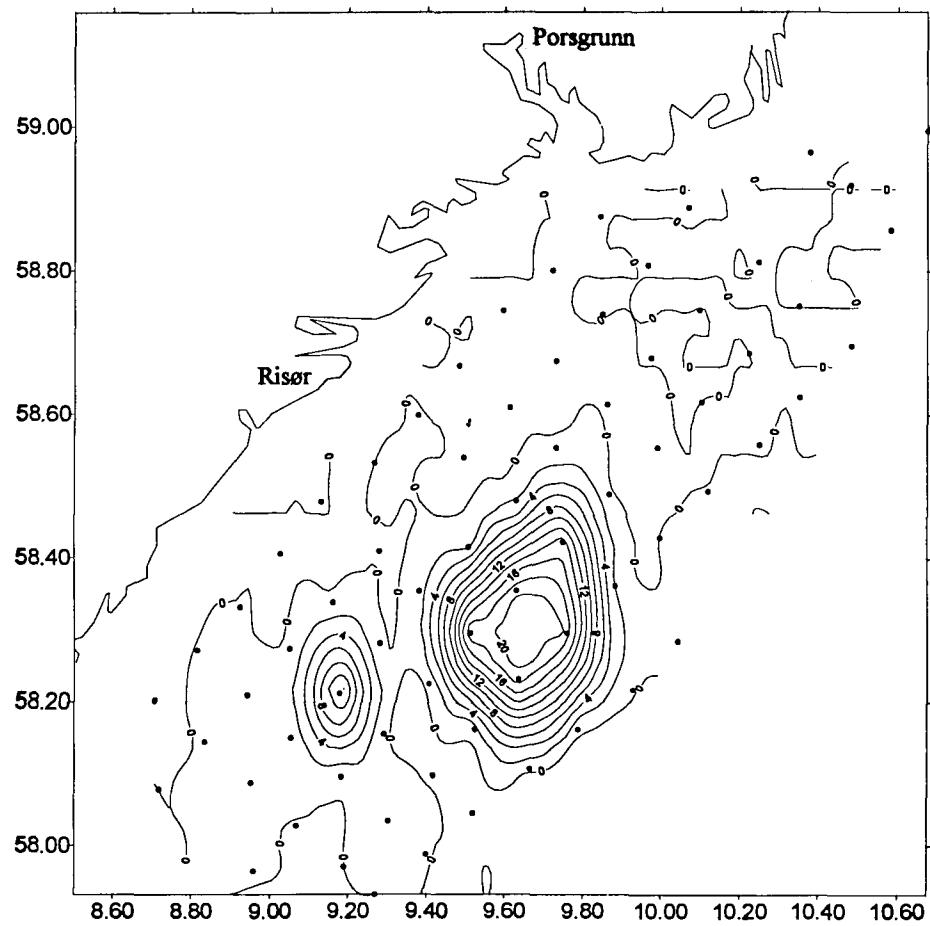
**Figur 7.** Vanndypskart basert på vanndyp for prøvepunktene.



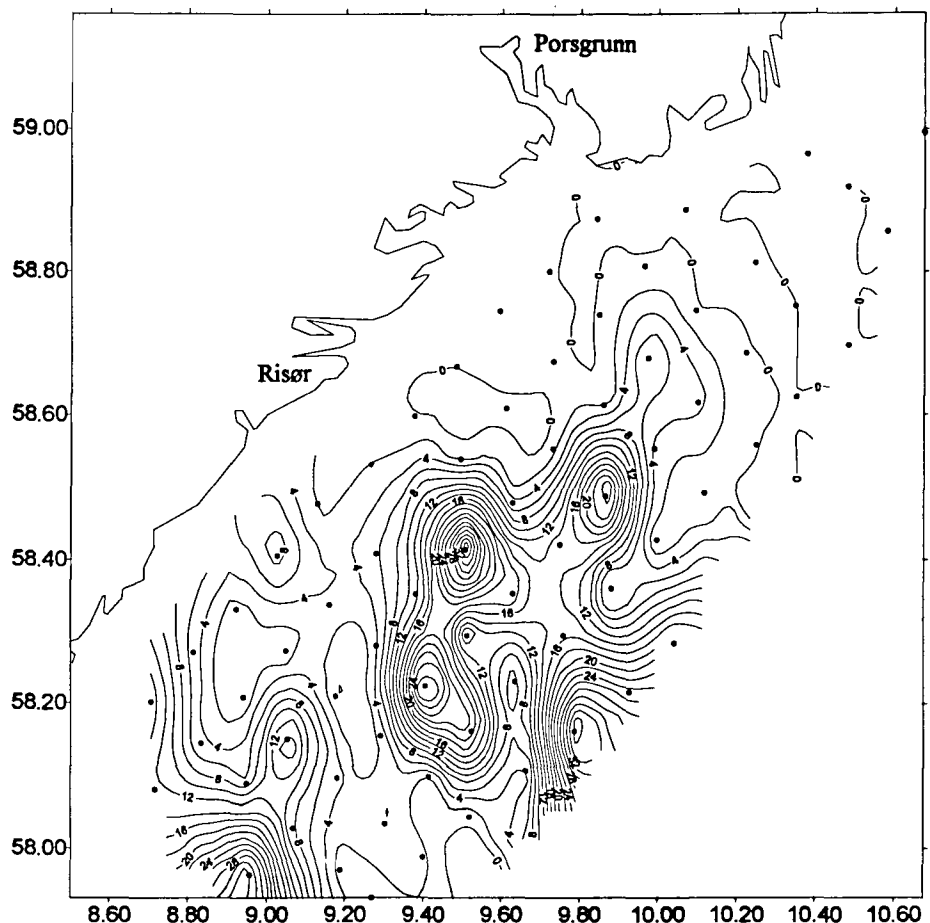
Figur 8A. Geografisk fordeling av kvarts og feltspat.



**Figur 8B. Geografisk fordeling av FeMnO.**



**Figur 8C. Geografisk fordeling av pellets.**



### **3.1.4 Dolomitt**

Dolomitt forekommer sjeldent i overflateprøvene (Figur 4D), men er ofte tilstede i aksessoriske mengder dypere nede (Appendix 3).

### **3.1.5 Pyritt**

Pyritt er ofte tilstede i sedimentet i mengder opp til 1%. Mengdene er så små at de ikke er registrert på plottene (Figur 4E). Pyritt opptrer i alle morfologiske former, men det vanligste er i framoidal form, gjerne som innfyllinger i fossiler.

### **3.1.6 FeMn-oksyd**

Innhold av FeMn-oksyd er stort sett begrenset til overflatesedimentene (Appendix 3 og Figur 6). Som illustrert i Figur 4F er det et relativt lite antall kjerner som har FeMn-oksyd.

Mengden varierer opp til 20%, og de høye verdiene synes å være forbundet til store havdyper over 500 m. Sedimentene som inneholder høye verdier av FeMn-oksyd finnes i et område utenfor Arendal, og i et nærliggende ormråde utenfor Risør (Figur 8B). På grunn av det er flere kjerner fra store havdyper som enten mangler eller har lave verdier av FeMn-oksyd synes høye verdier av FeMn-oksyd også å være relatert til geografisk beliggenhet. Det høye innholdet av FeMn-oksyd i overflate-sedimentene i de dype områdene av Skagerrak har sannsynligvis sammenheng med at redoksgrensen ligger høyt oppe i sedimentsøylen og at sedimentasjonshastigheten i området er lav. Redusert FeMn-oksyd diffunderer oppover fra dypeliggende lag mot overflaten og felles ut i toverdig form i de aller øverste centimetrene i havbunnen. Den lave sedimentasjons-hastigheten gjør at mengden FeMn-oksyd blir relativt stor. FeMn-oksyd har en tendens til å binde til seg tungmetaller (med sterke eller svake bindinger). Det vil derfor sannsynligvis finnes en sammenheng mellom fordelingen av FeMn-oksyd og tungmetaller i sedimentene.

### **3.1.7 Andre**

Denne variabelen inneholder mineraler som forekommer i aksessoriske mengder (Figur 3). Gruppen "andre" utgjør normalt opp til 2% av alle komponentene i sedimentet. De vanligste mineralene innenfor denne gruppen er amfibol, epidot og pyroksen. Andre mineraler som

zoisitt, rutil, zirkon og turmalin forekommer i mindre mengder. Enkelte prøver kan inneholde en del glauconitt.

### 3.2 Uidentifisert leir og silt

Innholdet av uidentifisert leir og silt er som regel høyt, men kan varierer fra 10-90% (Figur 4G). De fleste prøvene inneholder 50-80% av denne komponenten. Prøver som skiller seg ut ved å ha lave verdier uidentifisert leir og silt befinner seg innenfor områder med store vanndyp. De lave verdiene skyldes da høye verdier av pellets og FeMnO i de samme prøvene. De stratigrafiske prøvene fra de utvalgte kjernene i Figur 6 viser at innholdet av uidentifisert leir og silt øker noe nedover i kjernene. Bortsett fra at noe av denne tendensen skyldes avtagende mengde pellets og FeMnO nedover i sedimentet, så reflekterer dette generelt grovere sedimenter i øverste del av kjernene.

### 3.3 Pellets

Pellets er ikke plassert innenfor noen gruppe, på grunn av at de opprinnelig består av både organisk og uorganisk materiale, og fordi det er ukjent hva slags materiale de registrerte pelletsene består av. Mange kjerner har pellets i overflatesedimentet, og innholdet varierer fra <1% til >60% (Appendix 3, Figurene 4N, 6 og 8C). Det er en nærlasjons mellom mengde pellets og vanndyp, og de høyeste verdiene finnes på vanndyp over 400 meter (Figur 4N). Den geografiske fordelingen av pellets viser at de høyeste pelletsverdiene (Figur 8C) er i områdene som har størst vanndyp (Figur 7). Pelletsinnholdet avtar raskt med økende sedimentoverleiring, og forsvinner ofte rett under de øverste få centimetrene i kjernen (Figur 6). Det høye innholdet av pellets i overflatesedimentene i områder på store havdyp skyldes mest sannsynlig lav sedimentasjonshastighet. Pelletsene har høy egenvekt og er sannsynligvis autigent dannet av bunnlevende organismer (Schrader, pers. medd.). Med andre ord så antas de å ikke være transportert fra et annet område. På grunn av den lave sedimentasjonen i avsetningsområdet blir de konsentrert i sedimentet. Det at pelletsene forsvinner raskt med økende overleiring, skyldes at det organiske materiale blir oksydert, slik at pelletsene løses opp (Schrader, pers. medd.). Det er ukjent hva det svarte materialet i pelletsene er. Det opprinnelige materialet kan være erstattet av et annet mineral, eller pelletsene kan ha en hinne av et sekundært materiale. En mulighet kan være at pelletenes overflate representerer et perfekt substrat for utfelling av FeMn-oksyd, og at de derfor er dekket av en hinne av dette mineralet. FeMn-oksyd forekommer også ofte i assosiasjon med pellets.

### 3.4 Biogen fraksjon

Denne gruppen inneholder alle hele individer og fragmenter av fossiler. De fleste overflateprøvene inneholder 0-14% biogent materiale, men innholdet varierer opp til rundt 20% (Figur 4P). Innholdet av biogent materiale avtar med økende havdyp (Figur 4P). Det er ikke observert noen merkbar stratigrafisk variasjon i innhold av biogent materiale (Figur 6).

#### 3.4.1 Foraminiferer

Hele individer av foraminiferer i mengder <1% er vanlig, selv om det finnes enkelte prøver som har noe høyere innhold av denne komponenten (Appendix 3 og Figur 4I).

#### 3.4.2 Nannofossiler

Andelen nannofossiler eller coccolitter varierer fra 0 til rundt 15%. Det er en svak tendens til at andelen coccolitter avtar med økende vanndyp (Figur 4J). Dette skyldes antagelig økende innhold av pellets og FeMn-oksyd på store vanndyp. Det finnes ingen tydelig stratigrafisk variasjon i innhold av coccolitter (Figur 6), men mest sannsynlig er innhold av coccolitter knyttet til kornstørrelse - desto høyere innhold av fin silt desto høyere innhold av coccolitter. Dette kommer ikke tydelig fram ved analyse av smøreparat. Den mest finkornete fraksjonen i sedimentet kan bestå av fragmenter av coccolitter, som ikke kan identifiseres på smøreparat. Det er derfor mulig at den relative mengden coccolitter er større enn anslått. I følge Atiur Rahman (pers.medd.), som identifiserte coccolittene på enkelte smøreparat, stammer de aller fleste coccolittene fra Kritt, mens enkelte tilhører individer fra moderne tid. Det er derfor naturlig å anta at de er et erosjonsprodukt fra den danske krittkalken. Coccolittene kan derfor representere et viktig sporelement. På grunn av at det er vanskelig å se variasjoner i innhold av coccolitter på smøreparat, anbefales det å anvende en annen metode, som for eksempel XRD, for å kartlegge geografiske variasjoner av denne komponenten.

#### 3.4.3 Diatoméer

Innholdet av diatoméer er normalt rundt 1-2%, og kan være noe høyere i enkelte prøver (Figur 4K). Artsrikdommen synes å være stor. Sedimentet kan også inneholde en relativt stor andel finkornete diatomée-fragmenter, slik at prosentandelen kan være undervurdert.

#### **3.4.4 Radiolarier**

Radiolarier er sjeldent tilstede.

#### **3.4.5 Svampspikler**

Innholdet av fragmenter og hele individer av svampspikler er normalt opp til 1%, men kan være større (Figur 4L).

#### **3.4.6 Silicoflagellater**

Sedimentene i Skagerrak inneholder ofte silicoflagellater, men bare et fåtall eksemplarer finnes på enkelte preparater.

#### **3.4.7 Bioklaster**

Innholdet av bioklaster varierer normalt fra 0 til 5%. I figur 4O kan det ses ut til at det er en tendens til avtagende innhold av bioklaster med økende vanndyp. I flere av kjernene vist i figur 6 avtar innholdet av bioklaster med økende kjernedyd.

#### **3.4.8 Fiskerester**

Fiskerester finnes ofte i sedimentene i Skagerrak, men alltid i ørsmå konsentrasjoner, og de er ofte vanskelige å identifisere.

### **3.5 Organisk "debris"**

Organisk "debris" utgjør en egen gruppe. Sedimentene inneholder nesten alltid en viss mengde materiale fra denne gruppen. Det vanligste er rundt 5%, men større mengder finnes (Figur 4M). Enkelte preparater er relativt rike på nedbrutt marint materiale. Som regel er det nedbrutt til det ugenkjennelige, eller restene etter et kjent fossil (foraminiferer, pellets o.s.v.) kan øyes. Svart karbonisert terrestrisk materiale er vanlig i mengder rundt 1%. Slikt materiale kan lett forveksles med pyritt. Spredte vedfragmenter finnes relativt ofte. Innholdet av organisk "debris" avtar mange steder nedover i sedimentet (Figur 6).

### **3.6 Innhold av sand**

Den totale fraksjonen inneholder alt materialet på preparatet, det vil si både uorganisk og organisk materiale. Andelen sand i "total fraksjon" øker med økende havdyp (Figur 4Q). På grunn av at pellets er på størrelse med sand, vil innholdet av pellets ha innflytelse på andelen sand i den totale fraksjonen. Økningen av sandinnholdet i den totale fraksjonen med økende vanndyp er derfor et resultat av at innholdet av pellets øker med økende vanndyp. Innholdet av sand i "minerogen fraksjon" i overflateprøver viser et helt annet mønster (Figur 4T). Den viser at prøvene generelt har et uorganisk sandinnhold på 0-2%. Et fåtall prøver har noe høyere verdier.

### **3.7 Innhold av silt**

Innholdet av silt i både den totale og den minerogene fraksjonen i overflateprøvene ligger mellom 10 og 40% (Figur 4R og 4U). I den minerogene fraksjonen er siltinnholdet i de aller fleste av prøvene mellom 10 og 20%, mens det i den totale fraksjonen er mer spredning på verdiene. Det er også en svak tendens til flere lave verdier i prøver på store vanndyp i den totale fraksjonen. De lave verdiene skyldes sannsynligvis igjen innflytelsen av mengden pellets med sandkornstørrelse som øker med økende vanndyp.

### **3.8 Innhold av leir**

Innholdet av leir i den totale fraksjonen i overflaterprøvene ligger generelt på mellom 20 og 90% (Figur 4S). Lave leirinnholdverdier skyldes hovedsakelig innblading av grove partikler av organisk materiale, som for eksempel klumper av flokkulert organisk materiale, og pellets. Der er en svak tendens til at flere prøver har lave leirinnholdverdier på store vanndyp. Dette skyldes antageligvis igjen det høye innholdet av pellets og FeMn-oksyd på store vanndyp. I den minerogene fraksjonen er innholdet av leir betraktelig høyere. Alle prøvene har over 40% leir, og de aller fleste ligger på mellom 70 og 90%. Der er også en tendens til økte verdier av leir mot økende havdyp.

## 4 KONKLUSJON

Analyse av smørepreparat har gitt et generelt bilde av sammensetningen av sedimentene, og viser visse endringer i sammensetningen av sedimenter. Sedimentene i Skagerrak har generelt et høyt innhold av finkornet materiale (finsilt og leir). Den totale fraksjonen inneholder mer grovt materiale enn den minerogene fraksjonen. Det grove innslaget består hovedsakelig av pellets og forskjellige typer organisk materiale, som for eksempel klumper av flokkulert organisk materiale («organic snow»), og gjør seg mest gjeldende på store havdyp.

Den finkornige fraksjonen er relativt rik på coccolitter. Coccolittene ser ut til å være den viktigste kilden til karbonat i sedimentene. De aller fleste coccolittene er fra kritt. Det er derfor sannsynlig at coccolittene er et erosjonsprodukt fra den danske kritt-kalken.

Det finnes en tydelig geografisk fordeling av både kvarts og feltspat, FeMn-oksyd og pellets. De høyeste verdiene av kvarts og feltspat er begrenset til områder med relativt grunne havdyp. FeMn-oksyd og pellets finnes stort sett bare i overflatesedimentet. Høyt innhold av FeMn-oksyd og pellets er relatert til store vanndyp over 400 meter. Både FeMn-oksyd og pellets er antatt å være autigent dannet. Det høye innholdet av disse komponentene er antatt å være et resultat av at de er dannet innenfor et geografiske område med lav sedimentasjonsrate, hvor store deler av sedimentene er avsatt fra suspensjon. Utbredelsen av FeMn-oksyd i overflatesedimentene er interessante for miljøhensyn på grunn av at de har evne til å binde til seg tungmetaller.

## REFERANSER

- Bøe, R., 1993: *Sedimentologi og geotekniske undersøkelser på Niemistökjerner fra Skagerrak.* Nor. geol. unders. Rapport 93.050, 78 s.
- Bøe, R., 1994: *Sedimentologi og geotekniske undersøkelser på sedimentkjerner tatt under tokt 9307 i Skagerrak.* Nor. geol. unders. Rapport 94.017, 41 s.
- Bøe, R., Olsen, H.A., Thorsnes, T., & Øverby, L. 1991: *Maringeologisk/geofysisk tokt nr. 9101 i Skagerrak 1991, toktrapport.* Nor. geol. unders. Intern Rapport 91.014, 32 s.
- Mange, M.A. & Maurer, F.W. 1989: *Heavy minerals in colour.* Chapman & Hall, 147 s.
- Olsen, H.A. 1992: *Kvartærgeologi, Skagerrak. Foreløpig tolkning av refleksjonsseismiske data fra den nordøstlige del av Skagerrak basert på data innsamlet i 1991.* Nor. geol. unders. Rapport 92.220, 22 s.
- Ottesen, D., Thorsnes, T., Olsen, H. og Rise, L., 1994: *Maringeologisk tokt nr. 9401 i Skagerrak 1994, toktrapport.* Nor. geol. unders. Rapport 94.031, 37 s.
- Paetzel, M., 1992: *Prøvetakingstokt nr. 9205 i Skagerrak 1992. M/S "Håkon Mosby". Toktrapport.* Nor. geol. unders. Rapport 92.282, 129 s.
- Rothwell, R.G., 1989: *Minerals and mineraloids in marine sediments. An optical identification guide.* Elsevier Science Publishers Ltd, 279 s.
- Thorsnes, T., Bøe, R., Ottesen, D., Larsen, E., Moen, P.T., Olsen, H.A., Totland, O. & Øverby, L., 1992: *Maringeologisk/geofysisk tokt nr. 9204 i Skagerrak 1992, toktrapport.* Nor. geol. unders. Rapport 92.287, 42 s.
- Thorsnes, T., Bøe, R., Grøsfjeld, K., Olsen, H.A., Ottesen, D. & Øverby, L., 1993: *Maringeologisk tokt nr. 9306 i Skagerrak 1993, toktrapport.* Nor. geol. unders. Rapport 93.133, 40 s.

## Appendix 1. Liste over stasjoner, koordinater og kjernenumre.

| Stasjon | LATITUDE | LONGITUDE | Kjernenr | 54 | 58.04467 | 9.517834 | P9205249 |
|---------|----------|-----------|----------|----|----------|----------|----------|
| 2       | 58.99434 | 10.674    | P9205011 | 55 | 58.0965  | 9.414667 | P9205252 |
| 3       | 58.9635  | 10.37833  | P9205018 | 56 | 58.155   | 9.29     | P9205259 |
| 4       | 58.91833 | 10.481    | P9205022 | 57 | 58.21067 | 9.176333 | P9307020 |
| 5       | 58.85567 | 10.581    | P9205027 | 58 | 58.27433 | 9.0485   | P9307023 |
| 6       | 58.69584 | 10.48317  | P9205030 | 59 | 58.3325  | 8.922833 | P9307029 |
| 7       | 58.75083 | 10.34883  | P9205034 | 60 | 58.271   | 8.813833 | P9307035 |
| 8       | 58.81217 | 10.24567  | P9205039 | 61 | 58.2085  | 8.940166 | P9307041 |
| 9       | 58.88683 | 10.06833  | P9205043 | 62 | 58.1495  | 9.0525   | P9307047 |
| 10      | 58.87417 | 9.842     | P9205048 | 63 | 58.09433 | 9.180166 | P9307054 |
| 11      | 58.80767 | 9.964     | P9205053 | 64 | 58.03483 | 9.301167 | P9307060 |
| 12      | 58.74533 | 10.09567  | P9205057 | 65 | 57.98783 | 9.3975   | P9307066 |
| 13      | 58.68533 | 10.22217  | P9205062 | 66 | 57.931   | 9.268167 | P9307074 |
| 13      | 58.68533 | 10.22217  | P9205062 | 67 | 57.97017 | 9.188666 | P9307080 |
| 14      | 58.6245  | 10.35167  | P9205065 | 68 | 58.02783 | 9.066667 | P9307087 |
| 15      | 58.55833 | 10.2485   | P9205072 | 69 | 58.087   | 8.9495   | P9307093 |
| 16      | 58.618   | 10.10183  | P9205076 | 70 | 58.14383 | 8.832666 | P9307103 |
| 17      | 58.6795  | 9.973166  | P9205082 | 71 | 58.20133 | 8.705833 | P9307109 |
| 18      | 58.73933 | 9.848     | P9205086 | 73 | 58.078   | 8.715834 | P9307123 |
| 19      | 58.8005  | 9.721167  | P9205091 | 75 | 57.96416 | 8.957334 | P9307139 |
| 20      | 58.745   | 9.592834  | P9205094 |    |          |          |          |
| 21      | 58.67484 | 9.730667  | P9205097 |    |          |          |          |
| 22      | 58.6145  | 9.86033   | P9205102 |    |          |          |          |
| 23      | 58.554   | 9.989333  | P9205109 |    |          |          |          |
| 24      | 58.49383 | 10.1175   | P9205113 |    |          |          |          |
| 25      | 58.42817 | 9.9955    | P9205118 |    |          |          |          |
| 26      | 58.4895  | 9.865167  | P9205121 |    |          |          |          |
| 27      | 58.55383 | 9.731     | P9205126 |    |          |          |          |
| 28      | 58.60983 | 9.611333  | P9205130 |    |          |          |          |
| 29      | 58.66767 | 9.481167  | P9205136 |    |          |          |          |
| 30      | 58.59867 | 9.3765    | P9205140 |    |          |          |          |
| 31      | 58.54    | 9.492666  | P9205144 |    |          |          |          |
| 32      | 58.48    | 9.627833  | P9205149 |    |          |          |          |
| 33      | 58.422   | 9.748     | P9205155 |    |          |          |          |
| 34      | 58.36133 | 9.881166  | P9205159 |    |          |          |          |
| 35      | 58.285   | 10.0415   | P9205164 |    |          |          |          |
| 36      | 58.21667 | 9.926833  | P9205168 |    |          |          |          |
| 37      | 58.53283 | 9.2665    | P9205173 |    |          |          |          |
| 39      | 58.41516 | 9.5055    | P9205182 |    |          |          |          |
| 40      | 58.35467 | 9.6295    | P9205187 |    |          |          |          |
| 41      | 58.29667 | 9.757833  | P9205193 |    |          |          |          |
| 42      | 58.16167 | 9.786667  | P9205197 |    |          |          |          |
| 43      | 58.23233 | 9.6345    | P9205201 |    |          |          |          |
| 44      | 58.29633 | 9.511333  | P9205206 |    |          |          |          |
| 45      | 58.3535  | 9.3805    | P9205210 |    |          |          |          |
| 46      | 58.40983 | 9.278167  | P9205215 |    |          |          |          |
| 47      | 58.47917 | 9.128166  | P9205219 |    |          |          |          |
| 48      | 58.406   | 9.026     | P9205223 |    |          |          |          |
| 49      | 58.33833 | 9.1595    | P9205227 |    |          |          |          |
| 50      | 58.28167 | 9.280334  | P9205231 |    |          |          |          |
| 51      | 58.22533 | 9.404166  | P9205235 |    |          |          |          |
| 52      | 58.16167 | 9.522833  | P9205240 |    |          |          |          |
| 53      | 58.10567 | 9.663834  | P9205244 |    |          |          |          |

## **APPENDIX 2**

### **FREMSTILLING AV SMØREPARET**

**Det ble benyttet to typer innstøpningsmiddel, Caedax og Norland Optical Adhesive.**

## FREMSTILLING AV SMØREPARET MED CAEDAX SOM INNSTØPNINGSMIDDEL

Utrustning: varmeplate, objektglass, dekkglass, merkelapper, tannstikker, Fotoflo (middel til å få vann til å flyte utover), destillert vann, CAEDAX innstøpningsmiddel (kunstig canadabalsam), skål til å ha innstøpningsmiddelet i, som kan kastes etter bruk.

1. Varmeplate settes på 100°C.
2. Merkelapper klisteres på objektglassene.
3. Plasser objektglassene i rad på varmeplate, med dekkglassene liggende ved siden av. Merkelappen på objektglassene skal være vendt opp.
4. Ta litt sediment ( $1-2\text{mm}^3$ ) ytterst på en tannpirker og ha det på et dekkglass.
5. Ha 2 dråper Fotoflo + 3 dråper destillert vann oppå sedimentet og spre alt utover ved hjelp av en tannpirker.
6. Legg dekkglasset ved siden av tilhørende objektglass. La alt vann og Fotoflo fordampe. Vent til sedimentet er tørt.
7. Ta en stor dråpe av innstøpningsmiddelet på den brede enden av en tannpirker, og legg den på dekkglasset. La det ligge i omtrent 5 minutter. Innstøpningsmiddelet skal bli varmt, men det må ikke koke. Skru ned temperaturen dersom det begynner å koke. Sjekk tilstanden på innstøpningsmiddelet med en ny tannpirker. Dersom det er glassaktig er temperatur riktig. Det må ikke være plastisk.
8. Objektglasset legges oppå dekkglasset på skrå, slik at luft kan presses ut. Snu deretter objektglasset slik at dekkglasset blir liggende opp mot luften. La preparatet ligge på varmeplaten (i ca. 5-10 min.) slik at innstøpningsmiddelet siger langsomt ut mot kantene. Dersom innstøpningsmiddelet ikke dekker hele flaten må det lages nytt preparat. Mer innstøpningsmiddel kan eventuelt tilsettes ved å la det sige inn fra kanten av preparatet. La det ligge litt på varmeplaten.
9. Smøreparatet legges til avkjøling.

FREMSTILLING AV SMØREPARET MED NORLAND OPTICAL ADHESIVE SOM  
INNSTØPNINGSMIDDEL (brytningsindeks 1,5)

1. Ha 2 dråper vann på et objektglass.
2. En tannpirkerspiss med sediment gnis forsiktig ut i vannet.
3. Objektglasset legges på varmeplate (100°C) inntil sedimentet er tørt.
4. Tilsett noen dråper av innstøpningsmiddelet oppå sedimentet
5. Dekkglass legges på.
6. Preparatet bestråles til slutt i 5 minutter i ultrafiolett lys.

**Appendix 3. Tabell over prosentandeler av komponenter.**

| Kjernenummer      | P9305011 | P9205018 | P9205022 | P9205027 | P9205030 |
|-------------------|----------|----------|----------|----------|----------|
| Kjennedyb (cm)    | 0.5      | 31       | 58       | 65       | 140      |
| Vaardyp (m)       | 460      | 105      | 163      | 120      | 140      |
| MINEROGEN         | %        | %        | %        | %        | %        |
| FRAKSIÖN          | %        | %        | %        | %        | %        |
| Kvars & felspat   | 3        | 7        | 5        | 4        | 10       |
| Glimmer           | X        | X        | X        | X        | 20       |
| Kalsitt           | -        | -        | X        | X        | 15       |
| Dolomit           | -        | -        | -        | X        | 20       |
| Pyritt            | X        | -        | X        | X        | 1        |
| FeMn-oksyd        | -        | -        | -        | -        | 1        |
| Andre             | X        | X        | 1        | 1        | 0.5      |
| Uidentifisert     | 91       | 83       | 87.5     | 88       | 0.5      |
| Leir og silt      |          |          |          |          | -        |
| SUM               | 94       | 90       | 93.5     | 94       | 1        |
| ORGANISK          | %        | %        | %        | %        | %        |
| FRAKSIÖN          | %        | %        | %        | %        | %        |
| Foraminiferer     | X        | X        | X        | X        | X        |
| Nannofossiler     | 1        | 1        | 1        | 2        | 4        |
| Diatomeer         | 0.5      | 0.5      | 1        | 0.5      | 2        |
| Radiolarier       | -        | -        | -        | -        | 0.5      |
| Swampsplikler     | 0.5      | 0.5      | 0.5      | 0.5      | 1        |
| Silicoflagellater | -        | X        | -        | -        | 1        |
| Organisk "debris" | 4        | 7        | 4        | 4        | 2        |
| Pellets           | X        | 1        | X        | 1        | 0.5      |
| Bioeklater        | X        | -        | X        | -        | 3        |
| Fiskester         | X        | -        | -        | -        | 0.5      |
| SUM               | 6        | 10       | 6.5      | 6        | 10.5     |
| TOTAL             | %        | %        | %        | %        | %        |
| FRAKSIÖN          | %        | %        | %        | %        | %        |
| Sand              | -        | 1        | -        | 6        | 9        |
| Silt              | 15       | 19       | 20       | 15       | 15       |
| Leir (<4 my)      | 85       | 80       | 79       | 85       | 85       |
| SUM               | 100      | 100      | 100      | 100      | 100      |
| MINEROGEN         | %        | %        | %        | %        | %        |
| FRAKSIÖN          | %        | %        | %        | %        | %        |
| Sand              | -        | -        | 6        | -        | -        |
| Silt              | 10       | 10       | 15       | 10       | 15       |
| Leir (<4 my)      | 90       | 90       | 85       | 90       | 88       |
| SUM               | 100      | 100      | 100      | 100      | 100      |

| Kjernenummer               | P9205034 | P9205039 | P9205043 | P9205048 | P9205053 | P9205057 |
|----------------------------|----------|----------|----------|----------|----------|----------|
| Kjernedyp (cm)             | 0.5      | 35       | 69       | 1        | 25.5     | 37.5     |
| Vanndyp (m)                | 166      |          | 183      | 211      | 0.5      | 22.5     |
| MINEROGEN                  | %        | %        | %        | %        | %        | %        |
| FRAKSJON                   |          |          |          |          |          |          |
| Rkvarts & felspat          | 17       | 10       | 7        | 20       | 14       | 15       |
| Glimmer                    | X        | 2        | X        | -        | X        | 1        |
| Kalsitt                    | -        | 14       | 13       | 4        | 14       | 15       |
| Dolomit                    | -        | X        | -        | X        | -        | X        |
| Pyritt                     | 1        | -        | 2        | -        | X        | -        |
| FeMn-oksyd                 | -        | -        | -        | -        | X        | -        |
| Andre                      | 2        | 1        | 1        | 1        | 1        | 2        |
| Uidentifisert leir og silt | 67.5     | 64       | 75       | 63       | 65       | 69       |
| SUM                        | 87.5     | 91       | 98       | 88       | 94       | 97       |
| ORGANISK                   | %        | %        | %        | %        | %        | %        |
| FRAKSJON                   |          |          |          |          |          |          |
| Foraminiferer              | X        | X        | X        | X        | X        | X        |
| Nannofossiler              | 4        | 2        | 1        | 6        | X        | 1        |
| Diatomer                   | 1        | 1        | 0.5      | 1        | X        | 1        |
| Radiolarier                | -        | -        | -        | -        | -        | -        |
| Swampspikler               | 0.5      | X        | X        | 0.5      | X        | 1        |
| Silicoflagellater          | -        | X        | -        | X        | -        | X        |
| Organisk "debris"          | 2        | 6        | X        | 3        | 5        | X        |
| Pellets                    | -        | -        | -        | -        | -        | X        |
| Bioklaster                 | 5        | -        | X        | 2        | 4        | X        |
| Fiskerester                | -        | -        | -        | -        | -        | X        |
| SUM                        | 12.5     | 9        | 2        | 12       | 6        | 3        |
| TOTAL                      | %        | %        | %        | %        | %        | %        |
| FRAKSJON                   |          |          |          |          |          |          |
| Sand                       | -        | 7        | 2        | 1        | -        | 2        |
| Silt                       | 24       | 28       | 33       | 33       | 35       | 33       |
| Leir (<4 my)               | 76       | 65       | 65       | 65       | 65       | 70       |
| SUM                        | 100      | 100      | 100      | 100      | 100      | 100      |
| MINEROGEN                  | %        | %        | %        | %        | %        | %        |
| FRAKSJON                   |          |          |          |          |          |          |
| Sand                       | 2        | 2        | 1        | -        | 1        | 1        |
| Silt                       | 35       | 33       | 34       | 35       | 31       | 29       |
| Leir (<4 my)               | 63       | 65       | 65       | 65       | 68       | 70       |
| SUM                        | 100      | 100      | 100      | 100      | 100      | 100      |

| Kjernenummer               | P9205062 | P9205065 | P9205072 | P9205076 | P9205082 | P9205086 |
|----------------------------|----------|----------|----------|----------|----------|----------|
| Kjernedyp (cm)             | 0.5      | 13       | 25       | 49       | 0.5      | 21       |
| Kjernedyp (cm)             | 277      | 242      | 420      | 420      | 550      | 393      |
| MINEROGEN FRAKSJON         | %        | %        | %        | %        | %        | %        |
| Kvarts & felspat           | 15       | 6        | 4        | 20       | 7        | 8        |
| Glimmer                    | X        | X        | X        | -        | X        | X        |
| Kalsitt                    | 7        | 4        | 5        | 2        | 9        | 7        |
| Dolomit                    | 1        | -        | -        | -        | -        | -        |
| Pyritt                     | -        | -        | X        | -        | X        | X        |
| FeMn-oksyd                 | -        | -        | -        | -        | 0.5      | -        |
| Andre                      | 2        | 1        | 3        | 1        | 1        | 1        |
| Uidentifisert leir og silt | 60.5     | 85       | 85       | 87       | 64.5     | 81       |
| SUM                        | 85.5     | 86       | 98       | 97       | 87.5     | 98       |
| ORGANISK FRAKSJON          | %        | %        | %        | %        | %        | %        |
| Foramminerer               | X        | X        | X        | X        | X        | X        |
| Nanofossiler               | 7        | X        | X        | 1        | X        | X        |
| Diatomeer                  | 0.5      | X        | X        | 1        | X        | X        |
| Radioarier                 | -        | -        | -        | -        | -        | -        |
| Svampsikler                | 0.5      | X        | X        | 1        | X        | X        |
| Silicofagellater           | -        | X        | X        | -        | X        | X        |
| Organisk "debris"          | 3        | 4        | 2        | 1        | 3        | 2        |
| Pellets                    | 0.5      | -        | -        | 0.5      | -        | -        |
| Bioklastar                 | 3        | X        | X        | 5        | X        | X        |
| Fisterester                | -        | -        | -        | X        | -        | -        |
| SUM                        | 14.5     | 1        | 2        | 3        | 12.5     | 2        |
| TOTAL FRAKSJON             | %        | %        | %        | %        | %        | %        |
| Sand                       | 2        | 1        | 1        | 2        | 1        | 2        |
| Silt                       | 13       | 14       | 15       | 18       | 19       | 18       |
| Leir (<4 my)               | 85       | 85       | 84       | 85       | 80       | 80       |
| SUM                        | 100      | 100      | 100      | 100      | 100      | 100      |
| MINEROGEN FRAKSJON         | %        | %        | %        | %        | %        | %        |
| Sand                       | -        | -        | -        | -        | 2        | -        |
| Silt                       | 15       | 15       | 15       | 20       | 19       | 20       |
| Leir (<4 my)               | 85       | 85       | 85       | 80       | 80       | 87       |
| SUM                        | 100      | 100      | 100      | 100      | 100      | 100      |

| Kjernenummer               | P9205091 | P9205094 | P9205097 | P9205102 | P9205118 | P9205121 |
|----------------------------|----------|----------|----------|----------|----------|----------|
| Kjernedyp (cm)             | 0.5      | 26       | 49       | 0.5      | 23       | 37.5     |
| Vanddyp (m)                | 284      | 235      | 377      | 455      | 550      | 505      |
| MINEROGEN FRAKSJON         | %        | %        | %        | %        | %        | %        |
| Kvarts & felspat           | 8        | 7        | 13       | 6        | 3        | 4        |
| Glimmer                    | X        | X        | X        | -        | X        | 2        |
| Kalsitt                    | 3        | 10       | 5        | 3        | 8        | 4        |
| Dolomit                    | -        | -        | -        | -        | -        | -        |
| Pyritt                     | 1        | X        | 1        | X        | 1        | -        |
| FeMn-oksyd                 | X        | -        | X        | -        | -        | -        |
| Andre                      | 2        | 3        | 1        | 2        | 1        | 1        |
| Uidentifisert leir og silt | 74       | 77       | 77       | 75.5     | 83       | 86       |
| SUM                        | 88       | 97       | 97       | 90.5     | 98       | 95       |
| ORGANISK FRAKSJON          | %        | %        | %        | %        | %        | %        |
| Foraminiferer              | X        | X        | X        | -        | X        | X        |
| Nannofossiler              | 5        | X        | X        | 4        | X        | X        |
| Diatomærer                 | 0.5      | X        | X        | 0.5      | -        | X        |
| Radiohalier                | -        | -        | -        | -        | -        | -        |
| Syampspikler               | 1        | X        | X        | 1        | X        | X        |
| Silicoflagellater          | -        | -        | -        | -        | X        | X        |
| Organisk "debris"          | 3        | 1        | 1        | X        | X        | 1        |
| Pellets                    | 2        | X        | -        | 2        | -        | 1        |
| Biohaster                  | 0.5      | 2        | 2        | 2        | -        | X        |
| Fissterester               | -        | -        | -        | -        | -        | -        |
| SUM                        | 12       | 3        | 3        | 9.5      | 2        | 5        |
| TOTAL                      | %        | %        | %        | %        | %        | %        |
| FRAKSJON                   |          |          |          |          |          |          |
| Sand                       | 3        | 4        | 1        | -        | 12       | 1        |
| Silt                       | 30       | 21       | 22       | 20       | 16       | 15       |
| Leir (<4 my)               | 67       | 75       | 75       | 76       | 83       | 85       |
| SUM                        | 100      | 100      | 100      | 100      | 100      | 100      |
| MINEROGEN FRAKSJON         | %        | %        | %        | %        | %        | %        |
| Sand                       | -        | 2        | 2        | 1        | -        | 1        |
| Silt                       | 15       | 23       | 23       | 18       | 16       | 15       |
| Leir (<4 my)               | 85       | 75       | 75       | 80       | 83       | 85       |
| SUM                        | 100      | 100      | 100      | 100      | 100      | 100      |

| Kjernenummer      | P9205126 | P9205130 |     |     |     | P9205144 |     |     |      | P9205149 |     |     |      | P9205155 |     |     |     | P9205159 |      |     |    |
|-------------------|----------|----------|-----|-----|-----|----------|-----|-----|------|----------|-----|-----|------|----------|-----|-----|-----|----------|------|-----|----|
| Kjernedyp (cm)    | 0.5      | 22       | 45  | 1   | 20  | 40       | 61  | 0.5 | 16.5 | 34.5     | 52  | 1   | 21.5 | 45.5     | 1   | 0.5 | 2.5 | 25.5     | 50   |     |    |
| Vamddyp (m)       | 481      |          |     | 556 |     |          | 526 |     |      | 594      |     |     | 622  |          |     | 531 |     |          |      |     |    |
| MINEROGEN         | %        | %        | %   | %   | %   | %        | %   | %   | %    | %        | %   | %   | %    | %        | %   | %   | %   | %        | %    | %   |    |
| FRAKSJON          |          |          |     |     |     |          |     |     |      |          |     |     |      |          |     |     |     |          |      |     |    |
| Kvarts & feitspat | 7        | 4        | 15  | 10  | 8   | 10       | 5   | 6   | 4    | 6        | 4   | 1   | 2    | 2        | 2   | 4   | 5   | 6        | 5    | 5   |    |
| Glimmer           | X        | X        | -   | -   | X   | X        | -   | -   | X    | X        | -   | -   | X    | -        | X   | -   | X   | X        | X    |     |    |
| Kalsitt           | 3        | 2        | 2   | 2   | 6   | 2        | 5   | 10  | 7    | 5        | 2   | 2   | 10   | 2        | X   | 5   | 1   | 0.5      | 2    | 3   |    |
| Dolomit           | -        | -        | X   | -   | X   | -        | X   | X   | -    | X        | X   | -   | -    | -        | X   | X   | X   | X        | X    |     |    |
| Pyrit             | -        | 1        | -   | -   | 2   | 3        | X   | 2   | 1    | 1        | -   | -   | -    | -        | -   | -   | -   | X        | X    | X   |    |
| FeMn-øksyd        | -        | -        | -   | -   | -   | -        | -   | -   | -    | 1        | 1   | 1   | 1    | 1        | 15  | 3   | 2   | 2        | 15   | -   |    |
| Andre             | 1        | 1        | 1   | 1   | 1   | 1        | 1   | 1   | 1    | 1        | 1   | -   | 1    | 1        | 1   | 1   | 1   | 1        | 1    | -   |    |
| Uidentifisert     | 58       | 88       | 80  | 69  | 81  | 83       | 83  | 44  | 80   | 83       | 75  | 28  | 76   | 88       | 48  | 80  | 84  | 86       | 54.5 | 45  |    |
| leir og silt      | SUM      | 69       | 96  | 99  | 82  | 96       | 98  | 97  | 61   | 95       | 96  | 83  | 31   | 90       | 93  | 66  | 88  | 97       | 94   | 77  |    |
| ORGANISK          | %        | %        | %   | %   | %   | %        | %   | %   | %    | %        | %   | %   | %    | %        | %   | %   | %   | %        | %    | 91  |    |
| FRAKSJON          |          |          |     |     |     |          |     |     |      |          |     |     |      |          |     |     |     |          |      |     |    |
| Foraminiferer     | X        | X        | X   | X   | -   | X        | X   | 0.5 | -    | X        | X   | X   | X    | X        | X   | X   | X   | X        | X    | X   |    |
| Nannofossiler     | 1        | 4        | 1   | 1   | X   | 1        | 1   | 1   | 1    | 2        | 2   | -   | X    | 1        | 2   | 1   | 1   | 3        | 5    | 2   |    |
| Diatomeer         | X        | X        | X   | X   | X   | X        | X   | X   | 1    | X        | 0.5 | 10  | 1    | -        | X   | 5   | X   | X        | -    | 7   |    |
| Radiolarier       | -        | -        | -   | -   | X   | -        | -   | -   | -    | -        | -   | -   | -    | -        | -   | -   | -   | -        | -    | X   |    |
| Svampspikler      | X        | X        | X   | X   | -   | X        | 1   | 0.5 | 0.5  | 1        | 1   | X   | X    | 2        | 1   | 1   | X   | 0.5      | 1    | 2   |    |
| Silicoflagellater | -        | -        | -   | -   | X   | X        | -   | -   | X    | -        | -   | X   | -    | -        | X   | -   | -   | -        | -    | X   |    |
| Organisk          | X        | X        | X   | 2   | 4   | 1        | 2   | 1   | 1    | 0.5      | 4   | 2   | 7    | 4        | 10  | 3   | 2   | X        | 1    | 2   |    |
| "debris"          | Pellets  | 30       | -   | 15  | X   | X        | 35  | 2   | 0.5  | X        | 65  | 3   | 2    | 15       | 7   | X   | 1   | 15       | 45   | 1   |    |
| Bioeklaster       | X        | X        | X   | -   | X   | X        | -   | X   | X    | -        | X   | X   | X    | X        | -   | -   | X   | 1        | 2    |     |    |
| Fiskerester       | -        | -        | -   | -   | 2   | -        | -   | -   | -    | -        | X   | -   | -    | -        | -   | -   | -   | -        | -    | X   |    |
| SUM               | 31       | 4        | 1   | 18  | 4   | 2        | 3   | 39  | 5    | 4        | 17  | 69  | 10   | 7        | 34  | 12  | 3   | 4        | 23   | 48  |    |
| TOTAL             | %        | %        | %   | %   | %   | %        | %   | %   | %    | %        | %   | %   | %    | %        | %   | %   | %   | %        | %    | 9.  |    |
| FRAKSJON          |          |          |     |     |     |          |     |     |      |          |     |     |      |          |     |     |     |          |      |     |    |
| Sand              | 30       | 1        | 1   | 15  | -   | 2        | 2   | 30  | 2    | 2        | 3   | 65  | 11   | 5        | 15  | 10  | 2   | 1        | 15   | 45  | -  |
| Silt              | 10       | 12       | 24  | 20  | 18  | 18       | 18  | 15  | 16   | 20       | 20  | 7   | 11   | 6        | 36  | 10  | 13  | 15       | 20   | 15  | 30 |
| Leir (<4 my)      | 60       | 87       | 75  | 65  | 80  | 80       | 80  | 55  | 82   | 78       | 77  | 28  | 78   | 89       | 49  | 80  | 85  | 85       | 65   | 40  | 70 |
| SUM               | 100      | 100      | 100 | 100 | 100 | 100      | 100 | 100 | 100  | 100      | 100 | 100 | 100  | 100      | 100 | 100 | 100 | 100      | 100  | 100 |    |
| MINEROGEN         | %        | %        | %   | %   | %   | %        | %   | %   | %    | %        | %   | %   | %    | %        | %   | %   | %   | %        | %    | %   |    |
| FRAKSJON          |          |          |     |     |     |          |     |     |      |          |     |     |      |          |     |     |     |          |      |     |    |
| Sand              | 1        | -        | 1   | 1   | -   | 1        | 1   | -   | 1    | 1        | 1   | 1   | 1    | 1        | 1   | 1   | -   | 1        | -    | -   |    |
| Silt              | 17       | 13       | 24  | 16  | 19  | 15       | 18  | 17  | 21   | 18       | 15  | 14  | 14   | 19       | 14  | 13  | 11  | 25       | 12   | 15  | 15 |
| Leir (<4 my)      | 82       | 87       | 75  | 83  | 80  | 85       | 81  | 81  | 82   | 78       | 81  | 84  | 85   | 80       | 85  | 87  | 88  | 75       | 88   | 85  | 85 |
| SUM               | 100      | 100      | 100 | 100 | 100 | 100      | 100 | 100 | 100  | 100      | 100 | 100 | 100  | 100      | 100 | 100 | 100 | 100      | 100  | 100 |    |

| Kjernenummer               | P9205164 | P9205168 | P9205173 | P9205177 | P9205182 | P9205187 | P9205193 | P9205197 | P9205201 | P9205206 |
|----------------------------|----------|----------|----------|----------|----------|----------|----------|----------|----------|----------|
| Kjernedyb (cm)             | 1        | 25,5     | 48       | 1        | 18,5     | 1        | 0,5      | 1        | 0,5      | 0,5      |
| Vanndyb (m)                | 492      | 465      | 296      | 418      | 536      | 647      | 173      | 463      | 565      | 662      |
| MINEROGEN FRAKSJON         | %        | %        | %        | %        | %        | ØDELAGT  | %        | %        | %        | %        |
| Kvarts & felspat           | 10       | 5        | 5        | 6        | 20       | PREP.    |          |          |          |          |
| Glimmer                    | X        | X        | 0,5      | X        | X        |          | X        | -        | X        | -        |
| Kalsitt                    | 3        | 1        | 2        | 1        | 4        |          | 1        | 0,5      | 1        | 0,5      |
| Dolomit                    | -        | -        | X        | X        | 1        |          | -        | X        | X        | X        |
| Pyritt                     | X        | 3        | 3        | 1        | 1        |          | X        | -        | -        | X        |
| FeMn-oksyd                 | -        | 1        | 1        | -        | 1        |          | 1        | 20       | 20       | -        |
| Andre                      | 2        | 1        | 1        | 1        | 2        |          | 2        | 1        | 1        | 20       |
| Uidentifisert leir og silt | 52,5     | 75       | 74       | 58       | 70       | 46       | 30       | 46       | 49       | 1        |
| SUM                        | 67,5     | 85       | 86       | 66       | 83       | 73       | 44       | 27,5     | 74       | 1        |
| ORGANISK FRAKSJON          | %        | %        | %        | %        | %        | %        | %        | %        | %        | %        |
| Foraminiferer              | X        | X        | X        | X        | X        |          | 0,5      | X        | X        | 3        |
| Nannofossiler              | 7        | 7        | 7        | 10       | 5        |          | 2        | 2        | 3        | 3        |
| Diatomeer                  | X        | 4        | 2        | 1        | 2        | X        | 0,5      | X        | 1        | 1        |
| Radiolarier                | -        | -        | -        | -        | -        |          | -        | -        | X        | -        |
| Svampsikler                | 0,5      | 1        | 1        | 1        | 1        |          | 1        | X        | 1        | 1        |
| Silicoflagellater          | X        | X        | X        | -        | -        |          | -        | -        | -        | -        |
| Organisk "debris"          | 5        | X        | X        | X        | 15       |          | 11       | 5        | 7        | 8        |
| Pellets                    | 20       | 2        | 2        | 25       | 2        | 2        | 40       | 20       | 15       | 7        |
| Biotkaster                 | X        | 1        | 2        | X        | 2        | 4        | 1        | 0,5      | X        | 1        |
| Fiskerester                | -        | -        | -        | X        | -        | -        | -        | -        | X        | -        |
| SUM                        | 32,5     | 15       | 14       | 34       | 17       | 27       | 56       | 27,5     | 26       | 16       |
| TOTAL FRAKSJON             | %        | %        | %        | %        | %        | %        | %        | %        | %        | %        |
| Sand                       | 20       | 5        | 4        | 27       | 2        | 5        | 45       | 22       | 16       | 11       |
| Silt                       | 25       | 20       | 19       | 18       | 25       | 55       | 7        | 35       | 33       | 35       |
| Leir (< 4 my)              | 55       | 75       | 75       | 55       | 73       | 40       | 48       | 43       | 51       | 54       |
| SUM                        | 100      | 100      | 100      | 100      | 100      | 100      | 100      | 100      | 100      | 100      |
| MINEROGEN FRAKSJON         | %        | %        | %        | %        | %        | %        | %        | %        | %        | %        |
| Sand                       | -        | -        | -        | 1        | -        | 1        | -        | 1        | 1        | 1        |
| Silt                       | 17       | 15       | 14       | 10       | 15       | 19       | 20       | 30       | 24       | 30       |
| Leir (< 4 my)              | 83       | 85       | 86       | 89       | 85       | 80       | 80       | 70       | 75       | 69       |
| SUM                        | 100      | 100      | 100      | 100      | 100      | 100      | 100      | 100      | 100      | 100      |

| Kjernenummer               | P9205210 | P9205215 | P9205219 | P9205223 | P9205227 | P9205231 | P9205235 | P9205240 |
|----------------------------|----------|----------|----------|----------|----------|----------|----------|----------|
| Kjernedyp (cm)             | 0.5      | 0.5      | 0.5      | 0.5      | 15       | 29       | 40       | 0.5      |
| Vanndyp (m)                | 538      | 410      | 263      | 283      | 394      | 558      | 666      | 598      |
| MINEROGEN FRAKSJON         | %        | %        | %        | %        | %        | %        | %        | %        |
| Kvarts & feltspat          | 10       | 8        | 15       | 12       | 10       | 6        | 10       | 7        |
| Glimmer                    | X        | X        | -        | X        | X        | 1        | 1        | X        |
| Kalsitt                    | 1        | 1        | 1        | 1        | 1        | 0.5      | 4        | -        |
| Dolomit                    | X        | X        | X        | X        | X        | X        | -        | X        |
| Pyritt                     | -        | -        | 1        | X        | 1        | 1        | -        | X        |
| FeMn-oksyd                 | 1        | -        | X        | -        | -        | X        | -        | -        |
| Andre                      | 1        | 1        | 2        | 1        | 2        | 2        | 2        | 1        |
| Uidentifisert leir og silt | 64       | 70       | 72       | 64       | 62       | 55       | 77       | 63       |
| SUM                        | 77       | 80       | 90       | 79       | 76       | 68       | 87       | 76.5     |
| ORGANISK FRAKSJON          | %        | %        | %        | %        | %        | %        | %        | %        |
| Foraminiferer              | X        | 0.5      | X        | X        | 1        | X        | X        | 1        |
| Nanofosfater               | 5        | 5        | 3        | 4        | 20       | 8        | 8        | 5        |
| Diatomeer                  | X        | 0.5      | X        | 1.5      | 3        | 2        | 1        | X        |
| Radiolarier                | -        | -        | -        | -        | -        | -        | -        | -        |
| Svambspikler               | 1        | 1        | 1        | 2        | 1        | 1.5      | 1        | 0.5      |
| Silicofagellater           | -        | -        | X        | -        | X        | -        | -        | -        |
| Organisk "debris"          | 7        | 6        | 2        | 5        | 5        | 20       | 2        | 15       |
| Pellets                    | 10       | 6        | 1        | 10       | 1        | -        | 7        | 4        |
| Biotklast                  | X        | 1        | 3        | 0.5      | 2        | 1        | 1        | 1        |
| Fiskerester                | -        | X        | -        | -        | -        | -        | -        | -        |
| SUM                        | 23       | 20       | 10       | 21       | 24       | 32       | 13       | 23.5     |
| TOTAL FRAKSJON             | %        | %        | %        | %        | %        | %        | %        | %        |
| Sand                       | 11       | 8        | 2        | 12       | 8        | 15       | 2        | 10       |
| Silt                       | 30       | 20       | 28       | 20       | 24       | 35       | 16       | 24       |
| Leir (<4 my)               | 59       | 72       | 70       | 65       | 68       | 50       | 82       | 66       |
| SUM                        | 100      | 100      | 100      | 100      | 100      | 100      | 100      | 100      |
| MINEROGEN FRAKSJON         | %        | %        | %        | %        | %        | %        | %        | %        |
| Sand                       | -        | -        | 1        | 2        | 2        | 1        | -        | 1        |
| Silt                       | 14       | 16       | 20       | 17       | 18       | 20       | 14       | 16       |
| Leir (<4 my)               | 86       | 84       | 80       | 82       | 80       | 78       | 85       | 84       |
| SUM                        | 100      | 100      | 100      | 100      | 100      | 100      | 100      | 100      |

| Kjernenummer               | P9205244 | P9205249 | P9205252 | P9205259 | P9307020 |
|----------------------------|----------|----------|----------|----------|----------|
| Kjemedyp (cm)              | 0.5      | 21.5     | 40.5     | 0.5      | 5        |
| Vandyp (m)                 | 431      | 419      | 571      | ?        | 652      |
| <b>MINEROGEN FRAKSJON</b>  | %        | %        | %        | %        | %        |
| Kvarts & felspat           | 8        | 8        | 15       | 11       | 10       |
| Glimmer                    | X        | 0.5      | X        | X        | 0.5      |
| Kalsitt                    | 4        | 1.5      | 4        | 3        | 6        |
| Dolomit                    | -        | X        | X        | 1        | 1        |
| Pyritt                     | -        | 1        | X        | 1        | 0.5      |
| FeMn-oksyd                 | -        | -        | -        | -        | X        |
| Andre                      | 1        | 1        | 2        | 1        | 2        |
| Uidentifisert leir og silt | 13       | 74       | 69       | 53       | 66       |
| <b>SUM</b>                 | 26       | 86       | 85       | 73       | 86       |
| <b>ORGANISK FRAKSJON</b>   | %        | %        | %        | %        | %        |
| Foraminiferer              | 1        | 1        | 1        | 5        | 0.5      |
| Nanofossiler               | 3        | 2        | 7        | 3        | 6        |
| Diatomeer                  | 4        | 4        | 3        | 1        | 1.5      |
| Radiolarier                | -        | -        | -        | X        | -        |
| Svamspikler                | 1        | 1        | X        | 1        | 0.5      |
| Silicofagellater           | -        | X        | -        | X        | X        |
| Organisk "debris"          | 5        | 1        | 7        | 5        | 2        |
| Pellets                    | 60       | 2        | X        | 0.5      | X        |
| Bioklast                   | X        | 3        | 3        | 0.5      | 3        |
| Fiskerester                | -        | X        | -        | -        | X        |
| <b>SUM</b>                 | 74       | 14       | 15       | 27       | 14       |
| <b>TOTAL FRAKSJON</b>      | %        | %        | %        | %        | %        |
| Sand                       | 55       | 5        | 4        | 10       | 4        |
| Silt                       | 20       | 42       | 23       | 23       | 26       |
| Leir (< 4 my)              | 25       | 53       | 73       | 50       | 70       |
| <b>SUM</b>                 | 100      | 100      | 100      | 100      | 100      |
| <b>MINEROGEN FRAKSJON</b>  | %        | %        | %        | %        | %        |
| Sand                       | 1        | 2        | 2        | 5        | 1        |
| Silt                       | 39       | 30       | 16       | 20       | 13       |
| Leir (< 4 my)              | 60       | 68       | 82       | 75       | 79       |
| <b>SUM</b>                 | 100      | 100      | 100      | 100      | 100      |

| Kjernenummer                  | P9307023 | P9307029 | P9307035 | P9307041 | P9307047 |
|-------------------------------|----------|----------|----------|----------|----------|
| Kjennedyb (cm)                | 5        | 22.5     | 38       | 46       | 2        |
| Vaanddyb (m)                  | 404      | 294      | 23.5     | 44       | 2        |
| MINEROGEN                     | %        | %        | %        | %        | %        |
| FRAKSION                      | %        | %        | %        | %        | %        |
| Kvarts & felspat              | 25       | 6        | 15       | 10       | 13       |
| Glimmer                       | 1        | X        | 5        | 0.5      | X        |
| Kalsitt                       | -        | 2        | 1        | 2        | X        |
| Dolomit                       | X        | 0.5      | X        | 0.5      | X        |
| Pyritt                        | X        | 1        | -        | 1        | X        |
| FeMn-oksyd                    | 2        | -        | X        | -        | -        |
| Andre                         | 2        | 1        | 2        | 1        | 2        |
| Uidentifisert<br>leir og silt | 41       | 78       | 64       | 76       | 75.5     |
| SUM                           | 71       | 88.5     | 87       | 91       | 90.5     |
| ORGANISK<br>FRAKSION          | %        | %        | %        | %        | %        |
| Foraminiferer                 | 1        | X        | X        | X        | X        |
| Nannofoissiler                | 5        | 5        | 10       | 6        | 4        |
| Diatomeer                     | 1        | 1        | 2        | 1        | 0.5      |
| Radiolarier                   | -        | -        | -        | -        | X        |
| Svampsplikler                 | 2        | 0.5      | X        | 0.5      | 1        |
| Silicoflagellater             | X        | -        | X        | -        | -        |
| Organisk<br>"debris"          | 8        | 3        | 0.5      | 1        | 1        |
| Pellets                       | 10       | X        | -        | X        | 1        |
| Bioklaste                     | 2        | 2        | 0.5      | 0.5      | 2        |
| Fiskerester                   | -        | X        | -        | -        | X        |
| SUM                           | 29       | 11.5     | 13       | 9        | 9.5      |
| TOTAL<br>FRAKSION             | %        | %        | %        | %        | %        |
| Sand                          | 15       | 2        | 1        | 2        | 1        |
| Silt                          | 45       | 22       | 29       | 18       | 20       |
| Leir (< 4 my)                 | 40       | 76       | 70       | 80       | 79       |
| SUM                           | 100      | 100      | 100      | 100      | 100      |
| MINEROGEN                     | %        | %        | %        | %        | %        |
| FRAKSION                      | %        | %        | %        | %        | %        |
| Sand                          | 2        | 1        | -        | 1        | 2        |
| Silt                          | 38       | 15       | 35       | 23       | 15       |
| Leir (< 4 my)                 | 60       | 84       | 65       | 76       | 85       |
| SUM                           | 100      | 100      | 100      | 100      | 100      |
|                               |          |          | 286      | 30       | 22       |
|                               |          |          | 286      | 55       | 45       |
|                               |          |          | 286      | 55       | 45       |
|                               |          |          | 399      | 22       | 2        |
|                               |          |          | 399      | 55       | 22       |
|                               |          |          | 399      | 55       | 22       |
|                               |          |          | 634      | 45       | 2        |
|                               |          |          | 634      | 45       | 2        |
|                               |          |          | 634      | 45       | 2        |

| Kjermenummer      | P9307054 | P9307060 | P9307066 | P9307074 | P9307080 | P9307087 | P9307093 | P9307103 | P9307109 | P9307123 | P9307139 |
|-------------------|----------|----------|----------|----------|----------|----------|----------|----------|----------|----------|----------|
| Kjemedyp (cm)     | 5        | 38       | 8        | 45       | 1        | 8        | 23       | 2        | 2.5      | 2        | 2        |
| Vanndyb (m)       | 626      | 514      |          | 355      |          | 269      | 483      | 581      | 641      | 426      | 305      |
| MINEROGEN         | %        | %        | %        | %        | %        | %        | %        | %        | %        | %        | %        |
| FRAKSJON          |          |          |          |          |          |          |          |          |          |          |          |
| Kvarts & feltspat | 7        | 12       | 5        | 94       | 7        | 8        | 20       | 7        | 2        | 4        | 10       |
| Glimmer           | X        | 0.5      | X        | X        | 0.5      | X        | X        | X        | X        | X        | X        |
| Kalsitt           | X        | 3        | -        | X        | 2        | 1        | 1        | 1        | 1        | 1        | 0.5      |
| Dolomit           | X        | X        | -        | X        | -        | -        | -        | -        | -        | X        | X        |
| Pyritt            | 1        | 1        | X        | -        | 1        | -        | 1        | -        | -        | 1        | -        |
| FeMn-oksyd        | -        | 2        | -        | -        | -        | -        | -        | 1        | -        | -        | -        |
| Andre             | 1        | 2        | 2        | 3        | 1        | 0.5      | 2        | 1        | 2        | 1        | -        |
| Uidentifisert     | 80       | 71.5     | 71.5     | 2        | 67       | 67.5     | 64       | 74       | 72.5     | 79       | 76       |
| leir og silt      |          |          |          |          |          |          |          |          |          |          |          |
| SUM               | 89       | 87       | 81.5     | 99       | 76.5     | 78.5     | 87       | 84       | 77.5     | 85       | 87       |
| ORGANISK          | %        | %        | %        | %        | %        | %        | %        | %        | %        | %        | %        |
| FRAKSJON          |          |          |          |          |          |          |          |          |          |          |          |
| Foraminiferer     | X        | X        | 0.5      | X        | 0.5      | 1        | X        | 1        | -        | X        | X        |
| Nanofossiler      | 5        | 5        | 5        | X        | 8        | 6        | 10       | 10       | 5        | 4        | 5        |
| Diatomer          | -        | 2        | X        | X        | 2        | 1        | X        | X        | X        | X        | X        |
| Radiolarier       | -        | -        | -        | -        | -        | -        | -        | -        | -        | -        | -        |
| Svamspikler       | X        | 1        | 1        | -        | 1        | 0.5      | X        | 0.5      | -        | X        | 0.5      |
| Silicoflagellater | -        | -        | -        | X        | -        | X        | -        | -        | -        | -        | -        |
| Organisk "debris" | 5        | 1        | 5        | X        | 4        | 10       | 1        | 1        | 10       | 5        | 4        |
| Pellets           | 0.5      | -        | 5        | X        | 3        | -        | X        | 1        | 7        | 6        | 4        |
| Biotkaster        | 0.5      | 4        | 2        | 1        | 5        | 3        | 2        | 3        | X        | 16       | 12       |
| Fiskerester       | -        | -        | -        | X        | -        | X        | -        | X        | -        | X        | 1        |
| SUM               | 11       | 13       | 18.5     | 1        | 23.5     | 21.5     | 13       | 16       | 22.5     | 15       | 13       |
| TOTAL             | %        | %        | %        | %        | %        | %        | %        | %        | %        | %        | %        |
| FRAKSJON          |          |          |          |          |          |          |          |          |          |          |          |
| Sand              | 3        | 2        | 8        | 80       | 10       | 6        | 15       | 4        | 5        | 6        | 4        |
| Silt              | 11       | 35       | 16       | 19       | 25       | 26       | 30       | 12       | 20       | 15       | 15       |
| Leir (< 4 my)     | 86       | 63       | 76       | 1        | 65       | 68       | 55       | 84       | 75       | 79       | 81       |
| SUM               | 100      | 100      | 100      | 100      | 100      | 100      | 100      | 100      | 100      | 100      | 100      |
| MINEROGEN         | %        | %        | %        | %        | %        | %        | %        | %        | %        | %        | %        |
| FRAKSJON          |          |          |          |          |          |          |          |          |          |          |          |
| Sand              | -        | 1        | 1        | 79       | 2        | -        | 16       | 3        | -        | -        | -        |
| Silt              | 17       | 20       | 17       | 20       | 18       | 18       | 29       | 27       | 10       | 20       | 15       |
| Leir (< 4 my)     | 83       | 79       | 82       | 1        | 80       | 82       | 55       | 70       | 90       | 80       | 85       |
| SUM               | 100      | 100      | 100      | 100      | 100      | 100      | 100      | 100      | 100      | 100      | 100      |